



OFICINA ESPAÑOLA DE PATENTES Y MARCAS

ESPAÑA



11) Número de publicación: 2 464 156

61 Int. CI.:

C07K 14/705 (2006.01) C12N 15/00 (2006.01) C07K 16/28 (2006.01)

(12)

TRADUCCIÓN DE PATENTE EUROPEA

T3

- (96) Fecha de presentación y número de la solicitud europea: 27.01.2000 E 00907027 (7)
 (97) Fecha y número de publicación de la concesión europea: 02.04.2014 EP 1149114
- (54) Título: Polipéptidos implicados en respuesta inmunitaria
- (30) Prioridad:

03.02.1999 US 244448 08.03.1999 US 264527

(45) Fecha de publicación y mención en BOPI de la traducción de la patente: 30.05.2014

(73) Titular/es:

AMGEN INC. (100.0%)
ONE AMGEN CENTER DRIVE
THOUSAND OAKS, CA 91320-1799, US

(72) Inventor/es:

YOSHINAGA, STEVEN KIYOSHI

(74) Agente/Representante:

MILTENYI, Peter

S 2 464 156 T3

Aviso: En el plazo de nueve meses a contar desde la fecha de publicación en el Boletín europeo de patentes, de la mención de concesión de la patente europea, cualquier persona podrá oponerse ante la Oficina Europea de Patentes a la patente concedida. La oposición deberá formularse por escrito y estar motivada; sólo se considerará como formulada una vez que se haya realizado el pago de la tasa de oposición (art. 99.1 del Convenio sobre concesión de Patentes Europeas).

DESCRIPCIÓN

Polipéptidos implicados en respuesta inmunitaria

Campo de la invención

La presente invención se refiere a polipéptidos que están implicados en la activación de linfocitos T. Específicamente, la invención se refiere a polipéptidos coestimuladores de linfocitos T, a los ácidos nucleicos que codifican para los polipéptidos, a vectores de expresión y células huéspedes para la producción de los polipéptidos y a composiciones y usos en el tratamiento de enfermedades relacionadas con inmunosupresión y activación inmunitaria.

Antecedentes de la invención

- Para la generación de una respuesta inmunitaria de linfocitos T (células T) apropiada, deben proporcionarse dos señales a la célula T por células presentadoras de antígeno (CPA). En primer lugar, debe presentarse un antígeno al receptor de células T (TCR) por medio de un complejo mayor de histocompatibilidad (CMH), en un acontecimiento que determina la especificidad. En segundo lugar, debe suministrarse una señal coestimuladora, independiente de antígeno mediante el acoplamiento de miembros de la familia B7 en la CPA con la proteína CD28 en células T. Una respuesta inmunitaria productiva conduce a proliferación, diferenciación, expansión clonal y efecto o función. En ausencia de la segunda señal coestimuladora, las células T experimentan un estado de falta de receptividad específica de antígeno de larga duración, denominado anergia.
- Las células T inician la respuesta inmunitaria, median en funciones efectoras específicas de antígeno y regulan la actividad de otros leucocitos secretando citocinas. El receptor de células T (TCR) distingue la célula T de otros linfocitos y puede unirse al antígeno sólo cuando se presenta por la CPA dentro del contexto de un CMH. La actividad funcional de una célula T particular puede correlacionarse con la expresión de antígenos de membrana, tales como CD4 y CD8. Por ejemplo, células T CD4+ funcionan generalmente como células T auxiliares ("helper") (T_H) y están restringidas por CMH de clase II, mientras que las células CD8+ funcionan generalmente como células T citotóxicas (T_c) y están restringidas por CMH de clase I.
- Los polipéptidos coestimuladores de células T potentes que se han identificado previamente incluyen los 25 polipéptidos denominados B7.1 (Freeman et al. J. Immunology 143, 2714-2722 (1989), Freeman et al. Jour. Expt. Med. 174, 625-31 (1991)) y B7.2 (Freeman et al. Science 262, 909-911 (1993) y Freeman et al. Jour. Expt. Med. 178, 2185-2192 (1993)), (o CD80 y CD86, respectivamente). Estos polipéptidos se expresan de manera o bien inducible o bien constitutiva en diversas CPA y son ligandos unidos a la membrana para CD28 y CTLA-4, respectivamente, en células T. CD28 (Aruffo y Seed Proc. Natl. Acad. Sci. 84, 8573-8577 (1987) y Gross et al. J. 30 Immun. 144. 3201-3210 (1990)) se expresa en células T en reposo y media en una señal coestimuladora positiva. Se induce la expresión de CTLA-4 (Brunet et al. Nature 328, 267-270 (1987) y Dariavach et al. Eur. Jour. Immun. 18, 1901-1905 (1988)) tras la activación de células T y regula de manera negativa la señal de CD28, debido a su afinidad de unión superior por B7.1 y B7.2. Ratones sin el gen de CTLA-4 presentan niveles drásticamente altos de células T, puesto que el mecanismo de desactivación de la señal de proliferación se ve alterado en ausencia de 35 CTLA-4. Este fenotipo demuestra claramente el efecto inhibidor principal que tiene la proteína coestimuladora CTLA-4 sobre la proliferación de células T. Ratones que carecen de CD28 o B7.1 o B7.2 tienen un fenotipo menos grave, lo que indica que pueden existir rutas alternativas para la coestimulación de células T.
- Ha habido un considerable interés en la ruta de CD28/CTLA-4 como medio para regular la proliferación y activación de células T. Una proteína quimérica que contiene la parte extracelular de CTLA-4 fusionada a Fc humano tiene fuertes efectos inmunosupresores y se ha estudiado en una variedad de entornos clínicos. También se han evaluado anticuerpos frente a proteínas B7.1 y B7.2 para indicaciones similares en el área de la inmunosupresión. Anticuerpos anti-CTLA-4 han mostrado utilidad en la promoción de la activación de células T. Además, la terapia génica de B7.1 y B7.2 ha mostrado ser muy prometedora en el área de la inmunoterapia contra el cáncer.
- Hasta ahora, CD28, CTLA-4, B7.1 y B7.2 están implicadas en una ruta coestimuladora de células T individual. Dada la capacidad de modulación de una respuesta inmunitaria regulando la coestimulación de células T, sería deseable identificar otros miembros de la misma ruta coestimuladora de células T o separada que puedan tener propiedades ventajosas en la regulación de la respuesta inmunitaria y función de células T del huésped.
- Por consiguiente, es un objeto de la invención proporcionar polipéptidos novedosos para la estimulación de la actividad y/o proliferación de células T. Es un objeto adicional de la invención usar los polipéptidos novedosos para la prevención y el tratamiento de trastornos inmunitarios mediados por células T.

Sumario de la invención

55

Sorprendentemente, se han identificado dos polipéptidos novedosos de una ruta coestimuladora de células T. Los polipéptidos representan una pareja de ligando-receptor en una ruta coestimuladora única que parece ser distinta de la ruta que consiste en las proteínas previamente descritas CD28, CTLA-4, B7.1 y B7.2. Los polipéptidos se denominan proteína 1 relacionada con CD28, o CRP1, y proteína 1 relacionada con B7, o B7RP1.

La invención proporciona moléculas de ácido nucleico que codifican para polipéptidos B7RP1 y polipéptidos relacionados.

El contenido de la invención también se refiere a polipéptidos B7RP1 y polipéptidos relacionados.

La invención se define mediante las reivindicaciones.

55

- Se abarcan por la invención vectores de expresión y células huésped para la producción de los polipéptidos, anticuerpos que se unen a polipéptidos B7RP1 y a polipéptidos relacionados y ensayos para detectar la unión de B7RP1 y polipéptidos relacionados con B7RP1 a CRP1 y polipéptidos relacionados con CRP1. También se abarcan por la invención composiciones farmacéuticas que comprenden B7RP1 o polipéptidos relacionados con B7RP1. También se proporcionan métodos para identificar compuestos que interaccionan con B7RP1 así como ensayos para determinar si tales compuestos son agonistas o antagonistas de la actividad de B7RP1.
 - Los polipéptidos CRP1 y B7RP1 están implicados en la coestimulación y proliferación de células T. Los polipéptidos CRP1 y B7RP1, agentes de unión selectiva de los mismos y agonistas y antagonistas de los mismos, pueden ser útiles para el diagnóstico, la prevención y el tratamiento de enfermedades relacionadas con el control de respuestas de células T.
- Los polipéptidos CRP1 y B7RP1, agentes de unión selectiva de los mismos y agonistas y antagonistas de los mismos, pueden ser útiles para el diagnóstico, la prevención y el tratamiento de trastornos inmunitarios, para o bien estimular una respuesta inmunitaria insuficiente o bien reducir o inhibir una respuesta inmunitaria exagerada o inapropiada. El trastorno inmunitario puede estar mediado directa o indirectamente por células T.
- La invención proporciona el tratamiento, la prevención o la mejora de un trastorno mediado por células T que comprende administrar a un animal un polipéptido B7RP1. La invención también proporciona un método de diagnóstico de un trastorno mediado por células T o una susceptibilidad a un trastorno mediado por células T en un animal que comprende determinar la presencia o cantidad de expresión de un polipéptido B7RP1; y diagnosticar un trastorno mediado por células T o una susceptibilidad a un trastorno mediado por células T basándose en la presencia o cantidad de expresión del polipéptido. Normalmente, un trastorno mediado por células T es un trastorno inmunitario que puede estar mediado directa o indirectamente por células T. El animal es preferiblemente un mamífero y más preferiblemente un ser humano. La invención también proporciona un método de identificación de una molécula de prueba que se une a un polipéptido B7RP1 que comprende poner en contacto el polipéptido con un compuesto de prueba y determinar el grado de unión del polipéptido al compuesto de prueba. El método puede usarse para identificar agonistas y antagonistas del polipéptido CRP1 y/o B7RP1.
- Pueden usarse antagonistas de polipéptidos CRP1 y/o B7RP1 como agentes inmunosupresores para muchas indicaciones, incluyendo trastornos autoinmunitarios (tales como artritis reumatoide, psoriasis, esclerosis múltiple, diabetes y lupus eritematoso sistémico), síndrome de choque tóxico, trasplante de médula ósea y órganos, enfermedad inflamatoria del intestino, alosensibilización debida a transfusiones de sangre y el tratamiento de enfermedad de injerto contra huésped. Además, pueden usarse antagonistas como agentes inhibidores para indicaciones mediadas por células B dependientes de células T incluyendo asma y alergia, y autoinmunidad mediada por anticuerpos. Agonistas de los polipéptidos CRP1 y/o B7RP1 pueden ser útiles en, pero sin restringirse a, la activación de células T para la vigilancia y eliminación de tumores.
- Un antagonista de la presente descripción incluye un anticuerpo, o fragmento del mismo, que es reactivo con o se une a B7RP1 o a un dominio extracelular de B7RP1 en el que el anticuerpo reduce o elimina la unión de B7RP1 a CRP1. En un aspecto, el anticuerpo se une selectivamente a B7RP1 humano o a un dominio extracelular del mismo. El anticuerpo o fragmento del mismo que es un antagonista inhibe parcial o completamente la actividad coestimuladora inmunitaria de B7RP1. En un aspecto preferido, el anticuerpo es un anticuerpo monoclonal y puede ser murino, humano, quimérico o humanizado.
- Se da a conocer además en el presente documento un método de regulación de la interacción de B7RP1 con CRP1 que comprende administrar a un animal un agente de unión selectiva de CRP1 o un agente de unión selectiva de B7RP1 o ambos. En un aspecto, el agente de unión selectiva es un anticuerpo que se une a B7RP1 y reduce o elimina la unión de B7RP1 a CRP1.
- También se da a conocer en el presente documento un método de regulación de la coestimulación inmunitaria mediada por B7RP1 que comprende administrar a un animal un agente de unión selectiva de B7RP1. El agente de unión selectiva es preferiblemente un anticuerpo que se une a B7RP1 e inhibe parcial o completamente la coestimulación inmunitaria mediada por B7RP1.
 - La invención también proporciona un método de regulación de la activación o proliferación de células T en un animal que comprende administrar al animal una molécula de ácido nucleico que codifica para un polipéptido B7RP1. Por ejemplo, puede usarse una molécula de ácido nucleico que codifica para un polipéptido B7RP1 en terapia génica para potenciar la activación de células T en respuesta a diversos tumores.

También se abarca por la invención un mamífero no humano transgénico que comprende una molécula de ácido

nucleico que codifica para un polipéptido B7RP1. Se introducen los ácidos nucleicos de B7RP1 en el mamífero de una manera que permite la expresión y niveles en circulación aumentados de polipéptidos B7RP1. El mamífero no humano transgénico es preferiblemente un roedor, y más preferiblemente un ratón o una rata.

Descripción de las figuras

- Figura 1. A) Secuencia de aminoácidos y ADN de CRP1 murino (mCRP1). La secuencia señal predicha de CRP1 está subrayada en el extremo amino-terminal y el sitio de escisión de pro-péptido determinado experimentalmente está indicado mediante un asterisco. La secuencia transmembrana predicha está subrayada hacia el extremo carboxilo terminal. B) Alineación de aminoácidos de la secuencia de proteína CRP1 murina (mCRP1) con CD28 murina (mCD28).
- Figura 2. A) Secuencia de aminoácidos y ADN de B7RP1 murino (mB7RP1). La secuencia señal predicha de B7RP1 está subrayada en el extremo amino-terminal y el sitio de escisión de pro-péptido determinado experimentalmente está indicado mediante un asterisco. La secuencia transmembrana predicha está subrayada hacia el extremo carboxilo terminal. B) Alineación de aminoácidos de la secuencia de proteína B7RP1 (mB7RP1) con CD80 murina (mCD80).
- Figura 3. A) Estructura y secuencia de la región que codifica para proteína de la B7RP1 humana supuesta (hB7RP1). La secuencia señal predicha de hB7RP1 está subrayada en el extremo amino-terminal. Los sitios de escisión de péptido señal predichos están marcados mediante asteriscos. La secuencia transmembrana predicha está subrayada hacia el extremo carboxilo terminal. B) Alineación de aminoácidos de la proteína hB7RP1 madura supuesta con la proteína B7RP1 murina (mB7RP1) madura.
- Figura 4. A) Expresión de la proteína de fusión CRP1-Fc soluble a partir de células 293T transfectadas con el pcDNA3/CRP1-Fc. Se cargaron volúmenes normalizados de lisado celular o medio condicionado y se separaron en un gel PAGE al 10% tal como se indica. Análisis de tipo Western de lisado celular y sobrenadante de medios celulares para determinar la expresión de proteínas de fusión de Fc asociadas a células (lisado celular) y secretadas (medios). El anticuerpo primario era anticuerpo de cabra anti-Fc humano (Pierce Chemical Company, Rockford, IL).
- 25 B) Expresión de la proteína de fusión B7RP1-Fc soluble a partir de células 293T transfectadas con el pcDNA3/B7RP1-Fc. Se cargaron 20 μl de lisado celular normalizado o sobrenadante de medios y se separaron en un gel PAGE al 10%. Se realizó el análisis de tipo Western como en (A).
- Figura 5. Interacción de las proteínas de fusión CRP1-Fc y B7RP1-Fc con proteínas unidas a la membrana expresadas en células COS-7. Células COS-7 transfectadas de manera transitoria con vector pcDNA3/CRP1, pcDNA3/B7RP1 o pcDNA3 solo. Se transfectaron células CHO D con psDRα/hCD28 y CD28 humana (hCD28) expresada de manera estable. Se representan células que expresan CRP1, B7RP1 o hCD28 unidas a la membrana en filas tal como se indica en el lado izquierdo del panel. Se incubaron proteínas de fusión de Fc con las células unidas a placas en columnas tal como se indica en la parte superior del panel. Tras la incubación, se lavaron las células y se detectaron las proteínas de fusión de Fc unidas usando un anticuerpo anti-Fc humano y análisis ACAS (análisis y clasificación de células adherentes, "Adherent Cell Analysis and Sorting"; ACAS Ultima, Meridian Instruments, Inc., Okemos, MI).
- Figura 6. Análisis de FACS (clasificación celular activada por fluorescencia, "Fluorescence-Activated Cell Sorter") de la expresión del receptor para B7RP1 (supuestamente, CRP1) en células T CD4+ y CD8+ activadas. Se activaron esplenocitos de ratón con PMA y ionomicina durante 12 horas. Se incubaron la proteína de fusión B7RP1-Fc, proteína Fc control (simulado-Fc) o PBS (sin tinción) con las células, se lavaron y posteriormente se incubaron con anticuerpo de cabra anti-Fc humano conjugado con FITC (GaHuFc-FITC) tal como se indica en la parte inferior de cada panel. Se añadieron anticuerpos frente a marcadores celulares (para los marcadores de células T CD4 y CD8) conjugados con PE, o anticuerpo control de isotipo (isotipo de rata) conjugado con PE, o PBS (sin tinción) tal como se indica en el lado izquierdo de cada panel individual.
- Figura 7. Análisis de FACS (clasificación celular activada por fluorescencia) de la expresión de B7RP1 en células B. Análisis fluorocitométrico de la expresión del ligando para CRP1 (presumiblemente, B7RP1) en esplenocitos de ratón. Se incubaron la proteína de fusión CRP1-Fc, proteína Fc control (simulado-Fc) o PBS (sin tinción) con las células, se lavaron y posteriormente se incubaron con anticuerpo de cabra anti-Fc humano conjugado con FITC (GaHuFc-FITC) tal como se indica en la parte inferior de cada panel. Se añadieron anticuerpo frente a marcador celular conjugado con PE para CD45R (CD45R es un marcador de células B) o anticuerpo control de isotipo (isotipo de rata), o PBS (sin tinción), tal como se indica en el lado izquierdo de cada panel individual.
- Figura 8. Análisis de FACS de la expresión de ligando de mCRP1 en macrófagos peritoneales. Se distinguieron en primer lugar las células peritoneales en subconjuntos en el nivel inferior de sus propiedades de dispersión de luz (panel A). Se identificaron macrófagos en la región 5 (R5) debido a su capacidad para dispersar fuertemente la luz hacia delante (FSC) y hacia los lados (SSC) y debido a su tinción positiva para el antígeno F4/80, un marcador para macrófagos (panel B). Se individualizaron macrófagos en la región 6 (R6) basándose en su tinción menos intensa para el antígeno F4/80 y se encontró que se teñían mediante la proteína de fusión CRP1-Fc (presumiblemente debido a su expresión de B7RP1).

Figura 9. Inhibición de la proliferación de células T usando una proteína de fusión B7RP1-Fc. Se activaron células T a partir de esplenocitos de ratón aumentando las concentraciones de conconavalina A (Con A) tal como se indica en la parte inferior del gráfico. Se añadieron las proteínas de fusión CRP1-Fc, mB7RP1 y B7.2-Fc a células T enriquecidas a partir de esplenocitos en ausencia (sin adiciones) o presencia de Con A. Se usaron 200.000 células en los ensayos de proliferación de células T en una placa de 96 pocillos. Se incubaron las células con medios (sin adiciones) o proteínas de fusión de Fc tal como se indica en la leyenda del gráfico. Tras 42 h, se pulsaron las células con H-timidina durante 6 h, entonces se recogieron y se determinó la radioactividad incorporada. Se representan las CPM promedio y la desviación estándar de muestras por triplicado.

5

- Figura 10. A) Ganglio linfático mesentérico normal del ratón control n.º 10 que muestra la corteza, paracorteza y 10 médula del ganglio. Tinción con hematoxilina-eosina (H&E), 40x aumentos. B) Ganglio linfático mesentérico notablemente agrandado del ratón WX11 n.º 40 con hiperplasia folicular prominente (FH), expansión de la paracorteza e hiperplasia de los cordones medulares (MH). H&E, 40x. C) Primer plano de los cordones (MC) y senos (MS) medulares del ganglio linfático mesentérico del ratón control n.º 10. Obsérvense los cordones medulares pequeños compuestos por linfocitos principalmente pequeños adyacentes a senos medulares con macrófagos dilatados. H&E, 400x. D. Primer plano de los cordones (MC) y senos (MS) medulares del ganglio linfático mesentérico del ratón WX11 n.º 40. Obsérvense los cordones medulares notablemente engrosados compuestos por 15 grandes números de células plasmáticas con células de cuerpos de Russell ocasionales (flecha). H&E, 400x. E) Bazo normal del ratón control n.º 10 que muestra las áreas de pulpa roja y pulpa blanca con vainas linfoides periarteriolares (PALS), 100x. Recuadro: primer plano de la zona marginal que rodea a la pulpa blanca con linfocitos 20 pequeños, macrófagos y células plasmáticas ocasionales, 400x. F) Bazo del ratón WX11 n.º 6 con áreas de pulpa blanca agrandadas, incluyendo PALS y folículos (flecha), 100x. Recuadro: primer plano de la zona marginal con numerosas células plasmáticas y cuerpos de Russell ocasionales, 400x. G) Íleo con parche de Peyer del ratón control n.º 25 con la zona interfolicular (flecha) flanqueada por dos folículos secundarios, 40x. H) Íleo con parche de Peyer del ratón WX11 n.º 32 con folículos notablemente agrandados con centros germinales prominentes y tejido 25 interfolicular (flecha), 40x.
- Figura 11. A) Ganglio linfático mesentérico normal del ratón control n.º 5 que muestra la corteza, paracorteza y médula del ganglio. Tinción con hematoxilina-eosina (H&E), 40x aumentos. B) Ganglio linfático mesentérico notablemente agrandado del ratón WX11 n.º 33 con hiperplasia folicular prominente (parte superior: filas de folículos secundarios en la corteza externa), expansión de la paracorteza (centro) e hiperplasia de los cordones medulares 30 (parte inferior), H&E, 40x. C) Tinción inmunohistoguímica del ganglio linfático mesentérico del ratón control n.º 10 con anticuerpo anti-B220 (marcador de células B). Obsérvese el área cortical de tinción intensa (marrón) y los cordones medulares delgados. Inmunotinción realizada usando el método de complejo de avidina-biotina (ABC)inmunoperoxidasa (cromógeno DAB, contratinción con hematoxilina), 40x. D) Tinción inmunohistoquímica del ganglio linfático mesentérico del ratón WX11 n.º 33 con anticuerpo anti-B220. Obsérvense los cordones medulares y 35 folículos corticales de tinción intensa (aunque las células plasmáticas maduras en los cordones son negativas para B220), 40x. E) Tinción inmunohistoquímica del ganglio linfático del ratón control n.º 10 con anticuerpo anti-CD3 (marcador de células T). Obsérvese la inmunotinción de la zona paracortical del ganglio, 40x. F) Tinción inmunohistoquímica del ganglio linfático del ratón WX11 n.º 33 con anticuerpo anti-CD3. Obsérvense las áreas paracorticales de tinción intensa, agrandadas del ganglio, 40x.
- Figura 12. A) Estructura y secuencia de la región que codifica para proteína de B7RP1 humana (hB7RP1). La secuencia señal predicha de hB7RP1 está subrayada en el extremo amino-terminal. Los sitios de escisión de péptido señal predichos están marcados mediante asteriscos. La secuencia transmembrana predicha está subrayada hacia el extremo carboxilo terminal. B) Alineación de aminoácidos de la proteína hB7RP1 madura supuesta con la proteína B7RP1 murina (mB7RP1) madura.
- Figura 13. A) Estructura y secuencia de la región que codifica para proteína de CRP1 humana (hCRP1). La secuencia señal predicha de hCRP1 está subrayada en el extremo amino-terminal. Los sitios de escisión de péptido señal predichos están marcados mediante asteriscos. La secuencia transmembrana predicha está subrayada hacia el extremo carboxilo terminal. B) Alineación de aminoácidos de la proteína hCRP1 con la proteína CRP1 murina (mB7RP1).
- Figura 14. CRP-1 está en células T de memoria en reposo. Se tiñeron doblemente esplenocitos en reposo de ratones de 6-7 meses de edad usando B7RP-1-Fc marcada mediante un anticuerpo anti-Fc humano conjugado con FITC y un anticuerpo conjugado con PE frente a cualquiera de CD44 (figura 14A), CD45RB (figura 14B) o CD69 (figura 14C).
- Figura 15. Coestimulación de células T mediante la proteína de fusión B7RP-1-Fc. A) Proliferación de células T inducida por diferentes cantidades de B7RP-1-Fc (cuadrados negros), B7.2-Fc (círculos negros) o control de proteína de fusión OPG-Fc (cuadrados blancos) conjuntamente con anticuerpo anti-CD3. Se usaron proteínas de fusión a diversas concentraciones para recubrir placas de 96 pocillos recubiertas previamente con FAb₂ anti-Fc humano (12,5 μg/ml) y anticuerpo anti-CD3 (0,9 μg/ml). B7RP-1-Fc y B7.2-Fc coestimulan células T de un modo dependiente de la dosis hasta 0,3 μg/ml, a la que se logra el efecto máximo. B) Proliferación de células T inducida por B7RP-1-Fc (cuadrados negros), B7.2-Fc (círculos negros), Fc no fusionado (cuadrados blancos) o sin Fc (círculos blancos) conjuntamente con un anticuerpo anti-CD3 (0,85 μg/ml) y en presencia de diversas

concentraciones de un anticuerpo policional de conejo anti-B7RP-1-Fc. Se usaron proteínas de fusión de Fc a una concentración de $0.3~\mu g/ml$ y se unieron a las placas como anteriormente. Se generó el anticuerpo anti-B7RP-1-Fc para purificar B7RP-1-Fc mediante inyecciones subcutáneas de antígeno emulsionado en adyuvante, y luego se purificó por afinidad. Se incubaron los anticuerpos durante 30 min. con las proteínas de fusión de Fc antes de la adición de las células. El anticuerpo anti-B7RP-1-Fc inhibe específicamente la proliferación de células T inducida por B7RP-1-Fc de un modo dependiente de la dosis.

5

10

40

45

50

55

60

Figura 16. Efecto de las proteínas CRP-1-Fc y B7RP-1-Fc sobre la incidencia (A) y la gravedad (B) de la artritis inducida por colágeno en ratones. Se inmunizaron ratones B10.RIII susceptibles a artritis inducida por colágeno en la base de la cola con 10 μg de colágeno porcino tipo II en CFA. Los ratones recibieron 100 μg de proteína de fusión dos veces a la semana. El tratamiento con PBS control y proteínas de fusión de Fc se indica en la leyenda de la figura.

Figura 17. Colon proximal en ratones transgénicos para B7RP-1-Fc. (A) Colon proximal normal del ratón control n.º 53F (hembra) que muestra la pared del intestino con la mucosa, submucosa, capa muscular de la mucosa y serosa. Tinción con hematoxilina-eosina (H&E), 40x aumentos. (B) Colon proximal engrosado de manera difusa del ratón transgénico para B7RP-1-Fc n.º 111F con hipertrofia glandular prominente, ulceración por agrietamiento e inflamación transparietal. H&E, 40x. (C) Vista a menos aumentos del colon proximal (como en el panel B) del ratón transgénico para B7RP-1-Fc n.º 111F con ulceración por agrietamiento multifocal e inflamación transparietal. H&E, 20x. (D) Primer plano de la úlcera por agrietamiento y las glándulas colónicas hipertróficas del ratón transgénico para B7RP-1-Fc n.º 111F (mostrado en los paneles B y C anteriores). Obsérvese la luz con exudado mucopurulento. H&E, 100x. (E) Primer plano de la inflamación granulomatosa en la submucosa del ratón transgénico para B7RP-1-Fc n.º 112F con una célula gigante multinucleada rodeada por macrófagos, linfocitos y menos neutrófilos. H&E, 400x. (F) Primer plano de la inflamación granulomatosa en la mucosa del ratón transgénico para B7RP-1-Fc n.º 112F con macrófagos epitelioides mezclados con linfocitos, células plasmáticas y menos neutrófilos subyacentes a las glándulas mucosas. H&E, 400x.

Figura 18. Colon distal en ratones transgénicos para B7RP-1-Fc. (A) Colon distal normal del ratón control n.º 53F (hembra) que muestra las capas de la pared del intestino con la mucosa, submucosa, capa muscular de la mucosa y serosa. Tinción con hematoxilina-eosina (H&E), 40x aumentos. (B) Colon distal engrosado de manera difusa del ratón transgénico para B7RP-1-Fc n.º 111F (hembra) con hiperplasia e hipertrofia glandular prominente y abscesos crípticos dispersados. H&E, 40x. (C) Colon distal engrosado de manera difusa del ratón transgénico para B7RP-1-Fc n.º 112F (hembra) con glándulas colónicas hipertróficas, agregados linfoides focales y muchos abscesos crípticos. H&E, 40x. (E) Tinción inmunohistoquímica del colon distal del ratón transgénico para B7RP-1-Fc n.º 112F con anticuerpo anti-CD3 (marcador de células T). Obsérvese la inmunotinción de la mucosa superficial y el parche linfoide colónico. H&E, 40x. (F) Primer plano de la mucosa colónica del ratón transgénico para B7RP-1-Fc n.º 112F con un absceso críptico (flecha) y agregado linfoide compuesto por células B B220+ (recuadro). H&E, 100x.

Figura 19. Intestino delgado en ratones transgénicos para B7RP-1-Fc. (A) Duodeno normal del ratón control n.º 53F (hembra) que muestra la luz, las vellosidades y las criptas de la mucosa y submucosa subyacente, la capa muscular de la mucosa y la serosa. Tinción con hematoxilina-eosina (H&E), 40x aumentos. (B) Duodeno engrosado de manera difusa del ratón transgénico para B7RP-1-Fc n.º 51F (hembra) con hiperplasia e hipertrofia de las criptas prominente e infiltrado linfoplasmacítico leve en la lámina propia. H&E, 40x. (C) Yeyuno normal del ratón control n.º 53F (hembra) que muestra la longitud normal de las vellosidades y las criptas en la mucosa del yeyuno. H&E, 40x aumentos. (D) Mucosa del yeyuno notablemente engrosada del ratón transgénico para B7RP-1-Fc n.º 51F (hembra) con hiperplasia e hipertrofia de las criptas localmente extensa. H&E, 40x. (E) Íleo normal del ratón control n.º 53F (hembra) que muestra la longitud normal de las vellosidades y las criptas en la mucosa del íleo. H&E, 40x aumentos. (F) Atrofia leve de la mucosa del íleo del ratón transgénico para B7RP-1-Fc n.º 231M (macho) con pérdida focal y aplanamiento de las vellosidades. H&E, 40x.

Figura 20. La proteína de fusión B7RP-1-Fc inhibe el crecimiento tumoral en ratones. Se implantaron por vía intradérmica células de sarcoma Meth A en el abdomen de ratones Balb/C. En los días 7, 10, 14 y 17, tras la implantación, se trataron los ratones con vehículo (rombos oscuros) o B7RP-1-Fc murina (triángulos grises, ejemplo 7). Se midió el volumen tumoral, tal como se describe en el ejemplo 20, en los días indicados tras la implantación. Se monitorizó el crecimiento tumoral hasta el día 28. Cada grupo tenía ocho ratones.

Figura 21. Coestimulación de células T mediante B7RP-1-Fc humana. Se usaron anticuerpo anti-CD3 y B7RP-1-Fc humana para recubrir placas de 96 pocillos, y se cultivaron 1 x 10⁵ células T/pocillo (>98% CD3+) y se recogieron tal como se describe en el ejemplo 21. A) Coestimulación inducida por anticuerpo anti-CD3 sólo (círculos negros), B7RP-1-Fc 0,5 μg/ml (triángulos negros), OPG-Fc 0,5 μg/ml (círculos blancos) y anticuerpo anti-CD28 5 μg/ml (triángulos blancos) a diferentes concentraciones de estimulación primaria con anticuerpo anti-CD3. Los datos muestran que B7RP-1-Fc coestimulaba células T sensibilizadas con anticuerpo anti-CD3 a niveles similares que la coestimulación usando anticuerpos anti-CD28. Los datos mostrados son [³H]TdR media incorporada +/- DE en pocillos por triplicado a partir de un experimento representativo de varios experimentos generados con células T aisladas de tres donantes normales. B) Inhibición dependiente de la dosis de la coestimulación de B7RP-1-Fc por

CRP-1-Fc. Se cultivaron células T en pocillos recubiertos con tanto anticuerpo anti-CD3 a 0,3 µg/ml como B7RP-1-Fc 0,5 μg/ml. Se preincubaron concentraciones diluidas en serie de CRP-1-Fc (círculos negros) u OPG-Fc (círculos blancos) con la B7RP-1-Fc durante 30 min. antes de la adición de células T. Los datos muestran que CRP-1-Fc inhibe la coestimulación inducida por B7RP-1 de una manera dependiente de la dosis. Se representa gráficamente el 5 porcentaje de inhibición frente a la concentración de proteína CRP-1-Fc u OPG-Fc. Los datos mostrados son [3H]TdR media incorporada +/- DE de tres experimentos realizados por triplicado y son representativos de experimentos generados con dos donantes normales. C) Coestimulación por B7RP-1 de células CHO humanas. Se purificaron células T de sangre periférica y se cultivaron con diversas concentraciones de anticuerpo anti-CD3 en presencia de anticuerpo anti-CD3 solo (círculos negros), 1 x 10⁴ células control de vector CHO (círculos blancos) o 10 1 x 10⁴ células CHO B7RP-1 (triángulos negros), tal como se describe en el ejemplo 22. Los datos muestran que B7RP-1 unida a la membrana coestimulaba el crecimiento de células T en un nivel similar al observado usando proteínas de fusión B7RP-1-Fc. Los datos mostrados son la media +/- DE de cultivos por triplicado y son representativos de resultados generados con dos donantes normales. D) Producción de citocinas. Se cultivaron células T tal como se describe en (figura 21A) y se recogieron sobrenadantes a las 48 (barras negras) y 72 (barras 15 grises) h. Los datos muestran que la cantidad de IL-2 producida por células coestimuladas por B7RP-1-Fc (gráfico superior) era similar a la producida por células estimuladas por anticuerpo anti-CD3 y Fc control, pero significativamente inferior a la producida por células coestimuladas por anticuerpo anti-CD28. Los datos también muestran que la coestimulación por B7RP-1-Fc potenciaba la producción de IL-10 (gráfico del medio) e IFN-gamma (gráfico inferior).

20 Descripción detallada de la invención

25

30

35

40

45

50

55

La invención se refiere a polipéptidos novedosos denominados en el presente documento CRP1 y B7RP1, que comprenden una pareja de receptor-ligando que está implicada en la activación de células T. Se identificaron ADNc que codifican para los polipéptidos a partir de una biblioteca preparada a partir de células intraepiteliales de intestino de ratón y se examinaron basándose en la homología frente a los polipéptidos CD28 y CTLA-4 (para CRP1) o los polipéptidos B7.1 y B7.2 (para B7RP1).

Se predice que la proteína 1 relacionada con CD28, o CRP1, es una proteína transmembrana de tipo I con una secuencia señal y un dominio extracelular en el extremo amino-terminal, un dominio transmembrana y un dominio intracelular carboxilo-terminal (figura 1). La proteína CRP1 de longitud completa tiene 180 aminoácidos en su forma madura. La secuencia líder predicha se extiende aproximadamente por los residuos de aminoácido 1-20 (en relación con la metionina de iniciación) y el dominio extracelular de la proteína madura abarca aproximadamente los residuos 21-145 (ejemplo 1). El dominio transmembrana predicho se extiende aproximadamente por los residuos 146-163 y el dominio intracelular abarca aproximadamente los residuos 164-200. El dominio extracelular amino-terminal es similar a un bucle de lg con cisteínas de unión intra e intermolecular supuestas conservadas. Además, un motivo "MYPPPY", que se sabía previamente que era importante para la unión de B7.1 y B7.2 a CD28 y CTLA-4, también está parcialmente conservado.

CD28 y CTLA-4 son débilmente homólogas tal como se muestra a modo de ejemplo por la identidad de aminoácidos del 26% entre CD28 y CTLA-4 murinas. Hay una identidad de aminoácidos del 19% de CRP1 con CD28 murina y una identidad del 14% de CRP1 con CTLA-4 murina. Sin embargo, se conservan residuos de cisteína críticos entre CD28, CTLA-4 y CRP1 murinas en los residuos 42, 63, 83, 109 y 137 (en relación con la metionina de iniciación en la proteína CRP1, véase la figura 1A). Las longitudes de la proteína madura aproximadas y las ubicaciones de la región transmembrana en relación con el extremo carboxilo-terminal son también similares en CRP1, CD28 y CTLA-4

CRP1 humana es una proteína transmembrana que tiene la secuencia de aminoácidos y nucleótidos mostrada en la figura 13A. La secuencia líder predicha se extiende por aproximadamente los residuos 1-19 o aproximadamente los residuos 1-20. El extremo amino-terminal maduro predicho está en los residuos 20 ó 21. Preferiblemente, el extremo amino-terminal maduro está en la posición 21. El dominio extracelular se extiende desde cualquiera de los extremos amino-terminales maduros predichos hasta aproximadamente el residuo de aminoácido 140, el dominio transmembrana se extiende por aproximadamente los residuos 141-161 y el dominio intracelular se extiende por aproximadamente los residuos 162-199. La proteína CRP1 humana tiene una identidad del 69% con la proteína murina y las secuencias de nucleótidos correspondientes son idénticas al 77%. Se notificó la secuencia de CRP1 humana en Hutloff et al. Nature 397, 263-266 (1999).

Se predice que la proteína 1 relacionada con B7, o B7RP1, es una proteína transmembrana de tipo I con una secuencia señal y un dominio extracelular en el extremo amino-terminal, un dominio transmembrana y un dominio intracelular carboxilo-terminal (figura 2A). La proteína B7RP1 de longitud completa tiene 276 aminoácidos en su forma madura. La secuencia líder predicha se extiende por aproximadamente los residuos de aminoácido 1-46 (en relación con la metionina de iniciación) y el dominio extracelular de la proteína madura abarca los residuos 47-279 (ejemplo 3). El dominio transmembrana predicho se extiende por los residuos 280-298 y el dominio intracelular abarca los residuos 299-322. Similar a B7.1 y B7.2, el dominio extracelular de B7RP1 comprende dos bucles de Ig.

B7.1 y B7.2 son débilmente homólogas tal como se muestra a modo de ejemplo por la identidad de aminoácidos del 24% entre B7.1 y B7.2 murinas. Hay una identidad de aminoácidos del 20% de B7RP1 con B7.1 murina y una

identidad del 19% de B7RP1 con B7.2 murina. Sin embargo, se conservan residuos de cisteína críticos entre B7.1, B7.2 y B7RP1 murinas en los residuos 62, 138, 185 y 242 (en relación con la metionina de iniciación en la proteína B7RP1, figura 2A). La longitud de la proteína madura aproximada y la ubicación de la región transmembrana en relación con el extremo carboxilo-terminal son también similares en mB7RP1, B7.1 y B7.2.

- B7RP1 humana es también una proteína transmembrana con residuos de cisteína conservados en el dominio extracelular que son necesarios para estructuras de bucle de Ig. La secuencia líder predicha abarca aproximadamente los residuos 1-18, 1-19, 1-20, 1-21, 1-23 ó 1-27 tal como se muestra en la figura 3A. El extremo amino-terminal maduro predicho puede estar en cualquiera de los residuos 19, 20, 21, 22, 24 ó 28. Preferiblemente, el extremo amino-terminal está en la posición 19. El dominio extracelular se extiende desde cualquiera de los extremos amino-terminales maduros hasta aproximadamente el residuo de aminoácido 259. El dominio transmembrana predicho se extiende por aproximadamente los residuos 259-274. El dominio intracelular abarca los residuos 275-302. La secuencia de aminoácidos y nucleótidos de B7RP1 humana de longitud completa se muestra en la figura 12A. B7RP1 humana es idéntica aproximadamente al 43% a la proteína murina.
- CRP1 y B7RP1 se unen entre sí, pero CRP1 no se une de manera detectable a la proteína relacionada con B7RP1
 B7.2; y B7RP1 no presenta unión detectable a CTLA-4 o CD28 relacionada con CRP1 (ejemplo 8). Se mostró que
 B7RP1 regula la proliferación de células T, presumiblemente a través de la interacción de B7RP1 con receptores de
 CRP1 (ejemplo 11). Por tanto, CRP1 y B7RP1 representan una ruta novedosa para regular la proliferación y
 activación de células T.
- La interacción de B7RP1 con CRP1 puede regularse de tal manera que la coestimulación inmunitaria y la proliferación y activación de células T pueda aumentarse o disminuirse. A modo de ejemplo, anticuerpos monoclonales y policlonales anti-B7RP1 generados contra B7RP1 murina bloqueaban la interacción B7RP1/CRP1 y también bloqueaban la proliferación de células T inducida por una proteína de fusión B7RP1-Fc (véase el ejemplo 17). Una proteína de fusión CRP-1-Fc humana bloqueaba la proliferación de células T inducida por B7RP-1-Fc humana (ejemplo 21). Además, la adición de una proteína de fusión CRP1-Fc retrasaba la aparición de síntomas artríticos en un modelo de ratón de artritis reumatoide (véase el ejemplo 18). La coestimulación por B7RP-1/CRP-1 también puede aumentarse mediante la adición de la proteína de fusión B7RP-1-Fc u otros activadores de esta ruta (ejemplo 20).

Moléculas de ácido nucleico

- El término "molécula de ácido nucleico aislada" se refiere a una molécula de ácido nucleico que está libre de al menos una molécula de ácido nucleico contaminante con la que está asociada de manera natural, y de manera preferible sustancialmente libre de cualquier otra molécula de ácido nucleico de mamífero contaminante.
 - El término "variante alélica" se refiere a una de varias posibles formas alternativas que se producen de manera natural de un gen que ocupa un locus dado en un cromosoma de un organismo.
- El término "variante de corte y empalme" se refiere a una molécula de ácido nucleico, habitualmente ARN, que se genera mediante el procesamiento alternativo de secuencias de intrones en un transcrito de ARN.
- El término "condiciones de alta rigurosidad" se refiere a las condiciones que: (1) emplean baja fuerza iónica y alta temperatura para lavar, por ejemplo, 0,1 X SSC (NaCl 0,015 M/citrato de sodio 0,0015 M), NaDodSO₄ al 0,1% (SDS) a 50°C o (2) emplean durante la hibridación un agente desnaturalizante tal como formamida, por ejemplo, formamida al 50% (vol/vol) con albúmina sérica bovina al 0,1%/Ficoll al 0,1%/polivinilpirrolidona al 0,1%/tampón fosfato de sodio 50 mM a pH 6,5 con 5 X SSC (NaCl 750 mM, citrato de sodio 75 mM) a 42°C. Otro ejemplo de condiciones de alta rigurosidad es formamida al 50%, 5 x SSC, fosfato de sodio 50 mM (pH 6,8), pirofosfato de sodio al 0,1%, 5 x solución de Denhardt, ADN de esperma de salmón sonicado (50 μg/ml), SDS al 0,1% y sulfato de dextrano al 10% a 42°C, con lavados a 42°C en 0,2 x SSC y SDS al 0,1%.
- El término "condiciones de rigurosidad moderadas" se refiere a las condiciones que incluyen el uso de una disolución de lavado y condiciones de hibridación (por ejemplo, temperatura y fuerza iónica) menos rigurosas que las descritas anteriormente. Un ejemplo de condiciones moderadamente rigurosas son condiciones tales como incubación durante la noche a 37°C en una disolución que comprende: formamida al 20%, 5 x SSC, fosfato de sodio 50 mM (pH 7,6), 5 x solución de Denhardt, sulfato de dextrano al 10% y ADN de esperma de salmón fragmentado desnaturalizado 20 µl/ml, seguido por lavado de los filtros en 1 x SSC a aproximadamente 37-50°C. El experto en la técnica reconocerá cómo ajustar la temperatura, fuerza iónica y otros parámetros según sea necesario para adaptarse a factores tales como longitud de sonda y similares.
 - Se exponen métodos de tecnología de ADN recombinante en Sambrook *et al.* (Molecular Cloning: A Laboratory Manual, Cold Spring Harbor Laboratory Press, Cold Spring Harbor, NY (1989)) y/o Ausubel *et al.*, eds., (Current Protocols in Molecular Biology, Green Publishers Inc. y Wiley and Sons, NY (1994)).
- La invención proporciona moléculas de ácido nucleico aisladas que codifican para polipéptidos B7RP1. También se proporcionan moléculas de ácido nucleico que son fragmentos, variantes alélicas, variantes de corte y empalme o son complementarias en secuencia a moléculas que codifican para polipéptidos B7RP1. También se dan a conocer

moléculas de ácido nucleico que son idénticas al menos aproximadamente al 70% a moléculas que codifican para CRP1 o B7RP1 o que se hibridan con moléculas que codifican para CRP1 o B7RP1 en condiciones de rigurosidad moderada o alta. Las moléculas de ácido nucleico pueden ser ADNc, ADN genómico, ARN o una molécula de ácido nucleico parcial o totalmente sintética. En aspectos preferidos, las moléculas de ácido nucleico de la presente descripción son idénticas al menos aproximadamente al 75%, al 80%, al 85%, al 90% o al 95% a moléculas de ácido nucleico que codifican para CRP1 o B7RP1.

5

10

15

20

40

45

50

55

60

Puede obtenerse un gen o ADNc que codifica para un polipéptido CRP1 o B7RP1 o fragmento del mismo, por ejemplo, mediante examen por hibridación o amplificación por PCR de una biblioteca de ADNc o genómica. Pueden generarse sondas o cebadores útiles para examinar la biblioteca basándose en la información de secuencia para otros genes o fragmentos de genes conocidos de la misma familia de genes o una familia relacionada, por ejemplo, motivos conservados encontrados en polipéptidos relacionados con CRP1 o B7RP1 tales como una serie conservada de residuos de cisteína. Además, cuando se ha identificado un gen que codifica para un polipéptido CRP1 o B7RP1 de una especie, puede usarse todo o una parte de ese gen como sonda para identificar genes homólogos de otra especie. Las sondas o los cebadores pueden usarse para examinar bibliotecas de ADNc de diversas fuentes de tejido que se cree que expresan el gen de CRP1 o B7RP1.

Cuando se usan sondas oligonucleotídicas para examinar bibliotecas de ADNc o genómicas, puede usarse una de las siguientes dos disoluciones de alta rigurosidad. La primera de éstas es 6 X SSC con pirofosfato de sodio al 0,05% a 35°C-62°C, dependiendo la temperatura de la longitud de la sonda oligonucleotídica. Por ejemplo, se lavan sondas de 14 pares de bases a 35-40°C, se lavan sondas de 17 pares de bases a 45-50°C, se lavan sondas de 20 pares de bases a 52-57°C y se lavan sondas de 23 pares de bases a 57-63°C. La temperatura puede aumentarse 2-3°C cuando la unión no específica de fondo parezca alta. Una segunda disolución de alta rigurosidad utiliza cloruro de tetrametilamonio (TMAC) para lavar sondas oligonucleotídicas. Una disolución de lavado rigurosa es TMAC 3 M, Tris-HCl 50 mM, pH 8,0 y SDS al 0,2%. La temperatura de lavado usando esta disolución es una función de la longitud de la sonda. Por ejemplo, una sonda de 17 pares de bases se lava a aproximadamente 45-50°C.

Otro medio para preparar un gen que codifica para un polipéptido CRP1 o B7RP1 o fragmento del mismo es emplear síntesis química usando métodos bien conocidos por el experto en la técnica tal como los descritos por Engels et al. (Agnew. Chem. Intl. Ed., 28:716-734 (1989)). Estos métodos incluyen, entre otros, los métodos de fosfotriéster, fosforamidita y H-fosfonato para la síntesis de ácido nucleico. Un método preferido para tal síntesis química es síntesis soportada sobre polímero usando química de fosforamidita convencional. Normalmente, el ADN que codifica para un polipéptido CRP1 o B7RP1 tendrá varios cientos de nucleótidos de longitud. Pueden sintetizarse ácidos nucleicos mayores de aproximadamente 100 nucleótidos como varios fragmentos usando estos métodos. Los fragmentos pueden ligarse entonces entre sí para formar un polipéptido CRP1 o B7RP1 de longitud completa. Habitualmente, el fragmento de ADN que codifica para el extremo amino-terminal del polipéptido tendrá un ATG, que codifica para un residuo de metionina. Esta metionina puede estar presente o no en la forma madura de un polipéptido CRP1 o B7RP1, dependiendo de si el polipéptido producido en la célula huésped está diseñado para secretarse a partir de esa célula.

Moléculas de ácido nucleico de CRP1 o B7RP1, fragmentos y/o derivados que no codifican por sí mismos para polipéptidos que sean biológicamente activos pueden no obstante ser útiles como sondas de hibridación en ensayos de diagnóstico para someter a prueba, o bien cualitativamente o bien cuantitativamente, la presencia de ADN de CRP1 o B7RP1 o ARN correspondiente en muestras de fluidos corporales o tejidos de mamíferos.

En algunos casos, puede ser deseable preparar variantes de ácido nucleico y/o aminoácidos de polipéptidos CRP1 o B7RP1 que se producen de manera natural. Pueden producirse variantes de ácido nucleico usando mutagénesis dirigida al sitio, amplificación por PCR u otros métodos apropiados, cuando el/los cebador(es) tienen las mutaciones puntuales deseadas (véase Sambrook et al., citado anteriormente, y Ausubel et al., citado anteriormente, para descripciones de técnicas de mutagénesis). También puede usarse síntesis química usando métodos descritos por Engels et al., citado anteriormente, para preparar tales variantes. Pueden usarse también otros métodos conocidos por el experto en la técnica.

Las variantes de ácido nucleico preferidas incluyen las que contienen codones que se han alterado para lograr una expresión óptima de polipéptidos CRP1 y B7RP1 en una célula huésped dada. Las alteraciones de codones particulares dependerán de la selección de proteína y célula huésped. Tal "optimización de codones" puede llevarse a cabo, en un caso, seleccionando codones que se usan preferentemente en genes altamente expresados en una célula huésped dada. Pueden usarse algoritmos informáticos que incorporan tablas de frecuencias de codones tales como "Ecohigh.Cod" para la preferencia de codones de genes bacterianos altamente expresados y se proporcionan por el University of Wisconsin Package versión 9.0, Genetics Computer Group, Madison, WI. Otras tablas de frecuencia de codones útiles incluyen "Celegans_high.cod", "Celegans_low.cod", "Drosophila_high.cod", "Human_high.cod", "Maize_high.cod" y "Yeast_high.cod". Otras variantes preferidas son las que codifican para cambios de aminoácidos conservativos tal como se describe a continuación (por ejemplo, en los que la carga o polaridad de la cadena lateral del aminoácido que se produce de manera natural no se altera sustancialmente por la sustitución con un aminoácido diferente) en comparación con el silvestre, y/o las diseñadas para o bien generar un sitio/sitios de glicosilación y/o fosforilación novedoso(s), o bien las diseñadas para delecionar un sitio/sitios de glicosilación y/o fosforilación existente(s).

El gen, ADNc o fragmento del mismo que codifica para un polipéptido CRP1 o B7RP1 puede insertarse en un vector de expresión o amplificación apropiado usando técnicas de ligamiento convencionales. El vector se selecciona normalmente para que sea funcional en la célula huésped particular empleada (es decir, el vector es compatible con la maquinaria de la célula huésped de manera que puede producirse la amplificación del gen y/o la expresión del gen). El gen, ADNc o fragmento del mismo que codifica para el polipéptido CRP1 o B7RP1 puede amplificarse/expresarse en células huésped procariotas, de levadura, de insecto (sistemas de baculovirus) y/o eucariotas. La selección de la célula huésped dependerá en parte de si el polipéptido CRP1 o B7RP1 o fragmento del mismo va a glicosilarse y/o fosforilarse. Si es así, son preferibles células huésped de levadura, de insecto o de mamífero.

5

60

- 10 Normalmente, los vectores de expresión usados en cualquiera de las células huésped contendrán secuencias para el mantenimiento de plásmidos y la clonación y expresión de secuencias de nucleótidos insertadas. Tales secuencias, denominadas colectivamente "secuencias flanqueantes", incluirán un promotor y otros elementos reguladores tales como un potenciador/potenciadores, un elemento de origen de replicación, un elemento de terminación de la transcripción, una secuencia de intrón completa que contiene un sitio de corte y empalme donador 15 y aceptor, una secuencia de péptido señal, un elemento de sitio de unión al ribosoma, una secuencia de poliadenilación, una región de poliligador para insertar el ácido nucleico que codifica para el polipéptido que va a expresarse y un elemento de marcador seleccionable. Cada uno de estos elementos se comenta a continuación. Opcionalmente, el vector puede contener una secuencia de "etiqueta", es decir, una molécula de oligonucleótido ubicada en el extremo 5' o 3' de una secuencia que codifica para polipéptido CRP1 o B7RP1; la molécula de 20 oligonucleótido codifica para poliHis (tal como hexaHis), u otra "etiqueta" tal como FLAG, HA (hemaglutinina de virus influenza) o myc para la que existen anticuerpos disponibles comercialmente. Está etiqueta se fusiona normalmente al polipéptido tras la expresión del polipéptido, y puede servir como medio para la purificación por afinidad de un polipéptido CRP1 o B7RP1 de la célula huésped. La purificación por afinidad puede lograrse, por ejemplo, mediante cromatografía en columna usando anticuerpos contra la etiqueta como matriz de afinidad. Opcionalmente, la etiqueta 25 puede eliminarse posteriormente de un polipéptido CRP1 o B7RP1 purificado por diversos medios tales como usando determinadas peptidasas.
- La región Fc y bisagra de inmunoglobulina humana pueden fusionarse en el extremo o bien N-terminal o bien C-terminal de un polipéptido CRP1 o B7RP1 por un experto en la técnica. La proteína de fusión de Fc posterior puede purificarse mediante el uso de una columna de afinidad de proteína A. Se sabe que una región Fc de inmunoglobulina presenta una semivida farmacocinética larga *in vivo* y se ha encontrado que proteínas fusionadas a una región Fc presentan una semivida sustancialmente mayor *in vivo* en comparación con el homólogo no fusionado. Además, la fusión a la región Fc permite la dimerización y/o multimerización de la molécula que puede ser útil para la bioactividad de algunas moléculas.
- La secuencia flanqueante puede ser homóloga (es decir, de la misma especie y/o cepa que la célula huésped), heteróloga (es decir, de una especie distinta de la especie o cepa de la célula huésped), híbrida (es decir, una combinación de secuencias flanqueantes de más de una fuente), sintética o puede ser las secuencias flanqueantes de ácido nucleico de CRP1 o B7RP1 nativas. Como tal, la fuente de la secuencia flanqueante puede ser cualquier organismo procariota o eucariota unicelular, cualquier organismo vertebrado o invertebrado o cualquier planta, siempre que la secuencia flanqueante sea funcional en, y pueda activarse por, la maquinaria de la célula huésped.
- Las secuencias flanqueantes útiles en los vectores de esta invención pueden obtenerse mediante cualquier de varios métodos bien conocidos en la técnica. Normalmente, las secuencias flanqueantes útiles en el presente documento distintas de secuencias flanqueantes de ácido nucleico de CRP1 o B7RP1 se habrán identificado previamente mediante mapeo y/o mediante digestión con endonucleasas de restricción y por tanto pueden aislarse de la fuente de tejido apropiada usando las endonucleasas de restricción apropiadas. En algunos casos, puede conocerse la secuencia de nucleótidos completa de la secuencia flanqueante. En este caso, puede sintetizarse la secuencia flanqueante usando los métodos descritos anteriormente para la síntesis o clonación de ácido nucleico.
 - Cuando se conoce toda o sólo una parte de la secuencia flanqueante, puede obtenerse usando PCR y/o examinando una biblioteca genómica con fragmentos de secuencias flanqueantes y/u oligonucleótidos adecuados de la misma u otra especie.
- Cuando no se conoce la secuencia flanqueante, puede aislarse un fragmento de ADN que contiene una secuencia flanqueante de un trozo mayor de ADN que puede contener, por ejemplo, una secuencia codificante o incluso otro gen o genes. El aislamiento puede lograrse mediante digestión con endonucleasas de restricción usando una o más enzimas seleccionadas cuidadosamente para aislar el fragmento de ADN apropiado. Tras la digestión, puede aislarse el fragmento deseado mediante purificación en gel de agarosa, columna Qiagen® u otros métodos conocidos por el experto en la técnica. La selección de enzimas adecuadas para lograr este fin será fácilmente evidente para un experto habitual en la técnica.
 - El elemento de origen de replicación es normalmente una parte de vectores de expresión procariotas adquiridos comercialmente, y ayuda en la amplificación del vector en una célula huésped. La amplificación del vector hasta un determinado número de copias puede ser, en algunos casos, importante para la expresión óptima del polipéptido CRP1 o B7RP1. Si el vector de elección no contiene un sitio de origen de replicación, puede sintetizarse uno

químicamente basándose en una secuencia conocida, y ligarse en el vector.

El elemento de terminación de la transcripción está ubicado normalmente en 3' del extremo de una secuencia que codifica para polipéptido CRP1 o B7RP1 y sirve para terminar la transcripción de un polipéptido CRP1 o B7RP1. Habitualmente, el elemento de terminación de la transcripción en células procariotas es un elemento rico en G-C seguido por una secuencia de poli T. Aunque el elemento se clona fácilmente a partir de una biblioteca o incluso se adquiere comercialmente como parte de un vector, también puede sintetizarse fácilmente usando métodos para síntesis de ácido nucleico tales como los descritos anteriormente.

Un elemento de gen marcador seleccionable codifica para una proteína necesaria para la supervivencia y el crecimiento de una célula huésped hecha crecer en un medio de cultivo selectivo. Los genes marcadores de selección típicos codifican para proteínas que (a) confieren resistencia a antibióticos u otras toxinas, por ejemplo, ampicilina, tetraciclina o kanamicina para células huésped procariotas, (b) complementan deficiencias auxotróficas de la célula; o (c) suministran nutrientes críticos no disponibles a partir de medios complejos. Marcadores seleccionables preferidos son el gen de resistencia a kanamicina, el gen de resistencia a ampicilina y el gen de resistencia a tetraciclina.

El elemento de unión al ribosoma, denominado comúnmente la secuencia Shine-Dalgarno (procariotas) o la secuencia Kozak (eucariotas), es habitualmente necesario para la iniciación de la traducción de ARNm. El elemento está ubicado normalmente en 3' con respecto al promotor y en 5' con respecto a la secuencia codificante del polipéptido CRP1 o B7RP1 que va a sintetizarse. La secuencia Shine-Dalgarno varía pero es normalmente una polipurina (es decir, que tiene un alto contenido en A-G). Se han identificado muchas secuencias Shine-Dalgarno, cada una de las cuales puede sintetizarse fácilmente usando métodos expuestos anteriormente y usarse en un vector procariota.

En aquellos casos en los que sea deseable que un polipéptido CRP1 o B7RP1 se secrete de la célula huésped, puede usarse una secuencia señal para dirigir la exportación del polipéptido de la célula huésped. También se inactiva un dominio transmembrana de CRP1 o B7RP1 mediante mutación o deleción para impedir la unión a la membrana del huésped. Normalmente, la secuencia señal se coloca en la región codificante de un ADNc o gen de CRP1 o B7RP1, o directamente en el extremo 5' de la región codificante de un gen de CRP1 o B7RP1. Se han identificado muchas secuencias señal, y puede usarse cualquiera de ellas que sea funcional en la célula huésped seleccionada conjuntamente con un ADNc o gen de CRP1 o B7RP1. Por tanto, la secuencia señal puede ser homóloga o heteróloga para un ADNc o gen de CRP1 o B7RP1, y puede ser homóloga o heteróloga para un ADNc o gen de polipéptidos CRP1 o B7RP1. Adicionalmente, la secuencia señal puede sintetizarse químicamente usando métodos expuestos anteriormente.

En la mayoría de los casos, la secreción del polipéptido de la célula huésped por medio de la presencia de un péptido señal dará como resultado la eliminación de la metionina amino-terminal del polipéptido.

En muchos casos, la transcripción de un ADNc o gen de CRP1 o B7RP1 se aumenta mediante la presencia de uno 35 o más intrones en el vector; esto es particularmente cierto cuando se produce un polipéptido CRP1 o B7RP1 en células huésped eucariotas, especialmente células huésped de mamífero. Los intrones usados pueden producirse de manera natural dentro de un gen de CRP1 o B7RP1, especialmente cuando el gen usado es una secuencia genómica de longitud completa o un fragmento de la misma. Cuando el intrón no se produce de manera natural dentro del gen (como para la mayoría de los ADNc), el/los intrón/intrones puede(n) obtenerse de otra fuente. La 40 posición del intrón con respecto a la secuencia flanqueante en 5' y un gen de CRP1 o B7RP1 es generalmente importante, ya que el intrón debe transcribirse para que sea eficaz. Como tal, cuando un gen de CRP1 o B7RP1 insertado en el vector de expresión es una molécula de ADNc, la posición preferida para el intrón es en 3' con respecto al sitio de inicio de la transcripción, y en 5' con respecto a la secuencia de terminación de la transcripción de poliA. Preferiblemente, el intrón o intrones estarán ubicados en un lado o el otro (es decir, en 5' o 3') del ADNc de 45 manera que no interrumpan esta secuencia codificante. Puede usarse cualquier intrón de cualquier fuente, incluyendo cualquier organismo viral, procariota y eucariota (planta o animal), para poner en práctica esta invención, siempre que sea compatible con la(s) célula(s) huésped(es) en la(s) que se inserta. También se incluyen en el presente documento intrones sintéticos. Opcionalmente, puede usarse más de un intrón en el vector.

Cuando uno o más de los elementos expuestos anteriormente no están ya presentes en el vector que va a usarse, pueden obtenerse individualmente y ligarse en el vector. El experto en la técnica conoce bien métodos usados para obtener cada uno de los elementos.

55

Vectores preferidos para poner en práctica esta invención son los que son compatibles con células huésped bacterianas, de insecto y de mamífero. Tales vectores incluyen, entre otros, pCRII, pCR3 y pcDNA3.1 (Invitrogen Company, San Diego, CA), pBSII (Stratagene Company, La Jolla, CA), pET15b (Novagen, Madison, WI), pGEX (Pharmacia Biotech, Piscataway, NJ), pEGFP-N2 (Clontech, Palo Alto, CA), pETL (BlueBacII; Invitrogen) y pFastBacDual (Gibco/BRL, Grand Island, NY).

Tras haberse construido el vector y haberse insertado una molécula de ácido nucleico que codifica para un polipéptido CRP1 o B7RP1 truncado o de longitud completa en el sitio apropiado del vector, el vector completado

puede insertarse en una célula huésped adecuada para su amplificación y/o expresión de polipéptidos.

Las células huésped pueden ser células huésped procariotas (tales como *E. coli*) o células huésped eucariotas (tales como una célula de levadura, una célula de insecto o una célula de vertebrado). La célula huésped, cuando se cultiva en condiciones apropiadas, puede sintetizar un polipéptido CRP1 o B7RP1 que puede recogerse posteriormente del medio de cultivo (si la célula huésped lo secreta al medio) o directamente de la célula huésped que lo produce (si no se secreta). Tras la recogida, puede purificarse un polipéptido CRP1 o B7RP1 usando métodos tales como cromatografía de tamices moleculares, cromatografía de afinidad, y similares.

La selección de la célula huésped apropiada para la producción del polipéptido CRP1 o B7RP1 dependerá de diversos factores, tales como los niveles de expresión deseados, las modificaciones del polipéptido que se requieren para la actividad, tal como glicosilación o fosforilación, o facilidad de plegamiento para dar una molécula biológicamente activa.

Células o líneas celulares adecuadas pueden ser células de mamífero, tales como células de ovario de hámster chino (CHO), células 293 o 293T de riñón embrionario humano (HEK) o células 3T3. La selección de células huésped de mamífero adecuadas y los métodos para la transformación, el cultivo, la amplificación, la selección y la producción y purificación de productos se conocen en la técnica. Otras líneas celulares de mamífero adecuadas son las líneas celulares COS-1 y COS-7 de mono, y la línea celular CV-1. Las células huésped de mamífero a modo de ejemplo adicionales incluyen líneas celulares de primate y líneas celulares de roedor, incluyendo líneas celulares transformadas. También son adecuadas células diploides normales, cepas celulares derivadas de cultivo *in vitro* de tejido primario, así como explantes primarios. Las células candidatas pueden ser genotípicamente deficientes en el gen de selección, o pueden contener un gen de selección de actuación dominante. Otras líneas celulares de mamífero adecuadas incluyen pero no se limitan a, células N2A de neuroblastoma de ratón, HeLa, células L-929 de ratón, líneas 3T3 derivadas de ratones Swiss, Balb-c o NIH, líneas celulares de hámster BHK o HaK.

Útiles de manera similar como células huésped son células bacterianas. Por ejemplo, las diversas cepas de *E. coli* (por ejemplo, HB101, DH5α, DH10 y MC1061) se conocen bien como células huésped en el campo de la biotectonología. Pueden emplearse también diversas cepas de *B. subtilis*, *Pseudomonas spp.*, otros *Bacillus spp.*, *Streptomyces spp.*, y similares en este método.

Muchas cepas de células de levadura conocidas por los expertos en la técnica también están disponibles como células huésped para la expresión de los polipéptidos de la presente invención.

Adicionalmente, cuando se desee, pueden utilizarse sistemas de células de insecto en los métodos de la presente invención. Tales sistemas se describen por ejemplo en Kitts *et al.* (Biotechniques, 14:810-817 (1993)), Lucklow (Curr. Opin. Biotechnol., 4:564-572 (1993)) y Lucklow *et al.* (J. Virol., 67:4566-4579 (1993)). Células de insecto preferidas son Sf-9 y Hi5 (Invitrogen, Carlsbad, CA).

Puede lograrse la "transformación" o "transfección" de un vector de expresión en la célula huésped seleccionada usando métodos tales como cloruro de calcio, electroporación, microinyección, lipofección o el método de DEAE-dextrano. El método seleccionado será en parte una función del tipo de célula huésped que va a usarse. Estos métodos y otros métodos adecuados los conoce bien el experto en la técnica y se exponen, por ejemplo, en Sambrook *et al.*, citado anteriormente.

Las células huésped transformadas o transfectadas con un vector de expresión pueden cultivarse usando medios convencionales bien conocidos por el experto en la técnica. Los medios contendrán habitualmente todos los nutrientes necesarlos para el crecimiento y la supervivencia de las células. Medios adecuados para cultivar células *E. coli* son, por ejemplo, caldo Luria (LB) y/o caldo Terrific (TB). Medios adecuados para cultivar células eucariotas son RPMI 1640, MEM, DMEM, todos los cuales pueden complementarse con suero y/o factores de crecimiento según se requiera por la línea celular particular que esté cultivándose. Un medio adecuado para cultivos de insecto es medio de Grace complementado con extracto de levadura, hidrolizado de lactoalbúmina y/o suero de ternero fetal según sea necesario.

Normalmente, se añade un antibiótico u otro compuesto útil para el crecimiento selectivo de las células transformadas sólo como complemento para los medios. El compuesto que va a usarse estará dictado por el elemento de marcador seleccionable presente en el plásmido con el que se transformó la célula huésped. Por ejemplo, cuando el elemento de marcador seleccionable es resistencia a kanamicina, el compuesto añadido al medio de cultivo será kanamicina.

La cantidad de polipéptido CRP1 o B7RP1 producida en la célula huésped puede evaluarse usando métodos convencionales conocidos en la técnica. Tales métodos incluyen, sin limitación, análisis de inmunotransferencia de tipo Western, electroforesis en gel de SDS-poliacrilamida, electroforesis en gel no desnaturalizante, separación por HPLC, inmunoprecipitación y/o ensayos de actividad tales como ensayos de desplazamiento en gel de unión a ADN.

Si un polipéptido CRP1 o B7RP1 se ha diseñado para secretarse de las células huésped, la mayoría del polipéptido puede encontrarse en el medio de cultivo celular. Los polipéptidos preparados de este modo normalmente no presentarán una metionina amino-terminal, ya que se elimina durante la secreción de la célula. Sin embargo, si un

50

polipéptido CRP1 o B7RP1 no se secreta de las células huésped, estará presente en el citoplasma y/o el núcleo (para células huésped eucariotas) o en el citosol (para células huésped de bacterias Gram-negativas) y pueden tener una metionina amino-terminal.

- La purificación de un polipéptido CRP1 o B7RP1 de la disolución puede lograrse usando una variedad de técnicas. Si el polipéptido se ha sintetizado de manera que contiene una etiqueta tal como hexahistidina (CRP1 o B7RP1 hexaHis) u otro péptido pequeño tal como FLAG (Eastman Kodak Co., New Haven, CT) o myc (Invitrogen, Carlsbad, CA) en su extremo o bien carboxilo o bien amino-terminal, puede purificarse esencialmente en un procedimiento de una etapa haciendo pasar el polipéptido eitquetado a través de una columna de afinidad en la que la matriz de la columna tiene una alta afinidad por la etiqueta o por el polipéptido directamente (es decir, un anticuerpo monoclonal que reconoce específicamente un polipéptido CRP1 o B7RP1). Por ejemplo, la polihistidina se une con gran afinidad y especificidad a níquel, por tanto puede usarse una columna de afinidad de níquel (tal como las columnas de níquel de Qiagen®) para la purificación de CRP1 o B7RP1/poliHis. (Véase por ejemplo, Ausubel et al., eds., Current Protocols in Molecular Biology, sección 10.11.8, John Wiley & Sons, Nueva York (1993)).
- Cuando se prepara un polipéptido CRP1 o B7RP1 sin una etiqueta unida, y no está disponible ningún anticuerpo, pueden usarse otros procedimientos bien conocidos para la purificación. Tales procedimientos incluyen, sin limitación, cromatografía de intercambio iónico, cromatografía de tamices moleculares, HPLC, electroforesis en gel nativo en combinación con elución del gel e isoelectroenfoque preparativo (máquina/técnica "Isoprime", Hoefer Scientific). En algunos casos, pueden combinarse dos o más de estas técnicas para lograr un aumento de pureza.
- Si se anticipa que un polipéptido CRP1 o B7RP1 se encontrará principalmente de manera intracelular, el material intracelular (incluyendo cuerpos de inclusión de bacterias Gram-negativas) puede extraerse de la célula huésped usando cualquier técnica convencional conocida por el experto en la técnica. Por ejemplo, las células huésped pueden lisarse para liberar el contenido del periplasma/citoplasma mediante prensa francesa, homogeneización y/o sonicación seguido por centrifugación.
- Si un polipéptido CRP1 o B7RP1 ha formado cuerpos de inclusión en el citosol, los cuerpos de inclusión pueden 25 unirse a menudo a las membranas celulares interna y/o externa y por tanto se encontrarán principalmente en el material sedimentado tras la centrifugación. El material sedimentado puede tratarse entonces a pH extremos o con un agente caotrópico tal como un detergente, guanidina, derivados de guanidina, urea o derivados de urea en presencia de un agente reductor tal como ditiotreitol a pH alcalino o tris-carboxietilfosfina a pH ácido para liberar, romper y solubilizar los cuerpos de inclusión. El polipéptido en su forma ahora soluble puede analizarse entonces 30 usando electroforesis en gel, inmunoprecipitación o similares. Si se desea aislar un polipéptido CRP1 o B7RP1, el aislamiento puede lograrse usando métodos convencionales tales como los expuestos a continuación y en Marston et al. (Met. Enz., 182:264-275 (1990)). En algunos casos, un polipéptido CRP1 o B7RP1 puede no ser biológicamente activo tras su aislamiento. Pueden usarse diversos métodos para "replegar" o convertir el polipéptido a su estructura terciaria y generar enlaces disulfuro para restaurar la actividad biológica. Tales métodos incluyen 35 poner en contacto el polipéptido solubilizado con una disolución que tiene un pH habitualmente por encima de 7 y en presencia de una concentración particular de un caótropo apropiado. En la mayoría de los casos, la disolución de replegamiento/oxidación contendrá también un agente reductor o el agente reductor y la forma oxidada correspondiente están en una razón específica para generar un potencial redox particular que permite que se produzça el intercambio de disulfuros en la formación del/de los puente(s) de cisteína de la proteína. Algunas de las 40 parejas redox comúnmente usadas incluyen cisteína/cistamina, glutatión (GSH)/ditiobis GSH, cloruro cúprico, ditiotreitol (DTT)/ditiano DTT, 2-mercaptoetanol (bME)/ditio-b(ME). En muchos casos, es necesario un codisolvente para aumentar la eficacia del replegamiento y los reactivos más comunes usados para este fin incluyen glicerol, polietilenglicol de diversos pesos moleculares y arginina.
- También pueden prepararse polipéptidos CRP1 o B7RP1, fragmentos y/o derivados de los mismos mediante métodos de sintesis química (tal como síntesis de péptidos en fase sólida) usando técnicas conocidas en la técnica tales como las expuestas por Merrifield et al., (J. Am. Chem. Soc., 85:2149 (1963)), Houghten et al. (Proc Natl Acad. Sci. USA, 82:5132 (1985)), y Stewart y Young (Solid Phase Peptide Synthesis, Pierce Chemical Co., Rockford, IL (1984)). Tales polipéptidos pueden sintetizarse con o sin una metionina en el extremo amino-terminal. Pueden oxidarse polipéptidos CRP1 o B7RP1 o fragmentos sintetizados químicamente usando métodos expuestos en estas referencias para formar puentes disulfuro. Se espera que polipéptidos CRP1 o B7RP1 o fragmentos tengan actividad biológica comparable a polipéptidos CRP1 o B7RP1 producidos de manera recombinante o purificados de fuentes naturales, y por tanto puedan usarse de manera intercambiable con polipéptido CRP1 o B7RP1 natural o recombinante.

<u>Polipéptidos</u>

El término "polipéptido CRP1 o B7RP1" se refiere a un polipéptido que tiene la secuencia de aminoácidos de la figura 1A (SEQ ID NO: 2), figura 2A (SEQ ID NO: 7) o figura 3A (SEQ ID NO: 12) y todos los polipéptidos relacionados descritos en el presente documento. Los polipéptidos relacionados incluyen variantes alélicas, variantes de corte y empalme, fragmentos, derivados, variantes de sustitución, deleción e inserción, polipéptidos de fusión y ortólogos. Tales polipéptidos relacionados pueden ser polipéptidos maduros, es decir, un polipéptido que carece de un péptido señal. Un polipéptido CRP1 o B7RP1 puede tener o no una metionina amino-terminal,

dependiendo de la manera en la que se preparan.

10

15

40

El término "fragmento de polipéptido CRP1 o B7RP1" se refiere a un péptido o polipéptido que es menor que la secuencia de aminoácidos de longitud completa de un polipéptido CRP1 o B7RP1 tal como se expone en la figura 1A (SEQ ID NO: 2), figura 2A (SEQ ID NO: 7) o figura 3A (SEQ ID NO: 12). Un fragmento de este tipo puede resultar de truncamiento en el extremo amino-terminal, truncamiento en el extremo carboxilo-terminal y/o una deleción interna en la secuencia de polipéptido. Tales fragmentos de polipéptidos CRP1 o B7RP1 pueden prepararse con o sin una metionina amino-terminal. Además, fragmentos de polipéptidos CRP1 o B7RP1 pueden ser variantes de corte y empalme que se producen de manera natural, otras variantes de corte y empalme y fragmentos que resultan de actividad proteasa *in vivo* que se produce de manera natural. Los fragmentos de polipéptido CRP1 o B7RP1 preferidos incluyen formas solubles de CRP1 o B7RP1 que carecen de un dominio transmembrana funcional y comprenden parte o todo del dominio extracelular de o bien CRP1 o bien B7RP1.

El término "variantes de polipéptido CRP1 o B7RP1" se refiere a polipéptidos CRP1 o B7RP1 cuyas secuencias de aminoácidos contienen una o más sustituciones, deleciones y/o adiciones de la secuencia de aminoácidos en comparación con las secuencias de aminoácidos de polipéptidos CRP1 o B7RP1 expuestas en la figura 1A (SEQ ID NO: 2), figura 2A (SEQ ID NO: 7) o figura 3A (SEQ ID NO: 12). Tales variantes de polipéptidos CRP1 o B7RP1 pueden prepararse a partir de las variantes de moléculas de ácido nucleico de polipéptidos CRP1 y B7RP1 correspondientes, que tienen una secuencia de ADN que varía por consiguiente de las secuencias de ADN para polipéptidos CRP1 o B7RP1.

- Tal como se usa en el presente documento, el término "derivados de polipéptido CRP1 o B7RP1" se refiere a polipéptidos CRP1 o B7RP1, variantes o fragmentos de los mismos, que se han modificado químicamente, como por ejemplo, mediante adición de uno o más polímeros solubles en agua, hidratos de carbono unidos a N o unidos a O, azúcares, fosfatos y/u otras moléculas de este tipo, en los que la molécula o moléculas no están unidas de manera natural a polipéptidos CRP1 o B7RP1 silvestres. Los derivados incluyen además la deleción de uno o más grupos químicos unidos de manera natural al polipéptido CRP1 o B7RP1.
- Tal como se usa en el presente documento, los términos "polipéptidos CRP1 o B7RP1 biológicamente activos", "fragmentos de polipéptido CRP1 o B7RP1 biológicamente activos", "variantes de polipéptido CRP1 o B7RP1 biológicamente activos" se refieren a polipéptidos CRP1 o B7RP1 que tienen al menos una de las actividades características de CRP1 o B7RP1. Una actividad es unión de B7RP1 a CRP1. Otra actividad es la capacidad de CRP1 o B7RP1 para estimular la proliferación y/o activación de células T.
 - El término "ortólogo" se refiere a un polipéptido que corresponde a un polipéptido identificado de una especie. Por ejemplo, polipéptidos B7RP1 de ser humano y ratón se consideran ortólogos.
 - El término "secuencia de aminoácidos madura" se refiere a un polipéptido que carece de una secuencia líder.
- El término "polipéptido aislado" se refiere a un polipéptido que está libre de al menos un polipéptido contaminante que se encuentra en su entorno natural, y de manera preferible sustancialmente libre de cualquier otro polipéptido de mamífero contaminante.
 - El término "identidad", tal como se conocen en la técnica, es una relación entre las secuencias de dos o más moléculas de ácido nucleico o dos o más polipéptidos, tal como se determina comparando las secuencias. En la técnica, "identidad" también significa el grado de relación de secuencia entre secuencias de moléculas de polipéptido o ácido nucleico, tal como puede ser el caso, tal como se determina por la coincidencia entre hebras de secuencias de nucleótidos o aminoácidos. La "identidad" mide el porcentaje de coincidencias idénticas entre dos o más secuencias con alineaciones de huecos tratadas mediante programas informáticos particulares (es decir, "algoritmos").
- El término "similitud" se refiere a un concepto relacionado, pero en contraposición a "identidad", una medida de similitud incluye tanto coincidencias idénticas como coincidencias de sustituciones conservativas. Puesto que las 45 sustituciones conservativas se aplican a polipéptidos y no a moléculas de ácido nucleico, la similitud sólo se ocupa de comparaciones de secuencias de polipéptido. Si dos secuencias de polipéptido tienen, por ejemplo, 10/20 aminoácidos idénticos, y el resto son sustituciones no conservativas, entonces el porcentaje de identidad y similitud serían ambos del 50%. Si en el mismo ejemplo hay 5 posiciones más en las que hay sustituciones conservativas, entonces el porcentaje de identidad sigue siendo del 50%, pero el porcentaje de similitud sería del 75% (15/20). Por 50 tanto, en casos en los que hay sustituciones conservativas, el grado de similitud entre dos secuencias de polipéptido será más alto que el porcentaje de identidad entre esas dos secuencias. Se describen sustituciones de aminoácidos "conservativas" a continuación en el presente documento en referencia a la tabla I. Basándose en la tabla I, sustituciones de aminoácidos conservativas son aminoácidos alternativos seleccionados de la misma agrupación, por ejemplo, básicos, ácidos, polares no cargados y no polares. Por ejemplo, sustituciones de aminoácidos 55 conservativas para arginina serían lisina e histidina.

La identidad y similitud pueden calcularse fácilmente mediante métodos conocidos, incluyendo pero sin limitarse a los descritos en Computational Molecular Biology, Lesk, A.M., ed., Oxford University Press, Nueva York, 1988;

Biocomputing: Informatics and Genome Projects, Smith, D.W., ed., Academic Press, Nueva York, 1993; Computer Analysis of Sequence Data, parte 1, Griffin, A.M., y Griffin, H.G., eds., Humana Press, Nueva Jersey, 1994; Sequence Analysis in Molecular Biology, von Heinje, G., Academic Press, 1987; y Sequence Analysis Primer, Gribskov, M. y Devereux, J., eds., M. Stockton Press, Nueva York, 1991; y Carillo, H., y Lipman, D., SIAM J. Applied Math., 48:1073 (1988).

Los métodos preferidos para determinar la identidad y/o similitud están diseñados para proporcionar la mayor coincidencia entre las secuencias sometidas a prueba. Los métodos para determinar la identidad y similitud se codifican en programas informáticos disponibles públicamente. Los métodos de programas informáticos preferidos para determinar la identidad y similitud entre dos secuencias incluyen, pero no se limitan a, el paquete de programas GCG, incluyendo GAP (Devereux, J., et al., Nucleic Acids Research 12(1):387 (1984); Genetics Computer Group, University of Wisconsin, Madison, WI), BLASTP, BLASTN y FASTA (Atschul, S.F. et al., J. Molec. Biol. 215:403-410 (1990). El programa BLAST X está disponible públicamente del National Center for Biotechnology Information (NCBI) y otras fuentes (BLAST Manual, Altschul, S., et al. NCB NLM NIH Bethesda, MD 20894; Altschul, S., et al., J. Mol. Biol. 215:403-410 (1990). También puede usarse el algoritmo de Smith Waterman bien conocido para determinar la identidad.

A modo de ejemplo, usando el algoritmo informático GAP (Genetics Computer Group, University of Wisconsin, Madison, WI), se alinean dos polipéptidos para los que va a determinarse el porcentaje de identidad de secuencia para lograr una coincidencia óptima de sus respectivos aminoácidos (el "tramo coincidente", tal como se determina mediante el algoritmo). Se usan una penalización por apertura de huecos (que se calcula como 3 X la diagonal promedio; la "diagonal promedio" es el promedio de la diagonal de la matriz de comparación que está usándose; la "diagonal" es la puntuación o el número asignado a cada coincidencia de aminoácidos perfecta por la matriz de comparación particular) y una penalización por extensión de huecos (que es habitualmente 1/10 veces la penalización por apertura de huecos), así como una matriz de comparación tal como PAM 250 o BLOSUM 62 conjuntamente con el algoritmo. También se usa por el algoritmo una matriz de comparación convencional (véase Dayhoff et al., en: Atlas of Protein Sequence and Structure, vol. 5, sup. 3 (1978) para la matriz de comparación PAM250; véase Henikoff et al., Proc. Natl. Acad. Sci USA, 89:10915-10919 (1992) para la matriz de comparación BLOSUM 62).

Los parámetros preferidos para la comparación de secuencias de polipéptido incluyen los siguientes:

Algoritmo: Needleman y Wunsch, J. Mol. Biol. 48.: 443-453 (1970)

Matriz de comparación: BLOSUM 62 de Henikoff y Henikoff, Proc. Natl. Acad. Sci. USA.89:10915-10919 (1992)

Penalización por huecos: 12

Penalización por longitud de huecos: 4

Umbral de similitud: 0

5

20

25

El programa GAP es útil con los parámetros anteriores. Los parámetros mencionados anteriormente son parámetros por defecto para comparaciones de polipéptidos (junto con sin penalización para huecos de extremos) usando el algoritmo GAP.

Los parámetros preferidos para la comparación de secuencias de ácido nucleico incluyen los siguientes:

Algoritmo: Needleman y Wunsch, J. Mol Biol. 48:443-453 (1970)

Matriz de comparación: coincidencias = +10, apareamiento erróneo = 0

40 Penalización por huecos: 50

Penalización por longitud de huecos: 3

El programa GAP también es útil con los parámetros anteriores. Los parámetros mencionados anteriormente son los parámetros por defecto para comparaciones de moléculas de ácido nucleico.

Pueden usarse otros algoritmos, penalizaciones por apertura de huecos, penalizaciones por extensión de huecos, matrices de comparación, umbrales de similitud, etc. a modo de ejemplo por los expertos en la técnica, incluyendo los expuestos en el Program Manual, Wisconsin Package, versión 9, septiembre de 1997. Las elecciones particulares que van a hacerse dependerán de la comparación específica que va a hacerse, tal como ADN con ADN, proteína con proteína, proteína con ADN; y adicionalmente, de si la comparación es entre pares de secuencias (en cuyo caso se prefieren generalmente GAP o BestFit) o entre una secuencia y una base de datos de secuencias grande (en cuyo caso se prefieren FASTA o BLASTA).

Los polipéptidos que son idénticos al menos aproximadamente al 70 por ciento tendrán normalmente una o más sustituciones, deleciones y/o adiciones de aminoácidos en comparación con un polipéptido CRP1 o B7RP1 silvestre.

En una realización preferida, los polipéptidos tendrán aproximadamente el 75%, el 80%, el 85%, el 90% o el 95% de identidad con polipéptidos CRP1 o B7RP1. Habitualmente, las sustituciones del residuo nativo serán o bien alanina, o bien un aminoácido conservativo de modo que tiene poco o ningún efecto sobre la carga neta global, polaridad o hidrofobicidad del polipéptido. Se exponen sustituciones conservativas en la tabla I a continuación.

5

Tabla I

Sustituciones de aminoácidos conservativas

Básicos

argina lisina histidina

Ácidos

ácido glutámico ácido aspártico

Polares no cargados

glutamina asparagina serina treonina tirosina

No polares

fenilalanina triptófano cisteina alicina alanina valina prolina metionina leucina norleucina isoleucina

Se abarcan derivados de polipéptido B7RP1 por la invención. En una realización, se incluyen dentro del alcance de la presente invención composiciones de polipéptido B7RP1 modificado químicamente en la que los polipéptidos B7RP1 están unidos a un polímero. El polímero seleccionado normalmente es soluble en agua de modo que la proteína a la que está unido no precipita en un entorno acuoso, tal como un entorno fisiológico. El polímero seleccionado se modifica habitualmente para que tenga un único grupo reactivo, tal como un éster activo para la acilación o un aldehído para la alquilación, de modo que el grado de polimerización puede controlarse tal como se proporciona en los presentes métodos. El polímero puede ser de cualquier peso molecular, y puede estar ramificado o no ramificado. Se incluye dentro del alcance de la invención una mezcla de polímeros. Preferiblemente, para uso 15 terapéutico de la preparación de producto final, el polímero será farmacéuticamente aceptable.

El polímero soluble en agua o mezcla del mismo puede seleccionarse del grupo que consiste en, por ejemplo, polietilenglicol (PEG), monometoxi-polietilenglicol, dextrano, celulosa u otros polímeros a base de hidratos de carbono, poli-(N-vinilpirrolidona) polietilenglicol, homopolímeros de propilenglicol, un copolímero de poli(óxido de propileno)/óxido de etileno, polioles polioxietilados (por ejemplo, glicerol) y poli(alcohol vinílico).

- 20 Para las reacciones de acilación, el/los polímero(s) seleccionado(s) debe(n) tener un único grupo éster reactivo. Para alquilación reductora, el/los polímero(s) seleccionado(s) debe(n) tener un único grupo aldehído reactivo. Un aldehído reactivo preferido es propionaldehído de polietilenglicol, que es estable en agua, o derivados de monoalcoxilo o ariloxilo C1-C10 de los mismos (véase la patente estadounidense n.º 5.252.714).
- Puede llevarse a cabo la pegilación de polipéptidos CRP1 o B7RP1 mediante cualquiera de las reacciones de 25 pegilación conocidas en la técnica, tal como se describe por ejemplo en las siguientes referencias: Focus on Growth Factors 3: 4-10 (1992); documento EP 0 154 316; y documento EP 0 401 384. Preferiblemente, la pegilación se lleva a cabo por medio de una reacción de acilación o una reacción de alquilación con una molécula de polietilenglicol reactiva (o un polímero soluble en aqua reactivo análogo) tal como se describe a continuación.
- Un polímero soluble en agua particularmente preferido para su uso en el presente documento es polietilenglicol, 30 abreviado PEG. Tal como se usa en el presente documento, polietilenglicol pretende abarcar cualquiera de las formas de PEG que se han usado para derivatizar otras proteínas, tales como mono-alcoxi- o ariloxi (C1-C10)polietilenglicol.
- En general, la derivatización química puede realizarse en cualquier condición adecuada usada para hacer reaccionar una sustancia biológicamente activa con una molécula de polímero activada. Los métodos para preparar 35 polipéptidos CRP1 y B7RP1 pegilados comprenderán generalmente las etapas de (a) hacer reaccionar el polipéptido con polietilenglicol (tal como un derivado de aldehído o éster reactivo de PEG) en condiciones mediante las cuales el polipéptido CRP1 o B7RP1 se une a uno o más grupos PEG, y (b) obtener el/los producto(s) de reacción. En

10

general, las condiciones de reacción óptimas para las reacciones de acilación se determinarán basándose en parámetros conocidos y el resultado deseado. Por ejemplo, cuanto mayor sea la razón de PEG:proteína, mayor será el porcentaje de producto polipegilado.

- Generalmente, los estados que pueden aliviarse o modularse mediante la administración de conjugados de polímero de CRP1 o B7RP1 incluyen los descritos en el presente documento para polipéptidos CRP1 o B7RP1 no conjugados. Sin embargo, los conjugados dados a conocer en el presente documento pueden tener actividades adicionales, actividad biológica potenciada o reducida u otras características, tales como semivida aumentada o disminuida, en comparación con las moléculas no derivatizadas.
- Pueden emplearse polipéptidos CRP1 o B7RP1, fragmentos, variantes y derivados solos, juntos o en combinación con otras composiciones farmacéuticas. Pueden usarse polipéptidos CRP1 o B7RP1, fragmentos, variantes y derivados en combinación con citocinas, factores de crecimiento, antibióticos, antiinflamatorios y/o agentes quimioterápicos según sea apropiado para la indicación que esté tratándose.
- La presente descripción proporciona agentes de unión selectiva de CRP1 o B7RP1. Un agente de unión selectiva se refiere a una molécula que tiene especificidad por CRP1 o B7RP1 y puede incluir una proteína, un péptido, un ácido 15 nucleico, un hidrato de carbono, un lípido o un compuesto de peso molecular pequeño. Un agente de unión selectiva interacciona con o bien CRP1 o bien B7RP1 y a su vez regula la unión de CRP1 a B7RP1. En un aspecto, un agente de unión selectiva bloquea parcial o completamente la unión de CRP1 a B7RP1 e inhibe parcial o completamente al menos una actividad biológica de CRP-1 o B7RP-1, tal como actividad coestimuladora inmunitaria. En otro aspecto, el agente de unión selectiva es un anticuerpo. El anticuerpo puede ser inmunorreactivo con o bien CRP1 o bien 20 B7RP1 y es preferiblemente inmunorreactivo con B7RP1. Aún en otro aspecto de la descripción, un anticuerpo reactivo con B7RP1 se une a un epítopo en B7RP1 de manera que la unión a CRP1 se bloquea parcial o completamente y al menos una actividad biológica de B7RP1, tal como actividad coestimuladora inmunitaria, se inhibe parcial o completamente. El término parcialmente inhibido significa que se ha producido al menos un nivel detectable de inhibición. El término completamente inhibido significa que no se ha producido aumento adicional en la 25 inhibición.
- Pueden usarse polipéptidos CRP1 o B7RP1, fragmentos, variantes y/o derivados para preparar anticuerpos usando métodos conocidos en la técnica. Por tanto, también se contemplan anticuerpos que reaccionan con los polipéptidos B7RP1, así como fragmentos reactivos de tales anticuerpos, como dentro del alcance de la presente invención. Los anticuerpos pueden ser policionales, monocionales, recombinantes, quiméricos, de cadena sencilla y/o 30 biespecíficos. Normalmente, el anticuerpo o fragmento del mismo será o bien de origen humano, o bien estará "humanizado", es decir, preparado de modo que evita o minimiza una reacción inmunitaria frente al anticuerpo cuando se administra a un paciente. El fragmento de anticuerpo puede ser cualquier fragmento que sea reactivo con polipéptidos CRP1 y B7RP1 de la presente invención, tal como, Fab, Fab, etc. También se dan a conocer en el presente documento los hibridomas generados mediante la presentación de cualquier polipéptido CRP1 o B7RP1 o 35 fragmentos del mismo como antígeno a un mamífero seleccionado, seguido por fusión de las células (por ejemplo, células de bazo) del mamífero con determinadas células cancerosas para crear líneas celulares inmortalizadas mediante técnicas conocidas. Los métodos empleados para generar tales líneas celulares y anticuerpos dirigidos contra todo o partes de un polipéptido CRP1 o B7RP1 humano de la presente invención también se abarcan por esta invención.
- Los anticuerpos monoclonales de la invención incluyen anticuerpos "quiméricos" en los que una parte de la cadena pesada y/o ligera es idéntica a u homóloga a una secuencia correspondiente en anticuerpos derivados de una especie particular o que pertenecen a una clase o subclase de anticuerpo particular, mientras que el resto de la(s) cadena(s) es/son idénticas a u homóloga(s) a una secuencia correspondiente en anticuerpos derivados de otra especie o que pertenecen a otra clase o subclase de anticuerpo, así como fragmentos de tales anticuerpos, siempre que presenten la actividad biológica deseada (patente estadounidense n.º 4.816.567; Morrison, et al., Proc. Natl. Acad. Sci. 81., 6851-6855 (1985)).
- En una realización preferida, el anticuerpo anti-CRP1 o B7RP1 quimérico es un anticuerpo "humanizado". Se conocen bien en la técnica métodos para humanizar anticuerpos no humanos. Generalmente, un anticuerpo humanizado tiene uno o más residuos de aminoácido introducidos en el mismo a partir de una fuente que no es humana. La humanización puede realizarse siguiendo métodos conocidos en la técnica (Jones, *et al.*, Nature 321, 522-525 (1986); Riechmann, *et al.*, Nature, 332, 323-327 (1988); Verhoeyen, *et al.*, Science 239, 1534-1536 (1988)), sustituyendo regiones determinantes de complementariedad (CDR) de ratón por las regiones correspondientes de un anticuerpo humano.
- También se abarcan por la invención anticuerpos anti-B7RP1 completamente humanos. Tales anticuerpos pueden producirse mediante inmunización con un antígeno CRP1 o B7RP1 de animales transgénicos (por ejemplo, ratones) que pueden producir un repertorio de anticuerpos humanos en ausencia de producción de inmunoglobulinas endógenas. Véanse, por ejemplo, Jakobovits, *et al.*, Proc. Natl. Acad. Sci. 90, 2551-2555 (1993); Jakobovits, *et al.*, Nature 362, 255-258 (1993). También pueden producirse anticuerpos humanos en bibliotecas de presentación en fago (Hoogenboom, *et al.*, J. Mol. Biol. 227, 381 (1991); Marks, *et al.*, J. Mol. Biol. 222, 581 (1991).

Pueden usarse agentes de unión selectiva de la invención para regular la unión de CRP1 a B7RP1 y regular al menos una actividad biológica mediada por CRP1 y B7RP1 tal como coestimulación inmunitaria. Un ejemplo de tales agentes de unión selectiva son anticuerpos inmunorreactivos con B7RP1. Los anticuerpos pueden usarse terapéuticamente, tal como para inhibir la unión del polipéptido CRP1 y B7RP1 a su pareja de unión. Los anticuerpos pueden usarse además para fines de diagnóstico *in vivo* e *in vitro*, tal como en forma marcada para detectar la presencia de polipéptido CRP1 y B7RP1 en una muestra de células o fluido corporal.

Composiciones farmacéuticas y administración

5

25

Composiciones farmacéuticas de polipéptidos B7RP1 están dentro del alcance de la presente invención. Tales composiciones pueden comprender una cantidad terapéuticamente eficaz del polipéptido o fragmentos, variantes o 10 derivados en mezcla con un portador farmacéuticamente aceptable. En aspectos preferidos, las composiciones farmacéuticas comprenden polipéptidos B7RP1 como formas solubles que comprenden parte de o todo un dominio extracelular de B7RP1. Normalmente, se administrará un compuesto terapéutico de polipéptido B7RP1 en forma de una composición que comprende polipéptido, fragmento, variante o derivado purificado conjuntamente con uno o más portadores, excipientes o diluyentes fisiológicamente aceptables. El material portador puede ser agua para 15 inyección, preferiblemente complementada con otros materiales comunes en disoluciones para su administración a mamíferos. Solución salina tamponada neutra o solución salina mezclada con albúmina sérica son portadores apropiados a modo de ejemplo. Preferiblemente, el producto se formula como un liofilizado usando excipientes apropiados (por ejemplo, sacarosa). Pueden incluirse otros portadores, diluyentes y excipientes habituales según se desee. Otras composiciones a modo de ejemplo comprenden tampón Tris de aproximadamente pH 7,0-8,5, o 20 tampón acetato de aproximadamente pH 4.0-5.5, que pueden incluir además sorbitol o un sustituto adecuado del mismo.

Las composiciones farmacéuticas de B7RP1 pueden administrarse por vía parenteral. Alternativamente, las composiciones pueden administrarse por vía intravenosa o por vía subcutánea. Cuando se administran por vía sistémica, las composiciones terapéuticas para su uso en esta invención pueden estar en forma de una disolución acuosa aceptable por vía parenteral, libre de pirógenos. La preparación de tales disoluciones de proteínas farmacéuticamente aceptables, con adecuada atención al pH, la isotonicidad, la estabilidad y similares, está dentro de la experiencia de la técnica.

Pueden prepararse formulaciones terapéuticas de composiciones de polipéptido B7RP1 útiles para poner en práctica la presente invención para su almacenamiento mezclando la composición seleccionada que tiene el grado deseado de pureza con portadores, excipientes o estabilizadores fisiológicamente aceptables opcionales (Remington's Pharmaceutical Sciences, 18ª edición, A.R. Gennaro, ed., Mack Publishing Company (1990)) en forma de una torta liofilizada o una disolución acuosa. Los portadores, excipientes o estabilizadores aceptables no son tóxicos para los receptores y preferiblemente son inertes a las dosificaciones y concentraciones empleadas, e incluyen tampones tales como fosfato, citrato u otros ácidos orgánicos; antioxidantes tales como ácido ascórbico; polipéptidos de bajo peso molecular; proteínas, tales como albúmina sérica, gelatina o inmunoglobulinas; polímeros hidrófilos tales como polivinilpirrolidona; aminoácidos tales como glicina, glutamina, asparagina, arginina o lisina; monosacáridos, disacáridos y otros hidratos de carbono incluyendo glucosa, manosa o dextrinas; agentes quelantes tales como EDTA; alcoholes de azúcar tales como manitol o sorbitol; contraiones formadores de sal tales como sodio; y/o tensioactivos no iónicos tales como Tween, Pluronic o polietilenglicol (PEG).

40 Una cantidad eficaz de una composición/composiciones de polipéptido B7RP1 que va a emplearse terapéuticamente dependerá, por ejemplo, de los objetivos terapéuticos tales como la indicación para la que está usándose el polipéptido B7RP1, la vía de administración y el estado del paciente. Por consiguiente, será necesario que el terapeuta valore la dosificación y modifique la vía de administración según se requiera para obtener el efecto terapéutico óptimo. Una dosificación diaria típica puede oscilar entre aproximadamente 0,1 μg/kg y hasta 100 mg/kg o más, dependiendo de los factores mencionados anteriormente. Normalmente, un médico administrará la composición hasta que se alcance una dosificación que logra el efecto deseado. Por tanto, puede administrarse la composición como una única dosis o como dos o más dosis (que pueden contener o no la misma cantidad de un polipéptido B7RP1) a lo largo del tiempo, o como una infusión continua por medio de un dispositivo de implantación o catéter.

A medida que se realicen estudios adicionales, surgirá información referente a niveles de dosificación apropiados para el tratamiento de diversos estados en diversos pacientes, y el experto habitual podrá determinar la dosificación apropiada, considerando el contexto terapéutico, el tipo de trastorno en tratamiento, la edad y la salud general del receptor.

La composición de polipéptido B7RP1 que va a usarse para la administración *in vivo* debe ser estéril. Esto se logra fácilmente mediante filtración a través de membranas de filtración estéril. Cuando se liofiliza la composición, puede realizarse la esterilización usando estos métodos o bien antes de, o bien después de, la liofilización y reconstitución. La composición para la administración parenteral se almacenará habitualmente en forma liofilizada o en disolución.

Las composiciones terapéuticas se colocan generalmente en un envase que tiene un orificio de acceso estéril, por ejemplo, una bolsa o un vial de disolución intravenosa que tiene un tapón perforable mediante una aguja de

inyección hipodérmica.

5

La vía de administración de la composición es acorde con métodos conocidos, por ejemplo oral, inyección o infusión por vías intravenosa, intraperitoneal, intracerebral (intraparenquimatosa), intracerebroventricular, intramuscular, intraocular, intraarterial o intralesional, o mediante sistemas de liberación sostenida o dispositivo de implantación que puede implicar opcionalmente el uso de un catéter. Cuando se desee, las composiciones pueden administrarse de manera continua mediante infusión, invección en bolo o mediante dispositivo de implantación.

Alternativa o adicionalmente, la composición puede administrarse localmente por medio de implantación en el área afectada de una membrana, esponja u otro material apropiado sobre el que se ha absorbido polipéptido B7RP1.

Cuando se usa un dispositivo de implantación, el dispositivo puede implantarse en cualquier tejido u órgano 10 adecuado. v la administración de un polipéptido B7RP1 puede ser directamente a través del dispositivo por medio de bolo, o por medio de administración continua, o por medio de catéter usando infusión continua. Puede administrarse un polipéptido B7RP1 en una formulación o preparación de liberación sostenida. Los ejemplos adecuados de preparaciones de liberación sostenida incluyen matrices poliméricas semipermeables en forma de artículos conformados, por ejemplo películas o microcápsulas. Las matrices de liberación sostenida incluyen poliésteres, hidrogeles, polilactidas (documentos U.S. 3.773.919, EP 58.481), copolímeros de ácido L-glutámico y gamma etil-L-15 glutamato (Sidman et al, Biopolymers, 22: 547-556 (1983)), poli(metacrilato de 2-hidroxietilo) (Langer et al., J. Biomed. Mater. Res., 15: 167-277 (1981)] y Langer, Chem. Tech., 12: 98-105 (1982)), acetato de etilenvinilo (Langer et al., citado anteriormente) o poli(ácido D(-)-3-hidroxibutírico) (documento EP 133.988). Las composiciones de liberación sostenida también pueden incluir liposomas, que pueden prepararse mediante cualquiera de varios 20 métodos conocidos en la técnica (por ejemplo, Eppstein et al., Proc. Natl. Acad. Sci. USA, 82: 3688-3692 (1985); documentos EP 36.676; EP 88.046; EP 143.949).

En algunos casos, puede ser deseable usar composiciones de polipéptido B7RP1 de manera *ex vivo*. En este caso, las células, los tejidos o los órganos que se han retirado del paciente se exponen a composiciones de polipéptido B7RP1 tras lo cual se implantan posteriormente las células, los tejidos y/o los órganos de nuevo en el paciente.

- En otros casos, puede administrase un polipéptido B7RP1 mediante implantación en pacientes de determinadas células que se han modificado mediante ingeniería genética, usando métodos tales como los descritos en el presente documento, para expresar y secretar los polipéptidos, fragmentos, variantes o derivados. Tales células pueden ser células animales o humanas, y pueden derivarse del tejido del propio paciente o de otra fuente, o bien humana o bien no humana. Opcionalmente, las células pueden inmortalizarse. Sin embargo, con el fin de disminuir la posibilidad de una respuesta inmunológica, se prefiere que las células se encapsulen para evitar la infiltración de tejidos circundantes. Los materiales de encapsulación son normalmente envolturas o membranas poliméricas biocompatibles, semi-permeables que permiten la liberación del/de los producto(s) proteicos pero impiden la destrucción de las células por el sistema inmunitario del paciente o por otros factores perjudiciales de los tejidos circundantes.
- Los métodos usados para la encapsulación en membranas de células son familiares para el experto en la técnica, y la preparación de células encapsuladas y su implantación en pacientes pueden lograrse sin excesiva experimentación. Véanse, por ejemplo, las patentes estadounidenses n.ºs 4.892.538; 5.011.472; y 5.106.627. Se describe un sistema para encapsular células vivas en el documento PCT WO 91/10425 (Aebischer *et al.*). Los expertos en la técnica también conocen técnicas para formular una variedad de otros medios de administración sostenida o controlada, tales como portadores liposómicos, perlas o partículas bioerosionables, y se describen, por ejemplo, en la patente estadounidense n.º 5.653.975. Las células, con o sin encapsulación, pueden implantarse en órganos o tejidos corporales adecuados del paciente.
- Tal como se comentó anteriormente, puede ser deseable tratar preparaciones celulares con uno o más polipéptidos B7RP1, variantes, derivados y/o fragmentos. Esto puede lograrse exponiendo, por ejemplo, células que comprenden células T, tales como células de médula ósea, al polipéptido, la variante, el derivado o el fragmento directamente, cuando está en una forma que es permeable para la membrana celular. Por ejemplo, pueden exponerse células que comprenden células T a un polipéptido B7RP1 con el fin de activar la función de células T y las células así tratadas se implantan en el paciente.
- Alternativamente, puede emplearse terapia génica. Una manera en la que puede aplicarse la terapia génica es usar un gen de B7RP1 (cualquiera de ADN genómico, ADNc y/o ADN sintético que codifican para un polipéptido B7RP1, o un fragmento, una variante o un derivado del mismo) que puede unirse operativamente a un promotor constitutivo o inducible para formar un "constructo de ADN de terapia génica". El promotor puede ser homólogo o heterólogo con respecto al gen de B7RP1 endógeno, siempre que sea activo en el tipo de célula o tejido en el que se insertará el constructo. Otros componentes del constructo de ADN de terapia génica pueden incluir opcionalmente, según se requiera, moléculas de ADN diseñadas para la integración específica de sitio (por ejemplo, secuencias flanqueantes endógenas útiles para la recombinación homóloga), promotor específico de tejido, potenciador(es) o silenciador(es), moléculas de ADN que pueden proporcionar una ventaja selectiva con respecto a la célula original, moléculas de ADN útiles como marcadores para identificar células transformadas, sistemas de selección negativa, agentes de unión específica a células (como, por ejemplo, para direccionamiento celular), factores de internalización específicos

de células y factores de transcripción para potenciar la expresión mediante un vector así como factores para permitir la preparación del vector.

Este constructo de ADN de terapia génica puede introducirse entonces en las células del paciente (o bien *ex vivo* o bien *in vivo*). Un medio para introducir el constructo de ADN de terapia génica es por medio de vectores virales. Los vectores virales adecuados usados normalmente en terapia génica para el suministro de constructos de ADN de terapia génica incluyen, sin limitación, vectores de adenovirus, virus adenoasociados, virus del herpes simple, lentivirus, virus del papiloma y retrovirus. Algunos de estos vectores, tales como vectores retrovirales, suministrarán el constructo de ADN de terapia génica al ADN cromosómico de las células del paciente, y el constructo de ADN de terapia génica puede integrarse en el ADN cromosómico; otros vectores funcionarán como episomas y el constructo de ADN de terapia génica permanecerá en el citoplasma. El uso de vectores de terapia génica se describe, por ejemplo, en las patentes estadounidenses n.ºs 5.672.344, 5.399.346.

Los medios alternativos para suministrar constructos de ADN de terapia génica a las células de un paciente sin el uso de vectores virales incluyen, sin limitación, transferencia mediada por liposomas, inyección directa de ADN desnudo, transferencia mediada por receptor (complejo ligando-ADN), electroporación, precipitación con fosfato de calcio y bombardeo de micropartículas (por ejemplo, "pistola génica"). Véanse las patentes estadounidenses n.ºs 4.970.154, WO 96/40958, 5.679.559, 5.676.954 y 5.593.875.

Otros medios para aumentar las expresión de polipéptido B7RP1 endógeno en una célula por medio de terapia génica es insertar uno o más elementos potenciadores en el promotor de polipéptido B7RP1, en los que el/los elemento(s) potenciador(es) puede(n) servir para aumentar la actividad transcripcional de un gen de polipéptido B7RP1. El/los elemento(s) potenciador(es) usado(s) se seleccionará(n) basándose en el tejido en el que se desea activar el/los gen(es); se seleccionarán elementos potenciadores que se sabe que confieren activación del promotor en ese tejido. Por ejemplo, si va a "activarse" un polipéptido B7RP1 en células T, puede usarse el elemento potenciador del promotor lck. En este caso, la parte funcional del elemento transcripcional que va a añadirse puede insertarse en un fragmento de ADN que contiene un promotor de polipéptido B7RP1 (y opcionalmente, vector, secuencia flanqueante en 5' y/o 3', etc.) usando técnicas de clonación convencionales. Este constructo, conocido como "constructo de recombinación homóloga" puede introducirse entonces en las células deseadas o bien ex vivo o bien in vivo.

Puede usarse terapia génica para disminuir la expresión de polipéptido B7RP1 modificando la secuencia de nucleótidos del/de los promotor(es) endógeno(s). Tal modificación se logra normalmente por medio de métodos de recombinación homóloga. Por ejemplo, una molécula de ADN que contiene todo o una parte del promotor de un gen/genes de B7RP1 seleccionado(s) para su inactivación puede modificarse mediante ingeniería genética para eliminar y/o sustituir trozos del promotor que regulan la transcripción. En este caso, la caja TATA y/o el sitio de unión de un activador transcripcional del promotor pueden delecionarse usando técnicas de biología molecular convencionales; tal deleción puede inhibir la actividad del promotor reprimiendo de ese modo la transcripción del gen de B7RP1 correspondiente. La deleción de la caja TATA o el sitio de unión del activador transcripcional en el promotor puede lograrse generando un constructo de ADN que comprende todo o la parte relevante de un promotor/promotores de polipéptido B7RP1 (de la misma o de una especie relacionada que un gen/genes de B7RP1 que va(n) a regularse) en el que uno o más de los nucleótidos de la caja TATA y/o del sitio de unión del activador transcripcional se mutan por medio de sustitución, deleción y/o inserción de uno o más nucleótidos de modo que la caja TATA y/o el sitio de unión del activador tiene actividad disminuida o se vuelve completamente inactivo. Este constructo, que normalmente también contendrá al menos aproximadamente 500 bases de ADN que se corresponden con las regiones flanqueantes en 5' y 3' nativas (endógenas) del segmento del promotor que se ha modificado, puede introducirse en las células apropiadas (o bien ex vivo o bien in vivo) o bien directamente o bien por medio de un vector viral tal como se describió anteriormente. La integración del constructo en el ADN genómico de las células será normalmente por medio de recombinación homóloga, en la que las secuencias de ADN flangueantes en 5' y 3' en el constructo de promotor pueden servir para ayudar a integrar la región de promotor modificada por medio de hibridación en el ADN cromosómico endógeno.

También pueden emplearse otros métodos de terapia génica en los que es deseable inhibir uno o más polipéptidos B7RP1. Por ejemplo, pueden introducirse moléculas de ADN o ARN antisentido, que tienen una secuencia que es complementaria a al menos una parte de un gen/genes seleccionado(s) de polipéptido B7RP1 en la célula. Normalmente, cada una de tales moléculas antisentido será complementaria al sitio de iniciación (extremo 5') de cada gen de B7RP1 seleccionado. Cuando la molécula antisentido se hibrida entonces con el ARNm de polipéptido B7RP1 correspondiente, se impide la traducción de este ARNm.

Alternativamente, puede emplearse terapia génica para crear un inhibidor dominante negativo de uno o más polipéptidos B7RP1. En esta situación, el ADN que codifica para un polipéptido truncado o de longitud completa mutante de cada polipéptido B7RP1 seleccionado puede prepararse e introducirse en las células de un paciente usando métodos o bien virales o bien no virales tal como se describió anteriormente. Cada uno de tales mutantes se diseña normalmente para competir con el polipéptido endógeno en su papel biológico.

Agonistas y antagonistas

5

10

15

30

35

40

45

50

La presente descripción también proporciona agonistas y antagonistas de CRP1 o B7RP1 que regulan la actividad de cualquiera o ambas moléculas. Pueden identificarse agonistas y antagonistas a partir de moléculas de prueba que alteran la unión de B7RP1 a CRP1.

El término "molécula(s) de prueba" se refiere a la(s) molécula(s) que está(n) en evaluación para determinar su capacidad para unirse a un polipéptido CRP1 o B7RP1 y de ese modo alterar la unión de B7RP1 a CRP1. Preferiblemente, la molécula de prueba se unirá con una constante de afinidad de al menos aproximadamente 10⁶ M.

Puede usarse una variedad de ensayos para medir la unión de B7RP1 a CRP1. Estos ensayos pueden usarse para examinar moléculas de prueba para determinar su capacidad para aumentar o disminuir la tasa o el grado de unión 10 de B7RP1 a CRP1. En un tipo de ensayo, un polipéptido CRP1, preferiblemente una forma soluble de CRP1 tal como un dominio extracelular, se inmoviliza mediante unión al fondo de los pocillos de una placa de microtitulación. Entonces pueden añadirse B7RP1 radiomarcado y la(s) molécula(s) de prueba o bien uno cada vez (en cualquier orden) o bien simultáneamente a los pocillos. Tras la incubación, pueden lavarse los pocillos y contarse usando un contador de centelleo para determinar la radioactividad para determinar el grado de unión a proteína CRP1 por 15 B7RP1. Normalmente, las moléculas se someterán a prueba a lo largo de un intervalo de concentraciones, y puede usarse una serie de pocillos de control que carecen de uno o más elementos de los ensayos de prueba para determinar la precisión en la evaluación de los resultados. Una alternativa a este método implica invertir las "posiciones" de las proteínas, es decir, inmovilizar B7RP1 en los pocillos de la placa de microtitulación, incubar con la molécula de prueba y CRP1 radiomarcada y determinar el grado de unión de CRP1 (véase, por ejemplo, el 20 capítulo 18 de Current Protocols in Molecular Biology, Ausubel et al., eds., John Wiley & Sons, Nueva York, NY [1995]).

Como alternativa al radiomarcaje, pueden conjugarse CRP1 o B7RP1 con biotina y puede detectarse entonces la presencia de proteína biotinilada usando estreptavidina unida a una enzima, tal como peroxidasa del rábano [HRP] o fosfatasa alcalina [AP], que pueden detectarse colorimétricamente o mediante etiquetado fluorescente de estreptavidina. También puede usarse un anticuerpo dirigido frente a CRP1 o B7RP1 que está conjugado con biotina y puede detectarse tras la incubación con estreptavidina unida a enzima unida a AP o HRP.

25

30

También pueden inmovilizarse CRP1 y B7RP1 mediante unión a perlas de agarosa, perlas acrílicas u otros tipos de tales sustratos inertes. Puede ponerse el complejo de sustrato-proteína en una disolución que contiene la proteína complementaria y el compuesto de prueba; tras la incubación, pueden precipitarse las perlas mediante centrifugación y puede evaluarse la cantidad de unión entre CRP1 y B7RP1 usando los métodos descritos anteriormente. Alternativamente, puede inmovilizarse el complejo sustrato-proteína en una columna y hacerse pasar la molécula de prueba y la proteína complementaria a lo largo de la columna. Entonces puede evaluarse la formación de un complejo entre CRP1 y B7RP1 usando cualquiera de las técnicas expuestas anteriormente, es decir, radiomarcaje, unión a anticuerpos, o similares.

- Otro tipo de ensayo *in vitro* que es útil para identificar una molécula de prueba que aumenta o disminuye la formación de un complejo CRP1/B7RP1 es un sistema de detector de resonancia de plasmones superficiales tal como el sistema de ensayo Biacore (Pharmacia, Piscataway, NJ). El sistema Biacore puede llevarse a cabo usando el protocolo del fabricante. Este ensayo implica esencialmente la unión covalente de o bien CRP1 o bien B7RP1 a un chip sensor recubierto con dextrano que se coloca en un detector. El compuesto de prueba y la otra proteína complementaria pueden inyectarse entonces en la cámara que contiene el chip sensor o bien simultáneamente o bien secuencialmente y puede evaluarse la cantidad de proteína complementaria que se une basándose en el cambio en la masa molecular que se asocia fisicamente con el lado recubierto con dextrano del chip sensor; puede medirse el cambio en la masa molecular mediante el sistema detector.
- En algunos casos, puede ser deseable evaluar dos o más compuestos de prueba juntos para su uso en el aumento o la disminución de la formación de un complejo CRP1/B7RP1. En estos casos, los ensayos expuestos anteriormente pueden modificarse fácilmente añadiendo tal/tales compuesto(s) de prueba adicional(es) o bien simultáneamente con, o bien posteriormente a, el primer compuesto de prueba. El resto de las etapas en el ensayo son tal como se expuso anteriormente.
- Pueden usarse ventajosamente ensayos *in vitro* tales como los descritos anteriormente para examinar rápidamente grandes números de compuestos para determinar efectos sobre la formación de complejos por CRP1 y B7RP1. Los ensayos pueden automatizarse para examinar compuestos generados en bibliotecas de presentación en fago, de péptidos sintéticos y de síntesis química.
- También pueden examinarse compuestos que aumentan o disminuyen la formación de complejos de CRP1 y B7RP1 en cultivo celular usando células y líneas celulares que expresan cualquier polipéptido. Pueden obtenerse células y líneas celulares de cualquier mamífero, pero preferiblemente serán de fuentes de ser humano u otro primate, caninas o de roedor. La unión de B7RP1 a células que expresan CRP1 en la superficie se evalúa en presencia o ausencia de moléculas de prueba y puede determinarse el grado de unión mediante, por ejemplo, citometría de flujo usando un anticuerpo biotinilado frente a B7RP1. Pueden usarse ensayos de cultivo celular ventajosamente para evaluar adicionalmente compuestos de puntuación positiva en ensayos de unión a proteínas descritos

anteriormente.

10

45

50

55

Usos terapéuticos

Los polipéptidos de la invención, y agonistas y antagonistas de los mismos, pueden usarse para regular la función de células T. Los agonistas y antagonistas incluyen aquellas moléculas que regulan la actividad de CRP1 y/o B7RP1 y o bien aumentan o bien disminuyen al menos una actividad de una proteína CRP1 o B7RP1 tal como una actividad asociada con funciones de células T, por ejemplo, activación de células T. Los agonistas o antagonistas pueden ser cofactores, tales como una proteína, un péptido, un hidrato de carbono, un lípido o una molécula de peso molecular pequeño, que interaccionan con o bien CRP1 o bien B7RP1 y de ese modo regulan su actividad. Los posibles agonistas o antagonistas de polipéptidos incluyen anticuerpos que reaccionan con formas o bien solubles o bien unidas a membrana de CRP1 o B7RP1 que comprenden parte de o todos los dominios extracelulares de dichas proteínas. Las moléculas que regulan la expresión de CRP1 o B7RP1 incluyen normalmente ácidos nucleicos que codifican para proteína CRP1 o B7RP1 que pueden actuar como reguladores antisentido de la expresión.

Pueden usarse polipéptidos CRP1 o B7RP1, y agonistas y antagonistas de los mismos, en el tratamiento de enfermedad autoinmunitaria, supervivencia a injerto, activación de células inmunitarias para inhibir el crecimiento de 15 células tumorales, enfermedades mediadas por células B dependientes de células T e inmunoterapia génica contra el cáncer. En una realización, los antagonistas o inhibidores de la función de CRP1 y/o B7RP1 pueden ser beneficiosos para aliviar síntomas en enfermedades con disfunción de células inmunitarias crónica. Pueden tratarse enfermedades autoinmunitarias, tales como lupus eritematoso sistémico, artritis reumatoide, púrpura trombocitopénica inmunitaria (PTI) y psoriasis, con antagonistas o inhibidores de CRP-1/B7RP-1. Además, también 20 pueden tratarse enfermedades inflamatorias crónicas, tales como enfermedad inflamatoria del intestino (enfermedad de Crohn y colitis ulcerosa), enfermedad de Grave, tiroiditis de Hashimoto y diabetes mellitus con inhibidores para CRP-1/B7RP-1. Tal como se describe en el ejemplo 18, CRP-1-Fc inhibe y B7RP-1-Fc potencia, la aparición de enfermedad en un modelo de enfermedad de artritis reumatoide de roedor. Estos efectos opuestos en este modelo apoyan un papel agonista para la proteína B7RP-1-Fc y un papel antagonista para la proteína CRP-1-Fc. Los 25 resultados también ilustran cómo pueden regularse las respuestas de células T mediante manipulación de esta ruta y la importancia de esta ruta en la progresión de artritis reumatoide. Además, tal como se describe en el ejemplo 19, la expresión de B7RP-1-Fc in vivo estimula un fenotipo de enfermedad inflamatoria del intestino (EII) en ratones transgénicos. Este ejemplo apoya el papel de B7RP-1/CRP-1 en el desarrollo de inflamación en el intestino. Por tanto, pueden usarse antagonistas de la ruta de B7RP-1/CRP-1 para tratar Ell humana.

Pueden usarse antagonistas de CRP1 o B7RP1 como agentes inmunosupresores para trasplante de médula ósea y órganos y pueden usarse para prolongar la supervivencia del injerto. Tales antagonistas pueden proporcionar ventajas significativas con respecto al tratamiento existente. La terapia de trasplante de médula ósea y órganos debe lidiar con el rechazo mediado por células T del tejido o las células foráneas por el huésped. Los regímenes terapéuticos actuales para inhibir el rechazo mediado por células T implican tratamiento con los fármacos ciclosporina o FK506. Aunque los fármacos son eficaces, los pacientes padecen graves efectos secundarios, incluyendo hepatotoxicidad, nefrotoxicidad y neurotoxicidad. La diana para la clase de ciclosporina/FK506 de compuestos terapéuticos es calcineurina, una fosfatasa con expresión ubicua. Puesto que la expresión de CRP1 está restringida a células T, los inhibidores de CRP1 o B7RP1 pueden carecer de los graves efectos secundarios observados con el uso de los agentes inmunoterapéuticos actuales.

40 Pueden usarse antagonistas de CRP1 o B7RP1 como agentes inmunosupresores para trastornos autoinmunitarios, tales como artritis reumatoide, psoriasis, esclerosis múltiple, diabetes y lupus eritematoso sistémico.

También pueden usarse antagonistas de la ruta coestimuladora mediada por CRP1/B7RP1 para aliviar síndrome de choque tóxico, enfermedad inflamatoria del intestino, alosensibilización debida a transfusiones de sangre, enfermedades mediadas por células B dependientes de células T y el tratamiento de enfermedad de injerto contra huésped.

Pueden usarse anticuerpos, proteínas solubles que comprenden por ejemplo dominios extracelulares y otros reguladores de CRP1 o B7RP1 que dan como resultado activación de células T prolongada o potenciada para aumentar la respuesta inmunitaria frente a tumores. El ejemplo 20 muestra que B7RP-1-FC puede inhibir el crecimiento de células tumorales en ratones. De manera similar, pueden usarse B7RP-1-FC humana, u otros activadores de la ruta de B7RP-1/CRP-1, para potenciar respuestas inmunitarias contra tumores humanos. Generalmente se considera que la actividad antitumoral tiene un componente de linfocitos T citolíticos fuerte. De hecho, los efectos antitumorales de proteínas de fusión B7-Fc (Sturmhoefel *et al.*, Cancer Res. 59: 4964-4972, 1999) estaban mediados por células T CD8+ citolíticas. Puesto que CRP-1 también se expresa en células T CD8+ citolíticas (ejemplo 9), es probable que los efectos antitumorales demostrados en el ejemplo 20 se debieran a la acción de B7RP-1-Fc sobre células CD8+. La ruta de B7RP-1/CRP-1 también puede manipularse para regular la respuesta de CTL en varios otros entornos clínicos, incluyendo trasplante de aloinjerto, enfermedad de injerto contra huésped y enfermedades autoinmunitarias.

Puede usarse terapia génica usando genes de B7RP1 de la invención en inmunoterapia contra el cáncer. Los genes de B7RP1 introducidos en células cancerosas pueden transformarlas en células presentadoras de antígeno que

pueden reconocerse por las células T del sistema inmunitario cuando vuelven a introducirse en un animal. El reconocimiento de las células tumorales transfectadas por las células T da como resultado la erradicación de las células tumorales tanto que expresan como que no expresan, el gen de B7RP1. Este enfoque de inmunoterapia puede usarse para diversas leucemias, sarcomas, melanomas, adenocarcinomas, carcinomas de mama, tumores de próstata, carcinomas de pulmón, carcinomas de colon y otros tumores. Esta invención abarca el uso del gen de B7RP1 de manera similar para potenciar la activación de células T en respuesta a una variedad de tumores.

Tal como se describe en el ejemplo 14, el fenotipo de ratones transgénicos que expresan B7RP1 indica que B7RP1 es importante en el control de la producción de anticuerpos. Los agonistas y antagonistas de la actividad de la proteína B7RP1 pueden ser útiles en indicaciones terapéuticas que requieren la inhibición o potenciación de la producción de anticuerpos.

Por ejemplo, muchas vacunas actúan provocando una respuesta de anticuerpos eficaz y específica. Algunas vacunas, especialmente aquellas contra microorganismos intestinales (por ejemplo virus de la hepatitis A y salmonelas), provocan una respuesta de anticuerpos de vida corta. Es deseable potenciar y prolongar esta respuesta con el fin de aumentar la eficacia de la vacuna. Por tanto, B7RP1 soluble o anticuerpos activantes frente a CRP1 pueden servir como adyuvante de vacuna.

También pueden potenciarse respuestas antivirales mediante activadores o agonistas de la ruta de B7RP-1/CRP-1. Los datos en el ejemplo 20 indican que se potencia la inmunidad celular mediante B7RP-1-FC. La potenciación de funciones inmunitarias celulares mediante B7RP-1-Fc, u otros activadores de la ruta de B7RP-1/CRP-1, también puede ser beneficiosa en la eliminación de células infectadas por virus. De un modo complementario, B7RP-1-Fc tiene efectos sobre funciones inmunitarias humorales que pueden potenciar respuestas mediadas por anticuerpos tal como se observa en el ejemplo 13 que pueden funcionar para ayudar a aclarar el virus libre del organismo.

A la inversa, existen varios estados clínicos que mejorarían mediante la inhibición de la producción de anticuerpos. La hipersensibilidad es una respuesta inmunitaria normalmente beneficiosa que es exagerada o inapropiada, y conduce a reacciones inflamatorias y daño tisular. Las reacciones de hipersensibilidad que están mediadas por anticuerpos pueden ser particularmente susceptibles a antagonismo mediante inhibidores de la actividad de B7RP1. Alergias, rinitis polínica, asma y edema agudo provocan reacciones de hipersensibilidad de tipo I, y estas reacciones pueden suprimirse mediante inhibidores de proteína, anticuerpo o molécula pequeña de la actividad de B7RP1.

Las enfermedades que provocan reacciones de hipersensibilidad mediadas por anticuerpos, incluyendo lupus eritematoso sistémico, artritis (artritis reumatoide, artritis reactiva, artritis psoriásica), nefropatías (glomerulonefritis, membranosa, mesangiocapilar, focal y segmentaria, necrotizante focal, crescéntica, proliferativa - tubulopatías), trastornos cutáneos (pénfigo y penfigoide, eritema nudoso), endocrinopatías (tiroiditis, de Grave, de Hashimoto, diabetes mellitus insulinodependiente), diversas neumopatías (especialmente alveolitis extrínseca), diversas vasculopatías, enfermedad celiaca, con producción aberrante de IgA, muchas anemias y trombocitopenias, síndrome de Guillain-Barre y miastenia grave, pueden tratarse con antagonistas de B7RP1.

Además, pueden inhibirse trastornos linfoproliferativos, tales como mieloma múltiple, macroglobulinemia de Waldenstrom y crioglobulinemias, mediante antagonistas de proteína, anticuerpo o molécula pequeña de B7RP1.

Finalmente, la enfermedad de injerto contra huésped, un trastorno inmunitario "artificial", puede beneficiarse de la inhibición de la producción de anticuerpos mediante antagonistas de B7RP1.

Los siguientes ejemplos se ofrecen para ilustrar más completamente la invención, pero no se considera que limiten el alcance de la misma.

Ejemplo 1

5

10

15

20

25

30

Secuencia de aminoácidos y de ADNc de CRP1

Se sacrificaron ratones C57/Black 6 hembra, y se extirparon los intestinos delgados y se separaron los parches de Peyer. Se abrió mediante corte el tejido del intestino delgado y se lavó para eliminar la mucosidad y otros residuos. 45 Se liberó la capa epitelial, que contiene las células intrahepiteliales intestinales (iIEL), mediante agitación suave en RPMI-1640 complementado con ditiotreitol 1 mM (DTT), durante 20 minutos a 37°C. Se hicieron pasar células disociadas a través de un filtro de 100 μ, se lavaron en 50 ml de RPMI-1640, se mezclaron para romper adicionalmente los grumos de células y entonces se hicieron pasar a través de un cedazo de 40 μ para obtener poblaciones de células individuales. Entonces se lavaron de nuevo estas células en un volumen de 50 ml de RPMI-50 1640 para garantizar la eliminación del DTT residual. Entonces se agitó el tejido y se lavó como anteriormente para reunir las ilEL restantes. Se separaron las ilEL de las células adiposas y la mayoría de las células epiteliales en un gradiente de Percol de 3 etapas, formando una banda las ilEL en la superficie de contacto del 40% al 80%. Entonces se lavaron estas células dos veces con RPMI-1640 para eliminar trazas de Percol, se inmunotiñeron con anticuerpos frente a CD103 (integrina alfa IEL) y se separaron en un clasificador celular FACs Star. Entonces se usaron estas 55 células clasificadas para preparar ARN total directamente usando Trizol (Gibco BRL, Gaithersburg, MD), o se activaron durante la noche sobre anticuerpos activantes unidos a placas, que reticulan el TCR gamma/delta, TCR alfa/beta o CD3. Se preparó el ARN como anteriormente y se agrupó para su uso en la construcción de bibliotecas

de ADNc de EST.

Un clon de ADNc, designado smil2-00082-al, contenía homología de secuencia de nucleótidos con CD28 (figura 1B). La traducción de la secuencia y la posterior comparación con proteínas conocidas en una base de datos pública revelaron un 19% de identidad de aminoácidos con CD28 murina (figura 1B). Esta baja homología era significativa porque CD28 murina comparte sólo un 26% de identidad de aminoácidos con CTLA-4 murina. Se encontró que todas las supuestas cisteínas que se pensaba que eran críticas para uniones de cisteína intra e intermoleculares en la familia de CD28/CTLA-4 estaban conservadas (residuos de aminoácido 83, 109 y 137; en relación con la metionina de iniciación). Además, la longitud global del marco de lectura abierto supuesto y la posición relativa del dominio transmembrana eran similares a las de tanto CD28 como CTLA-4. Se nombró el gen CRP1, para proteína 1 relacionada con CD28.

Ejemplo 2

10

Clonación de ADNc de CRP1 humana

Se identifica la secuencia de ácido nucleico que codifica para la proteína CRP1 humana mediante los siguientes procedimientos. Se preparó una biblioteca de ADNc humano a partir de linfocitos enriquecidos de sangre humana 15 periférica de voluntarios humanos normales. Se purificaron los linfocitos y se eliminaron los glóbulos rojos mediante medios de separación de linfocitos (ICN Pharmaceuticals, Inc., Costa Mesa, CA). Entonces se activaron las células durante la noche en medios que contenían PMA 10 ng/ml, ionomicina 500 ng/ml y anticuerpos activantes unidos a placas frente a CD3. Se preparó ARN total a partir de las células activadas mediante el método de Trizol (Gibco/BRL) y se aisló ARN de poli A mediante purificación con perlas Dynal. Se preparó ADNc a partir del ARN de 20 poli A aislado y se seleccionó el tamaño para los fragmentos de ADNc más grandes. Entonces se ligó el ADNc de tamaño seleccionado en el plásmido pSPORT (Gibco/BRL). Se obtiene ADN que codifica para la proteína CRP1 humana examinando la biblioteca de ADNc de linfocitos activados mediante protocolos de hibridación de o bien placas de bacteriófagos recombinantes o bien colonias de bacterias transformadas (Sambrook et al. Citado anteriormente). Se examina la biblioteca de ADNc de fagos o plásmidos usando sondas marcadas radiactivamente 25 derivadas del clon del gen de CRP1 murina tal como se describe en el ejemplo 1 y la figura 1. Se usan las sondas para examinar filtros de nailon obtenidos por levantamiento a partir de la biblioteca sembrada en placas. Se hibridan previamente estos filtros durante 4 h a 42°C en formamida al 50%, 5X SSPE, 2X solución de Denhardt, SDS al 0,5% y ADN de esperma de salmón 100 μg/ml y luego se hibridan durante 24 h a 42°C en formamida al 50%, 5X SSPE, 2X solución de Denhardt, SDS al 0,5%, ADN de esperma de salmón 100 μg/ml v sonda mB7RP1 5 ng/ml. Se lavan 30 las transferencias en 2X SSC, SDS al 0,1% durante 10 min. a TA, 1X SSC, SDS al 0,1% durante 10 min. a 50°C, 0,2X SSC, SDS al 0,1% durante 10 min. a 50°C, luego 0,2X SSC durante 10 min. a 50°C de nuevo. Se secuencian los insertos obtenidos a partir de cualquier clon de CRP1 humana y se analizan tal como se describe en el ejemplo 1.

Ejemplo 3

35 Secuencia de aminoácidos y ADN de B7RP1

Un clon de ADNc, designado smi11-00003-g5, contenía homología de secuencia de nucleótidos con B7.1 (CD80) y B7.2 (CD86). La traducción de la secuencia (figura 2A) y la posterior comparación con proteínas conocidas en una base de datos pública revelaron un 20% de identidad de aminoácidos con B7.1 murina (figura 2B). Esta baja homología era significativa porque B7.1 murina comparte sólo un 24% de identidad de aminoácidos con B7.2 murina. A pesar de esta baja homología, se conservan residuos de cisteína críticos entre el marco de lectura abierto de este clon y B7.1 y B7.2 murinas en los residuos 62, 138, 185 y 242 (en relación con la metionina de iniciación, figura 2B). La longitud de la proteína madura aproximada y la ubicación de la región transmembrana en relación con el extremo carboxilo-terminal son también similares en el ORF supuesto de este clon, en comparación con B7.1 y B7.2. Se nombró el gen B7RP1, para proteína 1 relacionada con B7.

45 Ejemplo 4

40

50

Clonación de ADNc de B7RP1 humana

Una búsqueda de homología Blast en Genbank (GCG, University of Wisconsin) usando la secuencia de B7RP1 murina (véase la figura 2) recuperó un clon (AB014553) que contenía una secuencia de 4358 pb con 1679 pb de ORF. Se diseñaron cebadores de clonación de PCR según esta secuencia. Se obtuvo un fragmento de ADN de 1313 pb mediante RACE en 5' y 3' usando ADNc de ganglios linfáticos humanos Marathon-Ready™ (Clontech, Palo Alto, CA) según los procedimientos recomendados por el fabricante.

Cebadores usados para B7RP1 humana de longitud completa:

2083-75 ACC ATG CGG CTG GGC AGT CCT GGA
(SEQ ID NO: 25)

	2083-76	TGG TGA CCT ACC ACA TCC CAC AG
		(SEQ ID NO: 26)
	2083-77	TCC GAT GTC ATT TCC TGT CTG GC
		(SEQ ID NO: 27)
5	2083-78	GCT CTG TCT CCG GAC TCA CAG CCC
		(SEQ ID NO: 28)
	2113-29	GTG GCA GCA AAC TTC AGC GTG CCC GTC G
		(SEQ ID NO: 29)
	2113-30	CCC AAC GTG TAC TGG ATC AAT AAG ACG G
10		(SEQ ID NO: 30)
	2113-31	GCG TGC TGA GGA TCG CAC GGA CCC CCA G
		(SEQ ID NO: 31)

Se usaron los cebadores 2083-75 y 2083-76 para amplificar el extremo 5' del gen usando protocolos de RACE. Se usaron los cebadores 2083-77, 2083-78, 2113-29, 2113-30 y 2113-31, para amplificar el extremo 3' del gen usando protocolos de RACE.

La secuencia de nucleótidos resultantes contenía un ORF de 288 residuos de aminoácido que comenzaba en la metionina. Entonces se comparó la secuencia de aminoácidos de B7RP1 humana madura predicha con la secuencia de aminoácidos de B7RP1 de ratón madura (figura 3B) y se encontró que compartían un 48% de identidad de aminoácidos. Esta homología es significativa porque la homología entre especies es baja con el gen de CD80 (B7.1), de hecho, CD80 humana y de ratón comparten sólo un 41% de identidad de aminoácidos. De manera importante, la proteína B7RP1 humana conserva residuos de cisteína críticos necesarios para estructuras de bucles de Ig (residuos de aminoácido 16, 92, 138, 194 y 195, en relación con la proteína madura, figura 3B). Además, la longitud global y la posición del dominio transmembrana concuerdan con un homólogo de B7RP1 humana.

Ejemplo 5

20

25 Expresión de ARN de B7RP1

Hibridación *in situ* de ARN usando sondas de ARN para el gen de B7RP1. Se fijaron tejidos de ratón adulto en paraformaldehído al 4%, se incrustaron en parafina y se cortaron a 5 μm. Antes de la hibridación *in situ*, se permeabilizaron los tejidos con HCL 0,2 M, seguido por digestión con proteinasa K, y acetilación con trietanolamina y anhídrido acético. Se hibridaron las secciones durante la noche a 55°C con una ribosonda marcada con ³³P de 969 bases correspondiente a los nucleótidos 1 a 969 de la secuencia de B7RP1 de ratón. Se eliminó la sonda en exceso mediante digestión con ARNasa, seguido por una serie de lavados en tampón con concentraciones de sal decrecientes, y luego un lavado de alta rigurosidad en 0,1X SSC a 55°C. Se mojaron los portaobjetos en emulsión NTB2 de Kodak, se expusieron a 4°C durante 2-3 semanas, se revelaron y se contratiñeron con hematoxilina y eosina. Se examinaron las secciones con campo oscuro e iluminación con luz transmitida para permitir la evaluación simultánea de la morfología tisular y la señal de hibridación.

El análisis del ARN de B7RP1 mediante hibridación *in situ* mostró que el ARN de B7RP1 se expresaba altamente en zonas de maduración linfoide y activación de linfocitos. Se expresaba ARN de B7RP1 en los tejidos linfoides del timo, parches de Peyer del intestino, bazo y ganglios linfáticos. La expresión dentro de estos tejidos linfoides demostró que el ARN de B7RP1 se expresaba generalmente en las zonas de implicación de células B y otras CPA. Estas regiones incluyen la zona de la médula del timo, los folículos primarios de los ganglios linfáticos, y las regiones folicular y de cúpula de los parches de Peyer. La expresión de ARN de B7RP1 es altamente específica para las regiones de implicación de CPA en tejidos linfoides. El análisis de varios tejidos no linfoides también reveló expresión de B7RP1 en regiones de implicación de CPA. En el pulmón, se encontró expresión de B7RP1 en las regiones submucosas, lo que concuerda con una función en el procesamiento de antígenos. En el intestino delgado, se encontró ARN de B7RP1 en la lámina propia. De manera notable, se encontró una sección de higado dañado, que mostraba infiltración de linfocitos que se solapaba con la expresión de ARN de B7RP1. Esta coincidencia de expresión de B7RP1 con acumulación de linfocitos en respuesta a daño tisular indica fuertemente que B7RP1 está implicada en la activación de linfocitos.

Ejemplo 6

50 Expresión de ARN de CRP1

Hibridación *in situ* de ARN usando sondas de ARN para el gen de CRP1. Se prepararon tejidos de ratón como en el ejemplo 5. La permeabilización del tejido, la hibridación de las sondas, el tratamiento de los portaobjetos y la tinción de los tejidos fueron tal como se describe en el ejemplo 5. Se hibridaron secciones durante la noche a 55°C con una ribosonda marcada con ³³P de 603 bases correspondiente a los nucleótidos 1 a 603 de la secuencia de CRP1 de ratón. Se examinaron las secciones con campo oscuro e iluminación con luz transmitida para permitir la evaluación simultánea de la morfología tisular y la señal de hibridación.

Se extirparon ganglios linfáticos de ratones normales o un ratón tratado con oxazolona y se analizaron para determinar la expresión de ARN de CRP1. El ganglio linfático de ratón sensibilizado mostraba mayor expresión de ARN de CRP1 que el ganglio linfático de ratón normal. La expresión de CRP1 era en la paracorteza, una región de actividad de células T. Por tanto, la expresión de ARN de CRP1 concuerda con la expresión de linfocitos T y se regula por incremento tras la activación de células T.

Ejemplo 7

5

10

Expresión y purificación de proteínas de fusión CRP1-Fc y B7RP1-Fc

Para construir el vector de expresión de ADN para la proteína de fusión CRP1-Fc, se fusionó la secuencia 15 codificante para los primeros 147 aminoácidos amino-terminales del CRP1, en marco, con la secuencia codificante para los 235 aminoácidos carboxilo-terminales del gen de Fc humano (isotipo IgG1) y se ligaron dentro de la secuencia de poliligador de pcDNA3 (pcDNA3/CRP1-Fc). Para construir el vector de expresión de ADN para la proteína de fusión B7RP1-Fc, se fusionó la secuencia codificante para los primeros 269 aminoácidos aminoterminales de la B7RP1, en marco, con la secuencia codificante para los 235 aminoácidos carboxilo-terminales del 20 gen de Fc humano (isotipo IgG1) y se ligaron dentro de la secuencia de poliligador de pcDNA3 (pcDNA3/B7RP1-Fc). Las secuencias codificantes de tanto CRP1 como B7RP1 contenían secuencias del extremo N-terminal de cada proteína hasta, pero no incluyendo, la región transmembrana supuesta de cada proteína. Se transfectaron células 293T con o bien pcDNA3/CRP1-Fc o bien pcDNA3/B7RP1-Fc usando el reactivo de transfección FuGene 6 (Roche Molecular Biochemicals, Indianápolis, IN). Tras cuatro días, se recogieron los medios condicionados y se purificaron 25 las proteínas de fusión de Fc mediante cromatografía discontinua usando proteína A Sepharose (Pharmacia). Se eluyeron las proteínas de fusión de Fc unidas a la columna con tres volúmenes de columna de tampón de elución Immunopure Gentle (Pierce), y entonces se dializaron frente a 150 volúmenes de HEPES 20 mM, NaCl 100 mM, pH 7,5. Se concentró la proteína dializada usando concentrados centrífugos Macrosep, MWCO de 30 kD (Pall Filtron), y se calcularon las concentraciones de proteína usando coeficientes de extinción derivados de la secuencia 30 de aminoácidos de cada proteína. Se muestra la expresión de la proteína de fusión CRP1-Fc en la figura 4A, se muestra la expresión de la proteína de fusión B7CPR1-Fc en la figura 4B.

Ejemplo 8

Identificación de CRP1 y B7RP1 como pareja de receptor-ligando

- Con el fin de determinar si las proteínas novedosas eran parte de la misma ruta coestimuladora que la que contiene CD28, CTLA-4, B7.1 y B7.2, se utilizó un ensayo de presentación en la superficie celular. Este ensayo usa análisis ACAS (análisis y clasificación de células adherentes) para analizar si proteínas unidas a la membrana expresadas en células interaccionan con diversas proteínas de fusión de Fc. Se incubaron células que expresaban proteínas unidas a la membrana, indicadas en el lado izquierdo de la figura 5, con proteínas de fusión de Fc, indicadas en la parte superior de la figura.
- Se sembraron en placa células Cos-7, hechas crecer en medios DMEM con FBS al 10%, a 500.000 células/pocillo en una placa de 24 pocillos. Se transfectaron las células usando el reactivo FuGene 6 (Roche Molecular Blochemicals, Indianápolis, IN). Para cada transfección, se añadieron 3 μl de reactivo FuGene 6 a 47 μl de medio DMEM libre de suero. Tras una incubación de 10 min. a temperatura ambiente, se añadió la mezcla a 0,25 μg de plásmido gota a gota y entonces se incubó durante 15 minutos. Entonces se añadió la mezcla anterior a las células con 0,5 ml de DMEM con FBS al 10%. Se incubaron las células a 37°C en una atmósfera del 5% de CO2. Como control, se sembraron en placa también células CHO D, transfectadas de manera estable con un plásmido de expresión que contenía el ADNc para CD28 humana, a 500.000 células/pocillo en una placa de 24 pocillos.
- Tras 48 h, se eliminó el medio con reactivo de transfección y se lavaron las células dos veces con RPMI más FBS al 5%. Se añadieron de 10 a 20 ng de proteínas de fusión de Fc purificadas en 1 ml de medio a las células, que se incubaron durante 30 min. sobre hielo. Se lavaron las células tres veces con RPMI más FBS al 5% y entonces se incubaron con 2 µl de anticuerpo anti-Fc humano conjugado con FITC (1 mg/ml) durante otros 30 min. sobre hielo. Tras tres lavados sucesivos con RPMI, se cubrieron las células con 250 µl de medio RPMI sin rojo fenol para el análisis ACAS.
- El análisis ACAS de las células que se unían a las diversas proteínas de fusión de Fc demostró que la proteína B7RP1 se unía a CRP1, pero no a las proteínas en la ruta coestimuladora conocida, CD28 o CTLA-4. A la inversa, CRP1 interaccionaba con B7RP1, pero no con B7.2, un componente en la ruta conocida. (Véase la figura 5). Estos resultados indican fuertemente que CRP1 y B7RP1 representan una pareja de receptor-ligando novedosa, análoga a

CD28 y B7.2. Sin embargo, puesto que CRP1 y B7RP1 no interaccionan con B7.2, CTLA-4 o CD28, están separadas y son independientes de la ruta coestimuladora conocida.

Ejemplo 9

Identificación de células que expresan receptores de B7RP1

- Se utilizó la proteína de fusión B7RP1-Fc para detectar células que expresaban receptores para B7RP1, presumiblemente incluyendo la proteína CRP1 (véase el ejemplo 6), mediante análisis de FACS. Se extrajeron bazos de ratones C57/Black 6 hembra, se trituraron sobre filtros de malla de 100 micrómetros para liberar los linfocitos, se hicieron pasar a través de filtros de 70 micrómetros y entonces se lavaron en 50 ml de RPMI-1640. Se sedimentaron a 1500 rpm, se resuspendieron en RPMI nuevo, se mezclaron para romper los grumos de células y se hicieron pasar a través de un filtro de 40 micrómetros. Se sembraron las células T que iban a activarse en placas de 6 pocillos en RPMI-1640, FBS al 5%, 1XPSG, PMA, ionomicina, y se incubaron a 37°C, el 5% de CO2 durante la noche. Se comprobó la activación de células T mediante confirmación visual tras 12 h.
- Se lavaron células de bazo activadas para la inmunotinción en tampón de lavado de PBS, BSA al 0.5% (Path-ocyte 4, ICN Pharmaceuticals), se resuspendieron y entonces se alicuotaron en volúmenes de 100 μl. Se añadieron 15 15 μg/ml de o bien la proteína de fusión CRP1-Fc o bien la proteína de fusión B7RP1-Fc (1,5 μg/muestra) según fuese apropiado, y entonces se incubaron las mezclas sobre hielo durante 30 min. con mezclado ocasional. Se lavaron las células dos veces en 5,0 ml de tampón de lavado. Se visualizó la unión de las proteínas de fusión con 2 μg de anticuerpo secundario de cabra conjugado anti-ser humano (GaHuFc-FITC) en un volumen de 100 μl para cada tinción celular. Se añadieron anticuerpos frente a marcadores celulares conjugados con PE con el GaHUFc-20 FITC, así como controles de anticuerpo conjugado con PE de isotipo control cuando se indique (isotipo de rata). Se incubaron las muestras sobre hielo y se lavaron como anteriormente. Se realizó la visualización mediante análisis de FACScan con separación en las poblaciones de linfocitos. La tinción doble con anticuerpos CD4+ y la proteína de fusión B7RP1-Fc indicó que las células expresaban tanto el marcador CD4 como el receptor para B7RP1, presumiblemente CRP1 (figura 6). De manera similar, la tinción doble con anticuerpos CD8+ y la proteína de fusión 25 B7RP1-Fc demostró que las células expresaban receptores para tanto CD8 como B7RP1 (figura 6). No pudo detectarse de manera fiable células con tal tinción doble en preparaciones de esplenocitos inactivados. Puesto que CD4 y CD8 son marcadores de linfocitos T, puede postularse que CRP1 se expresa en células T CD4+ y CD8+ activadas. Estos datos concuerdan con el aumento de la expresión de ARN de CRP1 en las regiones de células T de ganglios linfáticos de ratones sensibilizados en comparación con ratones normales (ejemplo 6).

30 Ejemplo 10

Identificación de células que expresan ligandos de CRP1

con la función de CRP1 y B7RP1 en la activación de linfocitos T.

Se utilizó la proteína de fusión CRP1-Fc para detectar células que expresaban ligandos para CRP1, presumiblemente incluyendo la proteína B7RP1 (véase el ejemplo 8), mediante análisis de FACS (figura 7). Se prepararon esplenocitos como en el ejemplo 8, excepto porque se omitió la etapa de activación de células T de 12 h y se analizaron directamente las células. Se tiñeron de manera doble esplenocitos con anticuerpos frente al marcador CD45R (B220) y la proteína de fusión CRP1-Fc. Se detectaron células que expresaban tanto el marcador de células B CD45R como los supuestos ligandos para CRP1, presumiblemente incluyendo B7RP1 (ejemplo 8). Por tanto, se concluye que B7RP1 se expresa en células B, un tipo de célula presentadora de antígeno. Estos datos concuerdan con la expresión de ARN de B7RP1 en regiones de células B de diversos tejidos linfoides (ejemplo 5).

40 Análisis de FACS de la expresión de B7RP1 sobre macrófagos peritoneales (figura 8). Se recogieron células peritoneales mediante lavado local de un ratón normal y se lavaron antes de incubarse con la proteína de fusión CRP1-Fc o la proteína Fc como control o con el anticuerpo monoclonal frente a F4/80 (que detecta un antigeno específico para macrófagos) o un anticuerpo monoclonal de control irrelevante, de isotipo coincidente. Entonces se layaron las células de nuevo y se incubaron con anticuerpo de cabra anti-Fc humano conjugado con FITC. Tras layar 45 adicionalmente, se evaluaron las células en un analizador de FACS para determinar su dispersión de luz y propiedades de tinción de fluorescencia. Se distinguieron en primer lugar células peritoneales en subconjuntos en el nivel inferior de sus propiedades de dispersión de luz (figura 8A). Se identificaron macrófagos en la región 5 (R5) debido a su capacidad para dispersar fuertemente la luz hacia delante (FSC) y hacia los lados (SSC) y debido a su tinción positiva para el antígeno F4/80, un marcador para macrófagos (figura 8B). Se individualizaron macrófagos en 50 la región 6 (R6) basándose en su tinción menos intensa para el antígeno F4/80 y se encontró que se teñían mediante la proteína de fusión CRP1-Fc (figura 8C). Estos datos indican que se expresan ligandos para CRP1, posiblemente incluyendo B7RP1, en macrófagos, una célula presentadora de antígeno profesional. Esto concuerda

Ejemplo 11

Actividad inhibidora in vitro de la proteína de fusión B7RP1-Fc sobre linfocitos T estimulados con ConA

Se prepararon esplenocitos de ratón como en el ejemplo 8 y se enriquecieron en linfocitos T mediante selección negativa (R and D Systems, Inc., Minneapolis, MN)). Se usaron 200.000 esplenocitos en ensayos de proliferación de

células T en una placa de fondo redondo de 96 pocillos. Se incubaron las células durante 1 h con medio (sin adiciones), proteínas de fusión CRP1-Fc, B7RP1-Fc o B7.2-Fc, tal como se indica en la figura 9. Se añadieron medio (sin adiciones), o Con A a diversas concentraciones tal como se indica en la parte inferior de la figura 9. Entonces se incubaron las células a 37°C y el 5% de CO2. Tras 42 h, se pulsaron las células con 3H-timidina durante 6 h, se recogieron y se determinó la radioactividad incorporada. Se representan en la figura 9 las CPM promedio y la desviación estándar de muestras por triplicado.

Las proteínas de fusión de Fc no demostraron actividad inhibidora o estimuladora de células T significativa por sí mismas, sin embargo, en presencia de Con A 1 µg/ml y 3 µg/ml, las proteínas de fusión tanto B7RP1-Fc como B7.2-Fc mostraron actividad inhibidora significativa (figura 9). A altas concentraciones (10 µg/ml), la estimulación con Con A da como resultado muerte celular, presumiblemente a través de sobreactivación de las células T. La adición de o bien B7RP1-Fc o bien B7.2-Fc protegía significativamente las células de los efectos perjudiciales de altas concentraciones de Con A. En funciones tanto inhibidoras como protectoras, el efecto por la proteína B7RP1-Fc era mayor que el de la proteína B7.2-Fc sobre las células estimuladas con Con A. Estos datos indican que la proteína B7RP1 funciona regulando la proliferación de células T.

15 Ejemplo 12

5

10

55

Administración sistémica de proteína de fusión B7RP1-Fc en ratones transgénicos

Se subclonó la proteína de fusión B7RP1-Fc descrita en el ejemplo 7 en un vector de expresión específico de hígado ApoE (Simonet *et al.* J. Clin. Invest. 94, 1310-1319 (1994) y solicitud PCT n.º US94/11675). Se cortó la región codificante de pCEP4/B7RP1-Fc usando las enzimas de restricción Spe I y Not I, y se subclonó el fragmento en los mismos sitios en el vector de expresión específico de hígado ApoE mencionado anteriormente. Se secuenció el plásmido resultante, HE-B7RP1-Fc, a través de su región que codifica para proteína, y las secuencias que flanquean la región codificante, para garantizar que estaba libre de mutación.

Se amplificó el plásmido y se purificó a través de dos rondas de centrifugación en gradiente de densidad de CsCl. Se digirió el ADN de plásmido purificado con las enzimas de restricción Cla I y Ase I, y se purificó el inserto transgénico de 1,5 kb mediante electroforesis en gel de agarosa. Se diluyó el fragmento purificado en una disolución de inyección madre de 1 µg/ml en Tris 5 mM, pH 7,4 y EDTA 0,2 mM. Se sometieron a inyección embriones unicelulares de ratones cruzados BDF1 X BDF1 esencialmente tal como se describe (Brinster *et al.*, Proc. Natl. Acad. Sci. USA 82, 4338 (1985)), excepto porque las agujas de inyección se biselaron y siliconizaron antes de su uso. Se cultivaron los embriones durante la noche en un incubador con CO2 y se transfirieron de 15 a 20 embriones de 2 células a los oviductos de ratones hembra CD1 pseudopreñadas.

Tras el periodo de embarazo, se obtuvieron 56 crías de la implantación en los embriones microinyectados. Se examinaron las crías mediante amplificación por PCR del transgén integrado en muestras de ADN genómico. La región diana para la amplificación era una región de 369 pb del intrón Apo E humano que se incluyó en el vector de expresión. Los oligos usados para la amplificación por PCR fueron:

35 5'-GCC TCT AGA AAG AGC TGG GAC-3' (SEQ ID NO: 32)

5'-CGC CGT GTT CCA TTT ATG AGC-3' (SEQ ID NO: 33)

Las condiciones para la PCR fueron: 94°C durante 2 min., 1 ciclo; 94°C durante 1 min., 63°C durante 20 s y 72°C durante 30 s, 30 ciclos. De las 56 crías originales, se identificaron 7 como ratones fundadores transgénicos positivos por PCR.

A las 12 semanas de edad, se sacrificaron nueve fundadores transgénicos (ratón n.º 1, 2, 4, 6, 8, 30, 32, 33, 40) y cinco controles (ratón n.º 5, 9, 10, 25, 28) para la necropsia y el análisis patológico. Se aisló el ARN celular total de los hígados de los animales fundadores y compañeros de camada control negativo tal como se describe (McDonald et al. Met. Enzymol. 152, 219 (1987)). Se realizó análisis de transferencia de tipo Northern en estas muestras para evaluar el nivel de expresión transgénica. Se resolvieron aproximadamente 10 μg de ARN total de cada animal mediante geles desnaturalizantes de electroforesis en agarosa (Ogden et al. Met. Enzymol. 152, 61 (1987)), luego se transfirieron a una membrana de nailon HYBOND-N (Amersham) y se estudiaron con sonda con ADN de inserto de mB7RP1-Fc marcado con ³²P dCTP. Se realizó la hibridación durante 1 h a 63°C en disolución ExpressHyb (Clonetech) y 2-4 X 10⁶ CPM de sonda marcada/ml de tampón de hibridación. Tras la hibridación, se lavaron las transferencias dos veces en 2X SSC, SDS al 0,1% a temperatura ambiente durante 5 min. cada una, y luego dos veces en 0,1X SSC, SDS al 0,1% a 55°C durante 15-20 min. cada una. Se determinó la expresión del transgén en fundadores y compañeros de camada control tras autorradiografía.

Los análisis de transferencia de tipo Northern indicaron que siete de los fundadores transgénicos expresaban niveles detectables del ARN del transgén (ratón n.º 1, 2, 6, 8, 32, 33 y 40). Los ratones control negativo y tres fundadores (n.º 4, 30 y 31) no expresaban niveles detectables de ARN. Puesto que se determinó que la proteína de fusión B7RP1-Fc se secretaba de células de mamífero en cultivo (figura 4B y ejemplo 7), la expresión del ARNm del transgén debe ser indicativa del nivel de producto génico administrado por vía sistémica.

Ejemplo 13

5

10

15

20

35

40

45

50

Actividad biológica de la proteína de fusión B7RP1-Fc

Se sacrificaron siete de los ratones transgénicos (ratón n.º 1, 2, 6, 8, 32, 33 y 40) y cinco compañeros de camada control (n.º 5, 9, 10, 25 y 28) para la necropsia y el análisis patológico usando los siguientes procedimientos: antes de la eutanasia, se verificaron los números de identificación de todos los animales, entonces se pesaron, se anestesiaron y se les extrajo sangre. Se guardó la sangre como suero y como sangre completa para un panel de hematología y química del suero completo. Se realizó radiografía justo después de la anestesia terminal mediante inhalación de CO2 letal, y antes de la disección macroscópica. Entonces se extrajeron los tejidos y se fijaron en formalina de Zn tamponada al 10% para el examen histológico. Los tejidos recogidos incluían el hígado, bazo, páncreas, estómago, duodeno, íleo, parches de Peyer, colon, riñón, órganos reproductores, piel, glándulas mamarias, hueso, cerebro, corazón, pulmón, timo, tráquea, esófago, glándulas tiroides/paratiroides, yeyuno, ciego, recto, glándulas suprarrenales, grasa blanca y parda, nervio ciático, médula ósea, vejiga urinaria y músculo esquelético. Antes de la fijación, se determinaron los pesos de los órganos completos para el hígado, corazón, estómago, riñón, glándulas suprarrenales, bazo y timo. Tras la fijación, se procesaron los tejidos para obtener bloques de parafina, y se obtuvieron secciones de 3 μm.

Se realizó inmunohistoquímica par el marcador de linfocitos B, B220, y el marcador de linfocitos T, CD3. Para detectar expresión de B220 o CD3, se desparafinaron secciones de 4 µm fijadas en formalina, incrustadas en parafina y se hidrataron con agua desionizada. Se extinguieron las secciones con peróxido de hidrógeno al 3%, se bloquearon con Protein Block (Lipshaw, Pittsburgh, PA) y se incubaron en anticuerpo monoclonal de rata frente a B220 (Pharmingen, San Diego, CA) o anticuerpo policional de conejo frente a CD3 (Dako, Carpinteria, CA). Se detectaron los anticuerpos mediante inmunoglobulinas de conejo anti-rata o de cabra anti-conejo biotiniladas, conjugadas con peroxidasa-estreptavidina (BioGenex, San Ramon, CA) con DAB como cromógeno (Biotek, Santa Barbara, CA). Se contratiñeron las secciones con hematoxilina.

En este estudio, se notificaron signos clínicos normales durante la fase en vida del estudio. Las radiografías de cuerpo completo de los ratones transgénicos eran comparables a las de los ratones control. Los parámetros hematológicos globales de los ratones transgénicos eran comparables a los del grupo control negativo, aunque estaban presentes cambios esporádicos en ratones individuales: n.º 8 y n.º 40 transgénicos tenían niveles de globulina en suero aumentados (hiperglobulinemia) y n.º 32 y n.º 33 tenían niveles de globulina en el intervalo normal alto acompañados por niveles de albúmina en el intervalo normal bajo, que es un patrón comúnmente observado con estimulación antigénica crónica del sistema inmunitario. Los pesos de los órganos de los otros ratones transgénicos no eran significativamente diferentes de los del grupo control.

Estaban presentes los siguientes cambios histopatológicos en los ratones transgénicos: Los ganglios linfáticos mesentéricos de los ratones transgénicos para B7RP1-Fc estaban de moderadamente a notablemente agrandados en comparación con los ratones control (figura 10A-10D; figura 11A-11E). La corteza tenía hiperplasia folicular prominente observada como folículos secundarios agrandados (figura 10B-11B) con centros germinales grandes que contenían principalmente células B B220+ (figura 11D) y unas cuantas células T CD3+ dispersadas (figura 11F). La zona paracortical (células T CD3+) estaba también moderadamente agrandada (figura 11B-11F) y los senos medulares tenían números ligeramente aumentados de macrófagos dilatados (histiocitosis sinusal). El cambio más llamativo en los ganglios estaba presente en los cordones medulares, que estaban de levemente a notablemente expandidos por grandes números de células plasmáticas bien diferenciadas en los ratones transgénicos para B7RP1-Fc (figura 10D). En el ratón transgénico n.º 40, también se encontraron pequeños números de cuerpos de Russell dispersados (es decir, células plasmáticas con vesículas intracitoplasmáticas prominentes, grandes, redondas que contienen inmunoglobulinas) en los cordones medulares (figura 10D). De manera interesante, los otros ganglios linfáticos internos y periféricos (por ejemplo cervical, inguinal) tenían características morfológicas similares de hiperplasia linfoide reactiva indicativa de una respuesta sistémica. Estos hallazgos concuerdan con una estimulación inmunitaria crónica, en curso con potenciación de la reacción inmunitaria humoral, que conduce a proliferación de células B y diferenciación terminal en células plasmáticas.

El bazo de ratones transgénicos para B7RP1-Fc tenía zonas de pulpa blanca agrandadas de manera variable con hiperplasia linfoide reactiva moderada que implica particularmente los folículos secundarios de células B con centros germinales prominentes y vainas de células T periarteriolares en comparación con los ratones control (figura 10E-10F). Otro hallazgo llamativo en ratones transgénicos para B7RP1-Fc era plasmacitosis de mínima a leve en la zona marginal que rodea a las zonas de pulpa blanca y en la pulpa roja adyacente. El ratón transgénico n.º 6 tenía unos cuantos cuerpos de Russell dispersados (figura 10F, recuadro). La pulpa roja tenía hematopoyesis extramedular de leve a moderada, que era comparable a la observada en los ratones control (figura 10E).

Los parches de Peyer del intestino delgado estaban de levemente a notablemente agrandados en los ratones transgénicos para B7RP1-Fc con respecto a los de los ratones control (figura 10G) y tenían folículos muy grandes con centros germinales prominentes, particularmente en el ratón transgénico n.º 40 y n.º 32 (figura 10H). Además, había un aumento de mínimo (en n.º 32) a leve (en n.º 8 y n.º 33) en los números de linfocitos y células plasmáticas (mezclado con un infiltrado eosinofílico leve en el íleo del ratón n.º 32) en la capa de lámina propia engrosada de la mucosa, que estaba presente en el intestino delgado, pero más prominente en el colon de los ratones transgénicos.

Los agregados linfoides intestinales grandes (GALT) eran también ligeramente más prominentes en algunos ratones transgénicos para B7RP1-Fc (particularmente el ratón n.º 8 y n.º 2) que en el grupo control.

Generalmente, los otros tejidos examinados, incluyendo el timo, médula ósea, hígado, pulmón, corazón, páncreas, riñones, glándula suprarrenal, tiroides, paratiroides, tráquea, órganos reproductores, vejiga urinaria, glándula mamaria, piel, músculo esquelético, nervio periférico, cerebro, esófago, estómago, intestino delgado y grueso, hueso (fémur/tibia), babilla, grasa blanca y parda parecían normales y comparables con los cambios de fondo detectados en los ratones control.

Los datos de este estudio demuestran que la sobreexpresión de la quimera proteína relacionada con B7-Fc (B7RP1-Fc) en ratones transgénicos induce un fenotipo caracterizado por hiperplasia linfoide reactiva prominente detectada en el bazo, los ganglios linfáticos periféricos e internos y el tejido linfoide asociado al intestino, como hiperplasia folicular, expansión de zonas de células T y plasmacitosis llamativa acompañadas por hiperglobulinemia en algunos animales. La plasmacitosis va acompañada de niveles superiores de IgG circulante (media ± DE = 597 + 298 mg/ml en ratones transgénicos frente a 209 + 80 mg/ml en compañeros de camada control, n = 7, P < 0,05, prueba de la t), en particular IgG2a (217 ± 100 mg/ml frente a 75 ± 29 mg/ml, n = 7, P < 0,01, prueba de la t). La inducción de IgG2a está asociada normalmente con citocinas Th1 tales como IFN-g. Por tanto, B7RP-1 induce proliferación de células B y T y estimula a células B para que se diferencien en células plasmáticas y para que produzcan inmunoglobulina.

Estos cambios concuerdan con una respuesta inmunitaria sistémica persistente con hiperestimulación del brazo humoral del sistema inmunitario que da como resultado estimulación, proliferación y diferenciación de células B en células plasmáticas que producen anticuerpos a lo largo de todos los órganos linfoides examinados.

Se concluye a partir de la hiperplasia linfoide marcada demostrada en los ratones transgénicos para B7RP1-Fc que la proteína B7RP1 tiene actividad biológica *in vivo* significativa, relacionada con estimulación del sistema inmunitario.

Ejemplo 14

40

45

50

Clonación de B7RP1 humana

Se separaron linfocitos periféricos circulantes humanos normales de glóbulos rojos usando medio de separación de linfocitos (ICN Pharmaceuticals). Entonces se activaron las células T con anticuerpo anti-CD3 unido a placas 10 μg/ml (Immunotech, Westbrook, ME), PMA 10 ng/ml y ionomicina 500 ng/ml durante la noche (16 horas) a 37°C y el 5% de CO₂. Entonces se preparó el ARN total de las células usando reactivo TRIzol (Gibco BRL). Se sedimentaron las células mediante centrifugación y se resuspendió el sedimento celular en 1 ml de reactivo TRIzol por cada 5 X 10⁶ células y se incubó a temperatura ambiente durante 5 min. Se añadieron entonces 0,2 ml de cloroformo por 1 ml de reactivo TRIzol original. Se agitaron los tubos vigorosamente a mano durante 15 segundos y se incubaron durante 3 minutos a TA y se centrifugaron a 13.000 rpm durante 15 min. a 4°C. Tras la centrifugación, se recogió la fase acuosa superior transparente que contiene el ARN y se precipitó el ARN de muestras mediante la adición de alcohol isopropílico. Entonces se incubó la disolución a TA durante 10 min., se sedimentó el ARN, se lavó con etanol al 75% y entonces se centrifugó a 15.000 rpm durante 5 min. a 4°C. Se secó al aire el sedimento, se resuspendió en agua libre de ARNasa, entonces se alicuotó y se almacenó a -80°C hasta su uso posterior.

Se construyó la biblioteca usando el sistema de plásmidos Superscript para síntesis de ADNc y clonación de plásmidos (Gibco BRL). En resumen, se ligaron insertos de ADNc con un tamaño promedio de 2 kb en el vector pSport en el sitio de clonación Sal1/Not1. Se sometieron a electroporación los plásmidos ligados en *E. coli* competente para transformación Electromax (Gibco BRL), se titularon y se sembraron en placa a quince mil colonias por placa de LB (ampicilina 100 μg/ml). Se obtuvleron por levantamiento 300.000 colonias sobre membranas de transferencia de hibridación de examen de colonias/placas (NEN Life Sciences), se desnaturalizaron en NaOH 0,5 N, NaCl 1,5 M durante 5 minutos, entonces se neutralizaron sucesivamente durante 5 minutos cada uno en los siguientes tampones, Tris HCl 1 M pH 8,0, Tris HCl 0,5 M pH 8,0 y NaCl 1,5 M y 2X SSC. Entonces se reticularon los filtros mediante irradiación ultravioleta y se cocieron durante 30 min. a 80°C en un horno de vacío. Se lavaron previamente los filtros extensamente en 2X SSC a 42°C para eliminar los residuos, entonces se hibridaron previamente a 42°C en formamida al 50%, 5X SSPE, 5X solución de Denhardt, SDS al 0,5%, ADN de esperma de salmón 100 μg/ml, durante 2 horas.

Se examinó la biblioteca de ADNc de linfocitos humanos con un fragmento de ADN de 895 pb que tenía los nucleótidos 1-711 tal como se muestra en la figura 3A, 167 pb inmediatamente en 5' con respecto al codón de metionina iniciador en la figura 3A y 17 pb inmediatamente en 3' con respecto a la posición 711 en la figura 3A. Se obtuvo esta secuencia en el sentido de 5' de 167 pares de bases mediante RACE en 5' del ADNc de HuB7RP1 (ejemplo 4) y se liberó de un vector TOPO TA (Invitrogen, Carlsbad, CA) en el sitio de escisión de enzima de restricción Eco RI. Se purificó dos veces este inserto en un gel TAE de agarosa al 0,8%. Se usó un kit de purificación de gel de ADN (Qiagen) para aislar el inserto de ADN de la agarosa.

Se marcaron 125 ng del fragmento de ADN con ³²P dCTP (Amersham) siguiendo el protocolo del sistema de marcaje Prime al azar Redi-Prime 2 (Amersham). Entonces se permitió que los filtros obtenidos por levantamiento de las colonias se hibridaran durante la noche con la sonda a 42°C en el siguiente tampón durante la noche a 42°C;

formamida al 50%, 5X SSPE, 2X solución de Denhardt, SDS al 0,5%, ADNes 100 mg/ml. La actividad específica de la sonda era de 2,38 X 109 cpm/μg de ADN, en aproximadamente 2 ng de sonda marcada por ml de tampón de hibridación. Se retiró la sonda y se quardó para la siguiente ronda de examen. Entonces se lavaron los filtros en 2X SSC, SDS al 0,1% TA durante 15 min., seguido por 1X SSC, SDS al 0,1% a 55°C durante 15 min. y 1X SSC, SDS al 0,1% a 60°C durante 10 min. Se envolvieron los filtros en plástico y se expusieron a película de autorradiografía durante la noche a -80°C con 2 pantallas de potenciación. Se identificaron tres clones positivos independientes. Se alinearon las exposiciones con las placas bacterianas y se rasparon los clones positivos, se diluyeron y volvieron a sembrarse en placa sobre placas LB con ampicilina 100 µg/ml, se hicieron crecer durante la noche como anteriormente y se obtuvieron por levantamiento las colonias, se prepararon y se estudiaron con sonda tal como se describió anteriormente. Se aislaron tres colonias de clones independientes, se aisló el ADN y se secuenció el ADN 10 para cada clon por triplicado.

La longitud completa de la proteína B7RP1 humana es de 302 aminoácidos. La longitud del polipéptido y la posición relativa del dominio transmembrana concuerdan con otros miembros de la familia de B7. El gen de B7RP1 humana tiene un 43% de identidad de aminoácidos con el clon de ratón. Este grado de homología es significativo puesto que las proteínas CD80 de ratón y ser humano son sólo idénticas al 41%. Los residuos de cisteína en las posiciones de aminoácido 37, 113, 158, 215 y 216 están notablemente conservados entre los genes de ratón y ser humano.

Ejemplo 15

5

15

Clonación de CRP1 humana

Una búsqueda de homología Blast en Genbank (GCG, University of Wisconsin) usando la secuencia de B7RP1 murina (véase la figura 2) recuperó un clon genómico (n.º de registro de Gen Bank AQ022676) que contenía una 20 secuencia de 104 pb que mostraba alta homología con el gen de CRP1 murina. Se diseñaron cebadores de clonación por PCR para que se solapasen con esta secuencia.

5'-GCA TAT TTA TGA ATC CCA-3' (SEQ ID NO: 34)

5'-ACT ATT AGG GTC ATG CAC-3' (SEQ ID NO: 35)

- 25 Usando los cebadores anteriores, se amplificó por PCR un fragmento de ADN de 151 pb de la CRP1 murina usando el plásmido de CRP1 murina descrito en la figura 1 y el ejemplo 1 como molde. Se marcaron 125 ng del ADN con 32P dCTP (Amersham) siguiendo el protocolo del sistema de marcaje Prime al azar Redi-Prime 2 (Amersham). Entonces se permitió que los filtros obtenidos por levantamiento a partir de las bibliotecas de sangre periférica humana descritas en el ejemplo 15 se hibridaran con la sonda en el siguiente tampón de hibridación durante la noche (15 h) a 41°C, formamida al 50%, 5X SSPE, 2X solución de Denhardt, SDS al 0,5%, ADNes 100 μg/ml. La actividad específica de la sonda era de 3,52 X 10⁹ cpm/μg de ADN, 1,5 ng de sonda marcada/ml de tampón de 30 hibridación. Se retiró la sonda y se guardó para la siguiente ronda de examen. Entonces se lavaron los filtros en 2X SSC, SDS al 0,1% a TA durante 10 min., seguido por 1X SSC, SDS al 0,1% a 37°C durante 7 minutos, 40°C durante 7 minutos, 44°C durante 7 minutos, luego 50°C durante 7 minutos, monitorizando de manera continua la velocidad a la que los filtros liberaban la sonda marcada. Se envolvieron los filtros en plástico y se expusieron a una película 35 durante la noche a -80°C con 2 pantallas de potenciación. Este método reveló 9 posibles clones positivos independientes. Se alinearon las exposiciones con las placas bacterianas y se rasparon los clones positivos, se depositaron en 200 µl de SOC, se realizaron 2 diluciones en serie de 1:10 y volvieron a sembrarse en placa 70 µl de la segunda dilución sobre placas LB que contenían ampicilina a 100 µg/ml y se hicieron crecer durante la noche 40 como anteriormente. Se obtuvieron por levantamiento las colonias, se prepararon y se estudiaron con sonda como anteriormente. Se aislaron ocho clones independientes y se preparó el ADN mediante el método miniprep de Qiagen.
- Se obtuvo un clon de ADNc que contenía un marco de lectura abierto de 199 aminoácidos (figura 13A). Este clon de ADNc contenía homologías de nucleótidos y aminoácidos con el clon de CRP1 murina descrito en el ejemplo 1 y la 45 figura 1. Los nucleótidos correspondientes al marco de lectura abierto de este clon humano eran idénticos al 77% al gen de CRP1 murina. La traducción de la secuencia humana y la posterior comparación con la proteína CRP1 murina reveló un 69% de identidad de aminoácidos con la proteína murina (figura 13B). Además, el motivo entre los aminoácidos 114 a 119, "FDPPPF", se conservaba entre los genes de CRP1 humana y murina. Este motivo corresponde al motivo "MYPPPY" en CD28 humana y murina que es esencial para la interacción por la proteína B7. 50 Además, las cisteínas en las posiciones de aminoácido 42, 109 y 141 también se conservan. Estas cisteínas corresponden a las cisteínas en CD28 y CTLA-4 que están implicadas en la formación de bucles de lg y dimerización de disulfuros intermoleculares. La estrecha similitud con CRP1 murina, y similitudes estructurales con la familia de homología de CD28, indican que este es el homólogo de CRP1 humana.

Ejemplo 16

55 CRP-1 se expresa en linfocitos T de memoria en reposo

Con el fin de estudiar la expresión de CRP-1 en células T de memoria, se recogieron células T esplénicas de ratones

de 6-7 meses de edad. Se tiñeron de manera doble estas células usando B7RP-1-Fc marcada mediante un anticuerpo anti-Fc humano conjugado con FITC y un anticuerpo conjugado con PE frente a o bien CD44 o bien CD45RB o bien CD69. La tinción con la proteína de fusión B7RP-1-Fc detecta la expresión de proteína CRP-1 en estas células T. Ratones más ancianos muestran más células T esplénicas CRP-1+ que ratones más jóvenes. De manera interesante, un número llamativo de estas células son altas en CD44 (figura 14a) y bajas en CD45RB (figura 14b), un perfil típico de células T de memoria. Estas células T de memoria CRP-1+ están en un estado de reposo, puesto que no expresan el marcador de activación CD69 (figura 14c). La expresión de CRP-1 en células T de memoria indica que CRP-1 tiene funciones coestimuladoras en células T de memoria.

Ejemplo 17

5

20

10 Coestimulación de células T *in vitro* inhibida por anticuerpos frente a B7RP-1.

Para determinar si la proteína B7RP-1 tiene relevancia funcional para células T, se incubaron células T CD3+ con la proteína de fusión B7RP-1-Fc y un anticuerpo anti-CD3 en un ensayo de proliferación *in vitro*. Entonces se usaron anticuerpos policionales de conejo anti-B7RP1 de ratón o anticuerpos monoclonales de rata anti-B7RP1 de ratón para inhibir específicamente la proliferación coestimulada por B7RP1-Fc *in vitro*.

15 Preparación de antisuero policional de conejo frente a B7RP-1

Se les inyectó a tres conejos blancos New Zealand (peso inicial de 5-8 libras) por vía i.m. proteína B7RP1 murina. Se inmunizó cada conejo en el día 1 con 150 µg de proteína B7RP1 murina emulsionada en un volumen igual de adyuvante completo Hunters Titer Max. Se realizaron refuerzos adicionales (días 14 y 28) mediante el mismo procedimiento. Se monitorizaron los títulos de anticuerpo mediante EIA. Tras el segundo refuerzo, los antisueros revelaron títulos de anticuerpo moderados. Entonces se obtuvo una sangría de producción de 30 ml en cada animal. Se repitió esto cada semana durante 6 semanas. Entonces se purificaron anticuerpos policionales mediante cromatografía de proteína-A agarosa, seguido por selección negativa mediante cromatografía de afinidad de proteína Fc y selección positiva mediante cromatografía de afinidad de B7RP-1-Fc.

Preparación de anticuerpos monoclonales de rata anti-B7RP1 murina

25 Se generaron anticuerpos monoclonales de rata anti-B7RP1 murina tal como se describe en Practical Immunology, segunda edición (1980; L. Hudson y F.C. Hay; Blackwell Scientific Publications; St. Louis, MO). En resumen, se les inyectó a ratas Lou (Harlan; Indianápolis, IN) por vía intraperitoneal proteína de fusión muB7RP1-Fc emulsionada en adyuvante de Freund a intervalos de 4 semanas. Tres días antes de la fusión, se reforzaron las ratas por vía intrayenosa con muB7RP1 soluble. En el día de la fusión, se sacrificó el animal con dióxido de carbono y se extrajo 30 el bazo de manera aséptica. Se generó una suspensión de células individuales usando un homogeneizador de tejido. Se lavaron tanto esplenocitos como células de mieloma Y3-Ag1.2.3 (Colección Americana de Cultivos Tipo; Rockville, MD) en medio libre de suero, luego se fusionaron mediante la adición de polietilenglicol (PEG 1500; Boehringer Mannheim Biochemicals; Indianápolis, IN). Se enjuagaron las células una vez, se resuspendieron en medio que contenía suero y se sembraron en placa en placas de cultivo tisular de 96 pocillos. De diez a 12 días después, se sometió a prueba el medio de cada pocillo para detectar anticuerpo específico frente a B7RP1 mediante 35 un ensayo de inmunoabsorción ligado a enzimas (EIA) directo. Se hicieron crecer células de los pocillos que indicaban posible unión hasta cultivos de 10 ml y se congelaron en nitrógeno líquido. Se sometió a prueba adicionalmente el medio de cada cultivo en citometría de flujo y en un ensayo de proliferación de células T funcional. Se sembraron en placa las que se determinó que eran de interés mediante estos métodos para dar colonias de 40 células individuales, se seleccionaron de nuevo mediante EIA y se mantuvieron líneas celulares finales para la generación de anticuerpos. Se purificaron los anticuerpos del medio celular mediante cromatografía de proteína A-

Preparación de células T y ensayo de proliferación de células T

Se purificaron células T de los bazos de ratones C57B1/6 (hembras de 8-12 semanas de edad, Charles River Laboratories) mediante selección negativa a través de una columna de enriquecimiento de células T murinas (R&D 45 Systems). Entonces se usaron las células T o bien directamente o bien se purificaron adicionalmente mediante anticuerpos y lisis del complemento tal como sigue. Se resuspendieron las células (2,5 X 106 células/ml) en medio RPMI que contenía anticuerpos (todas a 10 μg/ml y de Pharmingen) contra CD11b murina (clon M1/70), NK-1.1 (clon PK136), CD8a (clon 53-6.7), I-Ab (clon M5/114.15.2), CD11c (clon HL3) y el antígeno B220 (clon RA3-6B2). Entonces se incubaron las células sobre hielo durante 30 min., se sedimentaron a 1200 rpm, se resuspendieron en 50 RPMI:complemento de conejo 4:1 vol/vol (Sigma, n.º S-7764) y se incubaron durante 30 min. adicionales a 37°C. Se sedimentaron de nuevo las células, y se repitió el tratamiento con complemento. Antes de sembrar en placa, se lavaron las células con RPMI que contenía FCS al 10%. Se recubrieron placas de 96 pocillos con fondo de U con un anticuerpo anti-CD3 (clon 145-2C11, Pharmingen) a concentraciones que oscilaban entre 0 y 1,2 μg/ml), y Fab₂ antilgG humana (Sigma, 12,5 μg/ml) durante la noche a 4°C, seguido por una incubación de 6-9 h a 37°C. Se cultivaron 55 células T (1x 10⁵/pocillo) en ausencia o presencia de diversas proteínas de fusión de Fc durante 48 h y se pulsaron durante las últimas 18 horas con 1 μCi de ³H-timidina. Las proteínas Fc control incluían una proteína de fusión de OPG y Fc y un fragmento de proteína Fc no fusionado. Entonces se recogieron las células y se contó la

radioactividad incorporada. B7RP-1-Fc coestimula células T para que proliferen de un modo dependiente de la dosis (figura 15a), y un anticuerpo anti-B7RP-1-Fc inhibe específicamente esta coestimulación de manera dependiente de la dosis (figura 15b).

Eiemplo 18

10

15

20

30

40

45

5 Inhibidores de la ruta de CRP-1/B7RP-1 disminuyen la aparición de artritis reumatoide inducida por colágeno.

La artritis inducida por colágeno (AIC) es un modelo animal de poliartritis autoinmunitaria en roedores y primates que tiene muchas similitudes con la artritis reumatoide en seres humanos. La inmunización con una especie heteróloga de colágeno tipo II (CII) induce una respuesta autoinmunitaria frente a CII que conduce al desarrollo de AIC en cepas de ratones susceptibles. Cepas congénicas de ratones con H-2^r y H-2^q son altamente susceptibles a AIC. AIC está mediada por los efectos sinérgicos de tanto células T reactivas con CII como anticuerpos. Se disolvió CII porcino (Nabozny *et al.*, Autoimmunity 20, 51-58 (1995)) en ácido acético 0,01 N a una concentración de 2 mg/ml y entonces se emulsionó a una razón 1:1 con CFA (Difco). Se inmunizaron ratones susceptibles a artritis B10.RIII (H-2^r) (Jackson Laboratories, Bar Harbor, ME) con 100 μl de emulsión por vía intradérmica en la base de la cola. Se monitorizaron los ratones 2-3 veces a la semana para detectar el desarrollo de artritis. Se determinó la gravedad de la artritis usando un sistema de clasificación para cada garra tal como sigue: 0: sin artritis; 1: enrojecimiento o hinchazón en 1-3 dedos; 2: hinchazón grave de la garra; 3: anquilosis articular. Se sumó la puntuación de cada extremidad para proporcionar un intervalo de gravedad de desde 0 hasta 12 para cada animal.

Se les inyectaron a los ratones 100 ug (en 200 µl) de proteína por vía intraperitoneal dos veces a la semana. El tratamiento comenzó 1 día tras la inmunización con CII porcino y se detuvo en el día 52 tras la inmunización. Se realizó el experimento en grupos de tratamiento de 10 ratones, y animales con puntuaciones de 1 o superiores se puntuaron como positivos. Se muestran los resultados en la figura 16 y la tabla 1.

TABLA 1

Efecto de proteínas de fusión CRP-1, B7RP-1, CTLA-4 y B7.2 Fc sobre la aparición de artritis

Grupos de tratamiento	Día de aparición, media +/- d.e.	
CTLA4-Fc	60,0+0,0	
CRP1-Fc	48,9±13,2	
B7.2-Fc	28,4+14,1	
B7RP1-Fc	33,9+16,6	
PBS	37,7+17,1	

En ratones tratados con proteína de fusión CRP1-Fc, la aparición de síntomas artríticos se retrasó aproximadamente
10 días en comparación con los ratones tratados con PBS. Esto demuestra que la inhibición de la ruta de CRP1/B7RP-1 puede aliviar síntomas de la enfermedad en este modelo de ratón de artritis reumatoide.

Ratones tratados con B7RP-1-Fc o B7.2-Fc mostraban una aparición más temprana de la enfermedad (tabla 1 y figura 16a) con un aumento de la gravedad artrítica (figura 16b) en comparación con los controles tratados con PBS. Esto indica que la proteína de fusión B7RP-1-Fc potencia la respuesta inmunitaria de células T. Tal actividad puede ser útil en la generación de inmunidad antitumoral *in vivo*.

Los efectos opuestos de CRP-1-Fc y B7RP-1-Fc en este modelo de ratón de artritis reumatoide indican que la ruta puede manipularse para o bien potenciar o bien inhibir la progresión de la enfermedad. La selección como diana de la proteína CRP-1 con B7RP-1-Fc soluble potencia la enfermedad, mientras que la interacción de CRP-1-Fc soluble con B7RP-1 inhibe los síntomas de la enfermedad.

35 Ejemplo 19

B7RP-1-Fc induce un fenotipo de enfermedad inflamatoria del Intestino en ratones transgénicos.

La sobreexpresión persistente de la proteína relacionada con B7 (B7RP1-Fc) en ratones transgénicos de 22 a 25 semanas de edad (ejemplo 12) induces un fenotipo sorprendente de enfermedad inflamatoria del intestino (Ell) con engrosamiento marcado e inflamación crónica de los intestinos delgado y grueso (enterocolitis) y pérdida de peso en algunos animales. Histológicamente, se encontraron los cambios inflamatorios más graves en el colon proximal y distal, con cambios más leves en el intestino delgado. El colon proximal estaba notablemente engrosado con ulceración por agrietamiento, inflamación transparietal e hipertrofia de la mucosa colónica, mientras que el colon distal tenía hipertrofia difusa de la mucosa (o erosión focal y atrofia glandular) sin ulceración. El intestino delgado proximal tenía hipertrofia de la mucosa de leve a marcada con cambios inflamatorios más leves, mientras que el intestino delgado distal (íleo) tenía hipertrofia leve de la mucosa en algunos animales y atrofia en otros ratones. Los cambios intestinales eran los más graves y se hallaron de manera constante en los ratones transgénicos para B7RP-1 hembra, pero también se observaron en varios de los ratones transgénicos macho en este estudio.

Es interesante observar que las características histológicas halladas en el colon proximal, incluyendo la ulceración

por agrietamiento y la inflamación granulomatosa crónica transparietal con células gigantes multinucleadas, se asemejan más estrechamente a las observadas en la enfermedad de Crohn que en colitis ulcerosa en seres humanos. Morfológicamente, esta colitis también imita la El! descrita en ratones deficientes en interleucina-10, que desarrollan consunción, anemia y enterocolitis que afectan a todo su tracto intestinal (Kuhn *et al.* 1993; Sartor 1995; Leach *et al.* 1999). Como en los ratones deficientes en IL-10, los cambios iniciales en los ratones transgénicos para B7RP-1-Fc consisten en infiltrados leves, focales de células inflamatorias en la lámina propia sin hiperplasia epitelial colónica (ejemplo 13). En ratones más ancianos, los segmentos colónicos afectados se engrosan debido a hipertrofia/hiperplasia glandular e inflamación crónica.

- Los cólones proximales y distales de los ratones B7RP-1-Fc tenían colitis de moderada a grave con características 10 histológicas de enfermedad inflamatoria del intestino (EII). Los segmentos afectados del colon proximal (figura 17B-17D) estaban engrosados de manera difusa, debido a hipertrofia e hiperplasia glandular prominente con alargamiento y dilatación de las glándulas mucosas (figura 17B), que tenían números aumentados de figuras mitóticas y abscesos crípticos poco comunes, pero conservaban células caliciformes con mucina (figura 17D). La mucosa tenía inflamación crónica difusa en la lámina propia, que en algunos animales se extendía de manera 15 transparietal implicando las capas subyacentes de la pared del intestino, incluyendo la submucosa, la capa muscular de la mucosa, la serosa y el tejido graso mesentérico adyacente (figura 17B-17C). Los infiltrados inflamatorios consistían en linfocitos (predominantemente células T CD3+, CD4+), células plasmáticas y macrófagos epitelioides (figura 17F) mezclados con algunos neutrófilos y células gigantes multinucleadas ocasionales (figura 17E), características de inflamación granulomatosa crónica. También estaban presentes agregados linfoides 20 (principalmente células B220+ mezcladas con pequeños números de células CD3+) en la mucosa y alrededor de vasos sanguíneos más pequeños en la submucosa y capas más profundas, incluyendo grasa mesentérica (figura 17C). La luz contenía exudado mucopurulento o mucoso (figura 17D). Se hallaron pruebas serias de colitis, con ulceración por agrietamiento multifocal de la mucosa e inflamación transparietal (figura 17B-17C), en estos ratones transgénicos para B7RP-1-Fc.
- 25 El colon distal de los ratones transgénicos para B7RP-1-Fc también estaba engrosado de manera difusa y era hiperplásico con alargamiento, basofilia y dilatación de las glándulas colónicas (figura 18B-18G), algunas de las cuales contenían abscesos crípticos (figura 18D y 18F) y mucosidad. La lámina propia tenía un infiltrado inflamatorio difuso leve de linfocitos (predominantemente células CD3+, CD44+, particularmente en la mucosa superficial; figura 18E), así como células plasmáticas y agregados focales de macrófagos epitelioides mezclados con algunos 30 neutrófilos. También estaban dispersos agregados linfoides (de predominantemente células B220+; figura 18D y 18F) por toda la mucosa. El intestino delgado de ratones transgénicos para B7RP-1-Fc tenía más cambios variables, incluyendo hipertrofia e hiperplasia mucosa y críptica de leve a focalmente marcada (figura 19B y 19D con razones de criptas/vellosidades que oscilan entre 1:4 y 1.5:1, en comparación con 1:10 en los ratones control) acompañadas por un infiltrado predominantemente linfoplasmacítico en la lámina propia. La hiperplasia de la mucosa era lo más 35 prominente en el intestino delgado proximal, incluyendo el duodeno (figura 19B) y particularmente el yeyuno (figura 19D). La arquitectura de las criptas estaba focalmente alterada y era displásica en los ratones más gravemente afectados (figura 19D). En cambio, los intestinos delgados distales (íleo) de algunos ratones, tenían atrofia vellosa leve, irregular de la mucosa del íleo (figura 19F) con aplanamiento, engrosamiento o pérdida focal de vellosidades (con una razón de criptas:vellosidades de 1:1 o menos, en lugar de la razón normal de 1:2), mientras que otros 40 ratones tenían hipertrofia leve de la mucosa del íleo.

La proteína de fusión B7RP-1-Fc actúa activando células que son responsables de provocar un fenotipo muy similar al de la enfermedad de Crohn humana. Esto indica que las células que pueden ser responsables de la inflamación en la enfermedad de Crohn se activan por la proteína de fusión B7RP-1-Fc. Por tanto, inhibidores de proteína soluble, anticuerpo o molécula pequeña de B7RP-1 pueden ser útiles en la inhibición de EII.

45 Ejemplo 20

5

La proteína de fusión B7RP-1-Fc inhibe el crecimiento tumoral en ratones

Para examinar el efecto de B7RP-1 y CRP-1 sobre el crecimiento del sarcoma Meth A murino inmunogénico, se investigó si la B7RP-1-Fc soluble afecta al crecimiento de un sarcoma Meth A establecido en ratones Balb/c.

- Se implantaron células de sarcoma Meth A en crecimiento exponencial mediante inyección intradérmica de 0,5 millones de células en el abdomen de ratones Balb/c en el día 0. En el día 7, cuando los tumores alcanzaron ~ 100 mm³, se trataron los ratones con o bien vehículo (PBS) o bien B7RP-1-Fc (8 mg/kg), por vía subcutánea en el cuello en los días 7, 10, 14 y 17. Se midieron los diámetros bidimensionales de los tumores mediante calibres y se estimó el volumen tumoral (en mm³) usando la fórmula: Volumen tumoral = [{(anchura) 2x longitud}/2]. Se monitorizó el crecimiento tumoral hasta el día 28. Cada grupo tenía ocho ratones.
- El patrón de crecimiento de sarcoma Meth A del tumor control era bifásico: a una fase inicial lenta le seguía una fase exponencial relativamente rápida. En ratones tratados con B7RP-1-Fc, el crecimiento del tumor era significativamente más lento en la fase exponencial rápida. En el día 28, los volúmenes promedio de los ratones control y tratados con B7RP1-Fc eran de 1410 mm³ y 580 mm³, respectivamente (figura 20). Por tanto, el tratamiento con B7RP-1-Fc inhibió el crecimiento tumoral significativamente en este modelo. Los datos sugieren fuertemente la

utilidad terapéutica beneficiosa de la proteína B7RP-1-Fc soluble, y otros activadores de la ruta de B7RP-1/CRP-1, en el tratamiento de tumores inmunogénicos.

La actividad antitumoral inmunológica está estrechamente asociada con la función de linfocitos T citolíticos (CTL). Consecuentemente, se expresa la proteína B7RP-1-Fc en células T CD8+ citolíticas (ejemplo 9, figura 6). Estos datos apoyan fuertemente que B7RP-1 funciona en células T CD8+ citolíticas. Por tanto, puede usarse B7RP-1-Fc, u otros estimuladores de la ruta de B7RP-1/CRP-1, para potenciar funciones inmunitarias celulares y de células T citolíticas para varias indicaciones no relacionadas con cáncer.

Ejemplo 21

5

25

30

35

40

45

50

Inhibición de la actividad de B7RP-1 humana in vitro

Para determinar si B7RP-1 humana tiene propiedades coestimuladoras positivas, se sometieron a prueba células que expresaban B7RP-1 humana y proteína de fusión B7RP-1-Fc humana en ensayos de proliferación de células T. Se construyó la proteína de fusión B7RP-1-Fc humana fusionando secuencias génicas correspondientes a los aminoácidos 1 a 247 con una secuencia génica de IgG1 humana parcial (ejemplo 14). Se construyó la proteína de fusión CRP-1-Fc humana fusionando secuencias génicas correspondientes a los aminoácidos 1 a 146 con una secuencia génica de IgG1 humana parcial (ejemplo 2). Se realizaron los métodos de construcción, expresión y purificación de ambas proteínas de fusión tal como se describe en el ejemplo 7. B7RP-1-Fc demostró actividades coestimuladoras que dependen de la estimulación con anticuerpo anti-CD3 (figura 21a). Además, esta actividad puede inhibirse específicamente con proteína CRP-1-Fc soluble (figura 21b). Se obtuvieron efectos coestimuladores similares usando células CHO que expresan B7RP-1 humana, unida a la membrana, que contiene toda la secuencia codificante (figura 21c).

Se determinó la producción de citocinas por células T humanas en las condiciones de proliferación in vitro anteriores. Se analizaron los sobrenadantes de cultivos de células T estimulados durante 48 y 72 horas para detectar IL-2, IL-10 e IFN-gamma mediante ELISA según las especificaciones del fabricante (BioSource International). Los niveles de IFN-gamma e IL-10 estaban significativamente aumentados; sin embargo, a diferencia del caso con coestimulación con CD28, IL-2 no estaba notablemente inducida (figura 21d). Los niveles aumentados de IFN-gamma, una citocina Th1, se correlacionan con las funciones de B7RP-1 aumentando IgG2a, tal como se describe en el ejemplo 13.

Se realizaron ensayos de coestimulación de células T in vitro tal como sigue. Se aislaron células T humanas altamente purificadas (>98% CD3+) mediante selección negativa de PBMC nuevas o descongeladas, agotadas por adherencia usando perlas magnéticas marcadas con AcM (Miltenyi Biotec). Se cultivaron células T (1 x 10⁵ células/pocillo) en pocillos por triplicado en placas de 96 pocillos en 200 μl/pocillo de RPMI + FCS al 10%. Para evaluar la coestimulación con B7RP-1-Fc, se recubrieron previamente placas con fondo de U con diversas concentraciones de anticuerpo anti-CD3 (Pharmingen) y Fc anti-IgG humana 10 μg/ml (Sigma) en 100 μl de 1x PBS mediante una incubación a 4°C durante la noche. Se eliminaron el anticuerpo anti-CD3 y Fc anti-lgG humana no unidos y se cultivaron las células en presencia o ausencia de diversas concentraciones de B7RP-1-Fc, OPG-Fc control o anticuerpo anti-CD28 (Pharmingen). Para la inhibición por CRP-1-Fc de la coestimulación con B7RP-1-Fc, se cultivaron células T en pocillos recubiertos previamente con anticuerpo anti-CD3 0,33 μ g/ml y Fc anti-lgG humana 10 μg/ml con B7RP-1-Fc 0.5 μg/ml en presencia de CRP-1-Fc u OPG-Fc diluida en serie, comenzando a 10 μg/ml. Para evaluar la coestimulación por células CHO que expresan B7RP-1, se cultivaron células T en placas de fondo plano con diversas concentraciones de anticuerpo anti-CD3 soluble en presencia o ausencia de diversas cantidades de células CHO B7RP-1 tratadas con mitomicina-C o células vector CHO. Para someter a prueba la proliferación de células T, se pulsaron cultivos con [3H]TdR 1 uCi/pocillo durante las últimas 18 h de un cultivo de 72 h. Se determinó la proliferación de células T mediante la incorporación de [3H]TdR. Se expresan los resultados de un experimento representativo de tres donantes al azar como CPM medias incorporadas +/- DE. Para análisis de producción de citocinas, se cultivaron las células durante 48 y 72 horas y se recogieron los sobrenadantes para el ELISA.

Estos experimentos muestran que la parte extracelular de B7RP-1 humana, tal como se describe en el ejemplo 14, cuando se fusiona a un fragmento de Fc humano, puede coestimular células T *in vitro*. Esta coestimulación se inhibe por CRP-1-Fc y por tanto se demuestra cómo puede funcionar un inhibidor soluble de B7RP-1 humana. Podrían usarse ensayos *in vitro*, tales como los descritos en el presente documento usando B7RP-1 y CRP-1 humanas, para seleccionar inhibidores de anticuerpo, proteína soluble, pepticuerpo o molécula pequeña de la actividad de B7RP-1/CRP-1.

Lista de secuencias

<110> AMGEN INC.

<120> POLIPÉPTIDOS NOVEDOSOS IMPLICADOS EN RESPUESTA INMUNITARIA

55 <130> A-579A

<140> 09/264.527

```
<141> 08-03-1999
     <160> 35
    <170> Patentin ver. 2.1
     <210> 1
 5
     <211>600
     <212> ADN
     <213> ratón
     <220>
     <221> CDS
10
    <222> Complemento ((1) .. (600))
    <400> 1
     atg aag ccg tac ttc tgc cgt gtc ttt gtc ttc tgc ttc cta atc aga
                                                                           48
     Met Lys Pro Tyr Phc Cys Arg Val Phe Val Phe Cys Phe Leu Ile Arg
                                                                          96
     ctt tta aca gga gaa atc aat ggc tcg gcc gat cat agg atg ttt tca
     Leu Leu Thr Gly Glu Ile Asn Gly Ser Ala Asp His Arg Met Phe Ser
     ttt cac aat gga ggt gta cag att tct tgt aaa tac cct gag act gtc
                                                                          144
     Phe His Asn Gly Gly Val Gln Ile Ser Cys Lys Tyr Pro Glu Thr Val
     cag cag tta aaa atg cga ttg ttc aga gag aga gaa gtc ctc tgc gaa
                                                                          192
     Gin Gln Leu Lys Met Arg Leu Phe Arg Glu Arg Glu Val Leu Cys Glu
     ctc acc aag acc aag gga agc gga aat gcg gtg tcc atc aag aat cca
                                                                          240
     Leu Thr Lys Thr Lys Gly Ser Gly Asn Ala Val Ser Ile Lys Asn Pro
                           70
     atg ctc tgt cta tat cat ctg tca aac aac agc gtc tct ttt ttc cta
                                                                          288
     Met Leu Cys Leu Tyr His Leu Ser Asn Asn Ser Val Ser Phe Phe Leu
                                            90
     age age cea gae age tee cag gga age tat tae tte tge age etg tee
                                                                          336
     Asn Asn Pro Asp Ser Ser Gln Gly Ser Tyr Tyr Phe Cys Ser Leu Ser
     att ttt gac cca cct cct ttt caa gaa agg aac ctt agt gga gga tat
                                                                          384
     Ile Phe Asp Pro Pro Pro Phe Gln Glu Arg Asn Leu Ser Gly Gly Tyr
              115
                                                                          432
     ttg cat att tat gaa tcc Cag Ctc tgc tgc cag ctg aag ctc tgg Cta
     Leu His Ile Tyr Glu Ser Gln Leu Cys Cys Gln Leu Lys Leu Trp Leu
         130
     ccc gta ggg tgt gca gct ttc gtt gtg gta ctc ctt ttt gga tgc ata
                                                                          480
     Pro Val Gly Cys Ala Ala Phe Val Val Leu Leu Phe Gly Cys Ile
                          150
```

ctt atc atc tgg ttt tca aaa aag aaa tac gga tcc agt gtg cat gac 528 Leu Ile Ile Trp Phe Ser Lys Lys Lys Tyr Gly Ser Ser Val His Asp 576 cct aat agt gas tac atg ttc atg gcg gca gtc aac aca aac aaa aag Pro Asn Ser Glu Tyr Met Phe Met Ala Ala Val Asn Thr Asn Lys Lys 180 185 190 600 tct aga ctt gca ggt gtg acc tca Ser Arg Leu Ala Gly Val Thr Ser 195

<210> 2

<211> 200

<212> PRT

<213> ratón

<400> 2

Met Lys Pro Tyr Phe Cys Arg Val Phe Val Phe Cys Phe Leu Ile Arg Leu Leu Thr Gly Glu Ile Asn Gly Ser Ala Asp His Arg Met Phe Ser Phe His Asn Gly Gly Val Gln Ile Ser Cys Lys Tyr Pro Glu Thr Val Gln Gln Leu Lys Met Arg Leu Phe Arg Glu Arg Glu Val Leu Cys Glu Leu Thr Lys Thr Lys Gly Ser Gly Asn Ala Val Ser Ile Lys Asn Pro Met Leu Cys Leu Tyr His Leu Ser Asn Asn Ser Val Ser Phe Phe Leu Asn Asn Pro Asp Ser Ser Gln Gly Ser Tyr Tyr Phe Cys Ser Leu Ser 105 Ile Phe Asp Pro Pro Pro Phe Gln Glu Arg Asn Leu Ser Gly Gly Tyr Leu His Ile Tyr Glu Ser Gln Leu Cys Cys Gln Leu Lys Leu Trp Leu Pro Val Gly Cys Ala Ala Phe Val Val Leu Leu Phe Gly Cys Ile

Ser Arg Leu Ala Gly Val Thr Ser

180

200 195

<210>3

Leu Ile Ile Trp Phe Ser Lys Lys Lys Tyr Gly Ser Ser Val His Asp

Pro Asn Ser Glu Tyr Met Phe Met Ala Ala Val Asn Thr Asn Lys Lys

```
<211> 200
<212> PRT
<213> ratón
<400>3
Met Lys Pro Tyr Phe Cys Arg Val Phe Val Phe Cys Phe Leu Ile Arg
Leu Leu Thr Gly Glu Ile Asn Gly Ser Ala Asp His Arg Met Phe Ser
Phe His Asn Gly Gly Val Gln Ile Ser Cys Lys Tyr Pro Glu Thr Val
Gln Gln Leu Lys Met Arg Leu Phe Arg Glu Arg Glu Val Leu Cys Glu
Leu Thr Lys Thr Lys Gly Ser Gly Asn Ala Val Ser Ile Lys Asn Pro
Met Leu Cys Leu Tyr His Leu Ser Asn Asn Ser Val Ser Phe Phe Leu
Asn Asn Pro Asp Ser Ser Gln Gly Ser Tyr Tyr Phe Cys Ser Leu Ser
            100
Ile Phe Asp Pro Pro Pro Phe Gln Glu Arg Asn Leu Ser Gly Gly Tyr
                             120
Leu His Ile Tyr Glu Ser Gln Leu Cys Cys Gln Leu Lys Leu Trp Leu
                         135
Pro Val Gly Cys Ala Ala Phe Val Val Leu Leu Phe Gly Cys Ile
                                         155
Leu Ile Ile Trp Phe Ser Lys Lys Lys Tyr Gly Ser Ser Val His Asp
Pro Asn Ser Glu Tyr Met Phe Met Ala Ala Val Asn Thr Asn Lys Lys
                                 185
Ser Arg Leu Ala Gly Val Thr Ser
        195
<210>4
<211> 218
<212> PRT
<213> ratón
```

5

10

Met Thr Leu Arg Leu Leu Phe Leu Ala Leu Asn Phe Phe Ser Val Gln Val Thr Glu Asn Lys Ile Leu Val Lys Gln Ser Pro Leu Leu Val Val Asp Ser Asn Glu Val Ser Leu Ser Cys Arg Tyr Ser Tyr Asn Leu Leu 40 Ala Lys Glu Phe Arg Ala Ser Leu Tyr Lys Gly Val Asn Ser Asp Val Glu Val Cys Val Gly Asn Gly Asn Phe Thr Tyr Gln Pro Gln Phe Arg Ser Asn Ala Glu Phe Asn Cys Asp Gly Asp Phe Asp Asn Glu Thr Val Thr Phe Arg Leu Trp Asn Leu His Val Asn His Thr Asp Ile Tyr Phe 105 Cys Lys Ile Glu Phe Met Tyr Pro Pro Pro Tyr Leu Asp Asn Glu Arg Ser Asn Gly Thr Ile Ile His Ile Lys Glu Lys His Leu Cys His Thr Gln Ser Ser Pro Lys Leu Phe Trp Ala Leu Val Val Val Ala Gly Val Leu Phe Cys Tyr Gly Leu Leu Val Thr Val Ala Leu Cys Val Ile Trp Thr Asn Ser Arg Arg Asn Arg Leu Leu Gln Val Thr Thr Met Asn Met Thr Pro Arg Arg Pro Gly Leu Thr Arg Lys Pro Tyr Gln Pro Tyr Ala 200 205 195 Pro Ala Arg Asp Phe Ala Ala Tyr Arg Pro 215

<210> 5

<211> 234

5 <212> PRT

<213> Secuencia artificial

<220>

<223> Descripción de secuencia artificial: Oligonucleótido sintético

Val Xaa Xaa Ser Cys Xaa Tyr Xaa Leu Xaa Xaa Xaa Xaa Xaa Xaa Val Xaa Xaa Cys Xaa Xaa Xaa Cys Xaa Xaa Xaa Xaa Xaa Asn Xaa Xaa Val Xaa Phe Xaa Leu Xaa Asn Xaa Xaa Xaa Xaa Xaa Xaa Xaa Tyr Phe Cys Xaa Xaa Xaa Xaa Xaa Xaa Pro Pro Pro Xaa Xaa Xaa Xaa Xaa Ser Xaa Gly Xaa 135 140 Xaa Xaa His Ile Xaa Glu Xaa Xaa Leu Cys Xaa Xaa Xaa Xaa Xaa Xaa 145 150 Lys Leu Xaa Trp Xaa Leu Xaa Val Xaa Xaa Xaa Xaa Xaa Phe Xaa Xaa 165 170 Xaa Xaa Leu Leu Xaa Xaa Xaa Xaa Leu Xaa Xaa Ile Trp Xaa Xaa Xaa 180 200 220 210 Xaa Xaa Ala Xaa Xaa Xaa Xaa Xaa Xaa 230 <210>6 <211>966 <212> ADN <213> ratón <220> <221> CDS <222> Complemento ((1) .. (966))

10

atg Met 1	cag Gln	cta Leu	aag Lys	tgt Cys 5	Pro	tgt Cys	ttt Phe	gtg Val	tcc Ser 10	ttg Leu	gga Gly	acc Thr	agg Arg	cag Gln 15	cct Pro	48
gtt Val	tgg Trp	aag Lys	aag Lys 20	ctc Leu	cat His	gtt Val	tct Ser	agc Ser 25	G1y G1y	ttc Phe	ttt Phe	tct Ser	ggt Gly 30	Ctt Leu	ggt Gly	96
													gca Ala			144
													tgc Cys			192
													tat Tyr			240
													tac Tyr			288
													cat His 110			336
													aag Lys			384
													atg Met			432

	130					135					140					
gcc Ala 145	aca Thr	gag Glu	tta Leu	gtc Val	aag Lys 150	atc Ile	ttg Leu	gaa Glu	gag Glu	gtg Val 155	gtc Val	agg Arg	ctg Leu	cgt Arg	gtg Val 160	480
gca Ala	gca Ala	aac Asn	ttc Phe	agt Ser 165	aca Thr	cct Pro	gtc Val	atc	agc Ser 170	acc Thr	tct Ser	gat Asp	agc Ser	tcc Ser 175	aac Asn	528
ccg Pro	ggc Gly	cag Gln	gaa Glu 180	cgt Arg	acc Thr	tac Tyr	acc Thr	tgc Cys 185	atg Met	tcc Ser	aag Lys	aat Asn	ggc Gly 190	tac Tyr	cca Pro	576
gag Glu	ccc Pro	aac Asn 195	ctg Leu	tat Tyr	tgg Trp	atc Ile	aac Asn 200	aca Thr	acg Thr	gac Asp	aat Asn	agc Ser 205	cta Leu	ata Ile	gac Asp	624
						act Thr 215										672
						agg Arg										720
ctg L eu	tgc Cys	tgc Cys	gta Val	gag Glu 245	aat Asn	gtg Val	gct Ala	ctc Leu	cac His 250	cag Gln	aac Asn	atc Ile	act Thr	agc Ser 255	att Ile	768
						act Thr										816
acc Thr	cac His	aat Asn 275	aat Asn	gag Glu	tta Leu	aaa Lys	gtc Val 280	ctt Leu	gtc Val	ccc Pro	gtc Val	ctt Leu 285	gct Ala	gta Val	ctg Leu	864
gcg Ala	gca Ala 290	gcg Ala	gca Ala	ttc Phe	gtt Val	tcc Ser 295	ttc Phe	atc Ile	ata Ile	tac Tyr	aga Arg 300	cgc Arg	acg Thr	cgt Arg	ccc Pro	912
cac His 305	cga Arg	agc Ser	tat Tyr	aca Thr	gga Gly 310	ccc Pro	aag Lys	act Thr	gta Val	cag Gln 315	ctt Leu	gaa Glu	ctt Leu	aca Thr	gac Asp 320	960
cac His																966
<210> 7																
<211> 3	322															
<212> F	PRT															
<213> r	atón															
<400> 7	7															

Met Gln Leu Lys Cys Pro Cys Phe Val Ser Leu Gly Thr Arg Gln Pro 15

Val Trp Lys Lys Leu His Val Ser Ser Gly Phe Phe Ser Gly Leu Gly 30

Leu Phe Leu Leu Leu Leu Ser Ser Leu Cys Ala Ala Ser Ala Glu Thr 45

Glu Val Gly Ala Met Val Gly Ser Asn Val Val Leu Ser Cys Ile Asp Pro His Arg Arg His Phe Asn Leu Ser Gly Leu Tyr Val Tyr Trp Gln 70 Ile Glu Asn Pro Glu Val Ser Val Thr Tyr Tyr Leu Pro Tyr Lys Ser Pro Gly Ile Asn Val Asp Ser Ser Tyr Lys Asn Arg Gly His Leu Ser 105 Leu Asp Ser Met Lys Gln Gly Asn Phe Ser Leu Tyr Leu Lys Asn Val 120 Thr Pro Gln Asp Thr Gln Glu Phe Thr Cys Arg Val Phe Met Asn Thr Ala Thr Glu Leu Val Lys Ile Leu Glu Glu Val Val Arg Leu Arg Val 155 Ala Ala Asn Phe Ser Thr Pro Val Ile Ser Thr Ser Asp Ser Ser Asn 165 Pro Gly Gln Glu Arg Thr Tyr Thr Cys Met Ser Lys Asn Gly Tyr Pro 185 Glu Pro Asn Leu Tyr Trp Ile Asn Thr Thr Asp Asn Ser Leu Ile Asp Thr Ala Leu Gln Asn Asn Thr Val Tyr Leu Asn Lys Leu Gly Leu Tyr 215 Asp Val Ile Ser Thr Leu Arg Leu Pro Trp Thr Ser Arg Gly Asp Val 225 Leu Cys Cys Val Glu Asn Val Ala Leu His Gln Asn Ile Thr Ser Ile 250 Ser Gln Ala Glu Ser Phe Thr Gly Asn Asn Thr Lys Asn Pro Gln Glu Thr His Asn Asn Glu Leu Lys Val Leu Val Pro Val Leu Ala Val Leu Ala Ala Ala Phe Val Ser Phe Ile Ile Tyr Arg Arg Thr Arg Pro His Arg Ser Tyr Thr Gly Pro Lys Thr Val Gln Leu Glu Leu Thr Asp 310 315 320 His Ala

<210> 8

<211> 322

<212> PRT

5 <213> ratón

Me	t G1	n Le	u Ly	в Су	s Pr	о Су	s Ph	e Va	l Se	r Le	u Gly	y Thi	r Arç	Glr	r Pr
1				5					10					15	
Val	Trp	Lys	Lys 20		His	Va1	Ser	Ser 25	_	Phe	Phe	Ser	Gly 30	Leu	Gly
Leu	Phe	Leu 35		Leu	Leu	Ser	Ser 40		Cys	Ala	Ala	Ser 45	Ala	Glu	Thr
Glu	Val 50	Gly	Ala	Met	Val	Gly 55	Ser	Asn	Va1	Val	Leu 60	Ser	Cys	Ile	Asp
Pro 65	His	Arg	Arg	His	Phe 70	Asn	Leu	Ser	Gly	Leu 75	Tyr	Va1	Tyr	Trp	Gln 80
Ile	Glu	Asn	Pro	Glu 85	Val	Ser	Val	Thr	Tyr 90	Tyr	Leu	Pro	Tyr	Lys 95	Ser
Pro	Gly	Ile	Asn 100	Val	Asp	Ser	Ser	Tyr 105	Lys	Asn	Arg	Gly	His 110	Leu	Ser
Leu	Asp	Ser 115	Met	Lys	Gln	Gly	Asn 120	Phe	Ser	Leu	Tyr	Leu 125	Lys	Asn	Val
Thr	Pro 130	Gln	Asp	Thr	Gln	Glu 135	Phe	Thr	Cys	Arg	Val 140	Phe	Met	Asn	Thr
Ala 145	Thr	Glu	Leu	Val	Lys 150	Ile	Гел	Glu	Glu	Val 155	Val	Arg	Leu	Arg	Val 160
Ala	Ala	Asn	Phe	Ser 165	Thr	Pro	Val	Ile	Ser 170	Thr	Ser	Asp	Ser	Ser 175	Asn
Pro	Gly	Gln	Glu 180	Arg	Thr	Tyr	Thr	Cys 185	Met	Ser	Lys	Asn	Gly 190	Tyr	Pro
Glu	Pro	Asn 195	Leu	Tyr	Trp	Ile	Asn 200	Thr	Thr	Asp	Asn	Ser 205	Leu	Ile	Asp
Thr	Ala 210	Leu	Gln	Asn	Asn	Thr 215	Val	Tyr	Leu	Asn	Lys 220	Leu	Gly	Leu	Tyr
Asp 225	Val	Ile	Ser	Thr	Leu 230	Arg	Leu	Pro	Trp	Thr 235	Ser	Arg	Gly	Asp	Val 240
Leu	Cys	Cys	Val	Glu 245	Asn	Val	Ala	Leu	His 250	Gln	Asn	Ile	Thr	Ser 255	Ile
Ser	Gln	Ala	Glu 260	Ser	Phe	Thr	Gly	Asn 265	Asn	Thr	Lys	Asn	Pro 270	Gln	Glu
Thr	His	Asn 275	Asn	Glu	Leu	Lys	Va1 280	Leu	Val	Pro	Val	Leu 285	Ala	Val	Leu
Ala	Ala 290	Ala	Ala	Phe	Val	Ser 295	Phe	Ile	Ile	Tyr	Arg 300	Arg	Thr	Arg	Pro
His 305	Arg	Ser	Tyr	Thr	Gly 310	Pro	Lys	Thr	Val	Gln 315	Leu	Glu	Leu	Thr	Asp 320
His	Ala														

<211> 306

<212> PRT

<213> ratón

Met Ala Cys Asn Cys Gln Leu Met Gln Asp Thr Pro Leu Leu Lys Phe Pro Cys Pro Arg Leu Ile Leu Leu Phe Val Leu Leu Ile Arg Leu Ser Gln Val Ser Ser Asp Val Asp Glu Gln Leu Ser Lys Ser Val Lys Asp. Lys Val Leu Leu Pro Cys Arg Tyr Asn Ser Pro His Glu Asp Glu Ser Glu Asp Arg Ile Tyr Trp Gln Lys His Asp Lys Val Val Leu Ser Val Ile Ala Gly Lys Leu Lys Val Trp Pro Glu Tyr Lys Asn Arg Thr Leu Tyr Asp Asn Thr Thr Tyr Ser Leu Ile Ile Leu Gly Leu Val Leu Ser 105 Asp Arg Gly Thr Tyr Ser Cys Val Val Gln Lys Lys Glu Arg Gly Thr 120 Tyr Glu Val Lys His Leu Ala Leu Val Lys Leu Ser Ile Lys Ala Asp Phe Ser Thr Pro Asn Ile Thr Glu Ser Gly Asn Pro Ser Ala Asp Thr Lys Arg Ile Thr Cys Phe Ala Ser Gly Gly Phe Pro Lys Pro Arg Phe Ser Trp Leu Glu Asn Gly Arg Glu Leu Pro Gly Ile Asn Thr Thr Ile 180 Ser Gln Asp Pro Glu Ser Glu Leu Tyr Thr Ile Ser Ser Gln Leu Asp 200 Phe Asn Thr Thr Arg Asn His Thr Ile Lys Cys Leu Ile Lys Tyr Gly 215 Asp Ala His Val Ser Glu Asp Phe Thr Trp Glu Lys Pro Pro Glu Asp 230 235 Pro Pro Asp Ser Lys Asn Thr Leu Val Leu Phe Gly Ala Gly Phe Gly 245 Ala Val Ile Thr Val Val Val Ile Val Val Ile Ile Lys Cys Phe Cys Lys His Arg Ser Cys Phe Arg Arg Asn Glu Ala Ser Arg Glu Thr Asn 280 Asn Ser Leu Thr Phe Gly Pro Glu Glu Ala Leu Ala Glu Gln Thr Val 295 290 Phe Leu 305

<210> 10
<211> 327
<212> PRT
<213> Secuencia artificial

5 <220>
<223> Descripción de secuencia artificial: Oligonucleótido sintético
<400> 10

Met Xaa Xaa Xaa Cys Xaa Cys Xaa Xaa Xaa Leu Xaa Xaa Xaa Pro Xaa Xaa Xaa Leu Xaa Xaa Xaa Xaa Xaa Xaa Xaa Xaa Xaa Leu Xaa Leu Phe Xaa Leu Leu Xaa Xaa Xaa Ser Xaa Val Xaa Xaa Xaa Val Xaa Leu Xaa Cys Xaa 55 70 Gln Xaa Xaa Xaa Xaa Xaa Val Xaa Xaa Xaa Xaa Leu Xaa Tyr Lys Asn Arg Xaa Xaa Xaa Xaa Leu Xaa Xaa Xaa Xaa Xaa Xaa Xaa Ser Leu Xaa Xaa Xaa Xaa 120 Xaa Xaa Xaa Xaa Asp Xaa Xaa Xaa Xaa Cys Xaa Val Xaa Xaa Xaa 135 150 155 Xaa Xaa Ala Xaa Phe Ser Thr Pro Xaa Ile Xaa Xaa Ser Xaa Xaa Xaa 170 Xaa Xaa Xaa Xaa Xaa Arg Xaa Xaa Thr Cys Xaa Xaa Xaa Gly Xaa 185 180 Pro Xaa Pro Xaa Xaa Xaa Trp Xaa Xaa Asn Xaa Xaa Xaa Xaa Xaa 200 215 210 230 235 245 265 Xaa Xaa Xaa Xaa Xaa Xaa Xaa Xaa Xaa Val Xaa Val Xaa Xaa

275 280 285

Xaa Arg Xaa Xaa Xaa Xaa Ser Xaa Thr Xaa Gly Pro Xaa Xaa Xaa 305 310 315 320

Xaa Glu Xaa Thr Xaa Xaa Xaa 325

<210> 11

<211>864

<212> ADN

5 <213> ratón

<220>

<221> CDS

<222> Complemento ((1) .. (864))

atg Met 1	Arg	ctg Leu	ggc Gly	agt Ser 5	cct Pro	gga Gly	ctg Leu	ctc Leu	ttc Phe 10	Ctg Leu	ctc Leu	ttc Phe	agc Ser	agc Ser 15	ctt Leu	48
cga Arg	gct Ala	gat Asp	act Thr 20	cag Gln	gag Glu	aag Lys	gaa Glu	gtc Val 25	aga Arg	gcg Ala	atg Met	gta Val	ggc Gly 30	agc Ser	gac Asp	96
	gag Glu															144
	gtt Val 50															192
tac Tyr 65	cac His	atc Ile	cca Pro	cag Gln	aac Asn 70	agc Ser	tcc Ser	ttg Leu	gaa Glu	aac Asn 75	gtg Val	gac Asp	agc Ser	cg¢ Arg	tac Tyr 80	240
	aac Asn															288
	Ctg Leu															336
	ctg Leu															384
	gtt Val 130															432
	ccc Pro															480
ata Ile	aac Asn	ggc Gly	tac Tyr	ccc Pro	agg Arg	ccc Pro	aac Asn	gtg Val	tac Tyr	tgg Trp	atc Ile	aat Asn	aag Lys	acg Thr	gac Asp	528

	165	170	175
		aat gac acc gt Asn Asp Thr Va	
	Leu Tyr Asp	gtg ctg agg at Val Leu Arg Il 20	e Ala Arg Thr
		gag aac gtg ct Glu Asn Val Le 220	
_		 aat gac atc gg Asn Asp Ile Gl 235	
		ggc gag aaa aa Gly Glu Lys As 250	
		ctt gtg gtc gt Leu Val Val Va	
	Val Cys Arg	ctc caa cac ag Leu Gln His Se 28	r Tyr Ala Gly

<210> 12

<211> 288

<212> PRT

5 <213> ratón

Met Arg Leu Gly Ser Pro Gly Leu Leu Phe Leu Leu Phe Ser Ser Leu Arg Ala Asp Thr Gln Glu Lys Glu Val Arg Ala Met Val Gly Ser Asp Val Glu Leu Ser Cys Ala Cys Pro Glu Gly Ser Arg Phe Asp Leu Asn Asp Val Tyr Val Tyr Trp Gln Thr Ser Glu Ser Lys Thr Val Val Thr Tyr His Ile Pro Gln Asn Ser Ser Leu Glu Asn Val Asp Ser Arg Tyr Arg Asn Arg Ala Leu Met Ser Pro Ala Gly Met Leu Arg Gly Asp Phe Ser Leu Arg Leu Phe Asn Val Thr Pro Gln Asp Glu Gln Lys Phe His Cys Leu Val Leu Ser Gln Ser Leu Gly Phe Gln Glu Val Leu Ser Val 115 Glu Val Thr Leu His Val Ala Ala Asn Phe Ser Val Pro Val Val Ser 135 Ala Pro His Ser Pro Ser Gln Asp Glu Leu Thr Phe Thr Cys Thr Ser Ile Asn Gly Tyr Pro Arg Pro Asn Val Tyr Trp Ile Asn Lys Thr Asp 170 165 Asn Ser Leu Leu Asp Gln Ala Leu Gln Asn Asp Thr Val Phe Leu Asn 180 185 Met Arg Gly Leu Tyr Asp Val Val Ser Val Leu Arg Ile Ala Arg Thr 195 200 Pro Ser Val Asn Ile Gly Cys Cys Ile Glu Asn Val Leu Leu Gln Gln 220 Asn Leu Thr Val Gly Ser Gln Thr Gly Asn Asp Ile Gly Glu Arg Asp 225 230 Lys Ile Thr Glu Asn Pro Val Ser Thr Gly Glu Lys Asn Ala Ala Thr Trp Ser Ile Leu Ala Val Leu Cys Leu Leu Val Val Ala Val Ala Ile Gly Trp Val Cys Arg Asp Arg Cys Leu Gln His Ser Tyr Ala Gly 280

<210> 13

<211> 267

5 <212> PRT

<213> ser humano

Glu Lys Glu Val Arg Ala Met Val Gly Ser Asp Val Glu Leu Ser Cys Ala Cys Pro Glu Gly Ser Arg Phe Asp Leu Asn Asp Val Tyr Val Tyr Trp Gln Thr Ser Glu Ser Lys Thr Val Val Thr Tyr His Ile Pro Gln Asn Ser Ser Leu Glu Asn Val Asp Ser Arg Tyr Arg Asn Arg Ala Leu Met Ser Pro Ala Gly Met Leu Arg Gly Asp Phe Ser Leu Arg Leu Phe Asn Val Thr Pro Gln Asp Glu Gln Lys Phe His Cys Leu Val Leu Ser Gln Ser Leu Gly Phe Gln Glu Val Leu Ser Val Glu Val Thr Leu His 105 Val Ala Ala Asn Phe Ser Val Pro Val Val Ser Ala Pro His Ser Pro 120 Ser Gln Asp Glu Leu Thr Phe Thr Cys Thr Ser Ile Asn Gly Tyr Pro 140 Arg Pro Asn Val Tyr Trp Ile Asn Lys Thr Asp Asn Ser Leu Leu Asp 155 Gln Ala Leu Gln Asn Asp Thr Val Phe Leu Asn Met Arg Gly Leu Tyr Asp Val Val Ser Val Leu Arg Ile Ala Arg Thr Pro Ser Val Asn Ile Gly Cys Cys Ile Glu Asn Val Leu Leu Gln Gln Asn Leu Thr Val Gly 200 Ser Gln Thr Gly Asn Asp Ile Gly Glu Arg Asp Lys Ile Thr Glu Asn Pro Val Ser Thr Gly Glu Lys Asn Ala Ala Thr Trp Ser Ile Leu Ala Val Leu Cys Leu Leu Val Val Val Ala Val Ala Ile Gly Trp Val Cys Arg Asp Arg Cys Leu Gln His Ser Tyr Ala Gly

<210> 14

<211> 276

5 <212> PRT

<213> ratón

Glu Thr Glu Val Gly Ala Met Val Gly Ser Asn Val Val Leu Ser Cys Ile Asp Pro His Arg Arg His Phe Asn Leu Ser Gly Leu Tyr Val Tyr Trp Gln Ile Glu Asn Pro Glu Val Ser Val Thr Tyr Tyr Leu Pro Tyr Lys Ser Pro Gly Ile Asn Val Asp Ser Ser Tyr Lys Asn Arg Gly His Leu Ser Leu Asp Ser Met Lys Gln Gly Asn Phe Ser Leu Tyr Leu Lys Asn Val Thr Pro Gln Asp Thr Gln Glu Phe Thr Cys Arg Val Phe Met Asn Thr Ala Thr Glu Leu Val Lys Ile Leu Glu Glu Val Val Arg Leu 105 Arg Val Ala Ala Asn Phe Ser Thr Pro Val Ile Ser Thr Ser Asp Ser 120 Ser Asn Pro Gly Gln Glu Arg Thr Tyr Thr Cys Met Ser Lys Asn Gly 135 Tyr Pro Glu Pro Asn Leu Tyr Trp Ile Asn Thr Thr Asp Asn Ser Leu 150 Ile Asp Thr Ala Leu Gln Asn Asn Thr Val Tyr Leu Asn Lys Leu Gly 170 Leu Tyr Asp Val Ile Ser Thr Leu Arg Leu Pro Trp Thr Ser Arg Gly 180 Asp Val Leu Cys Cys Val Glu Asn Val Ala Leu His Gln Asn Ile Thr 200 Ser Ile Ser Gln Ala Glu Ser Phe Thr Gly Asn Asn Thr Lys Asn Pro 215 Gln Glu Thr His Asn Asn Glu Leu Lys Val Leu Val Pro Val Leu Ala 235 Val Leu Ala Ala Ala Ala Phe Val Ser Phe Ile Ile Tyr Arg Arg Thr Arg Pro His Arg Ser Tyr Thr Gly Pro Lys Thr Val Gln Leu Glu Leu 265 Thr Asp His Ala 275

<210> 15

<211> 280

5 <212> PRT

<213> Secuencia artificial

<220>

<223> Descripción de secuencia artificial: oligonucleótido sintético

<400> 15

Glu Xaa Glu Val Xaa Ala Met Gly Val Ser Xaa Val Xaa Leu Ser Cys Xaa Xaa Pro Xaa Xaa Xaa Xaa Phe Xaa Leu Xaa Xaa Xaa Tyr Val Tyr 30 Trp Gln Xaa Xaa Xaa Xaa Xaa Xaa Val Thr Tyr Xaa Xaa Pro Xaa 40 Xaa Ser Xaa Xaa Xaa Asn Val Asp Ser Xaa Tyr Xaa Asn Arg Xaa Xaa Xaa Ser Xaa Xaa Met Xaa Xaa Gly Xaa Phe Ser Leu Xaa Leu Xaa Asn Val Thr Pro Gln Asp Xaa Gln Xaa Phe Xaa Cys Xaa Val Xaa Xaa 90 Xaa Xaa Xaa Xaa Xaa Xaa Xaa Xaa Leu Xaa Xaa Xaa Val Xaa Leu 100 Xaa Val Ala Ala Asn Phe Ser Xaa Pro Val Xaa Ser Xaa Xaa Xaa Ser 120 125 Xaa Xaa Xaa Xaa Glu Xaa Thr Xaa Thr Cys Xaa Ser Xaa Asn Gly Tyr Pro Xaa Pro Asn Xaa Tyr Trp Ile Asn Xaa Thr Asp Asn Ser Leu 155 150 Xaa Asp Xaa Ala Leu Gln Asn Xaa Thr Val Xaa Leu Asn Xaa Xaa Gly 170 165 Leu Tyr Asp Val Xaa Ser Xaa Leu Arg Xaa Xaa Xaa Thr Xaa Xaa Xaa 180 190 185 Xaa Xaa Xaa Cys Cys Xaa Glu Asn Val Xaa Leu Xaa Gln Asn Xaa Thr 200 Xaa Xaa Ser Gln Xaa Xaa Xaa Xaa Gly Xaa Xaa Lys Xaa Xaa Xaa 215 Xaa Xaa Xaa Xaa Xaa Xaa Xaa Lys Xaa Xaa Xaa Xaa Xaa Xaa Leu 225 Ala Val Leu Xaa Xaa Xaa Xaa Xaa Val Xaa Xaa Xaa Ile Xaa Xaa Xaa Arg Xaa Arg Xaa Xaa Xaa Xaa Ser Tyr Xaa Gly Xaa Xaa Xaa 265 260 Xaa Xaa Xaa Xaa Xaa Xaa Xaa

275

	<210>	16															
	<211>	1294															
	<212>	ADN															
	<213>	ser hu	ımano														
5	<220>																
	<221>	UTR e	en 5'														
	<222>	(1) ((199)														
	<220>																
	<221>	CDS															
10	<222>	(200)	(110	5)													
	<400>	16															
	gata	gta	cgc (ctgc	aggt	ac c	ggtc	cgga	a tt	cccg	ggtc	gac	ccac	gcg	tccg	cccacg	60
	cgto	cgcq	igg (agcgo	cagt	ta g	agcc	gate	t cc	cgcg	cccc	gag	gttg	ctc (ctct	ccgagg	120
	tete	ccg	cgg (ccaa	agtt	ct c	cgcg	cccc	g ag	gtct	ccgc	gcc	ccga	ggt (ctcc	gcggcc	180
	cgao	atci	tee o	rece	rcac	c at	a ca	a ct	a aa	c ad	t cc	t aa	a ct	a ct	c tt	c ctg	232
	* 2	•	,			Me				y Se						e Leū	
	a ta		250	200	att			~ ~ +			gag		~~~		_		280
	Leu	Phe	Ser	Ser	Leu	Arg	Ala	Asp	Thr	Gln	Glu	Lys	Glu	Val	Arg	Ala	200
				15					20					25			
											gct Ala						328
			30					35					40				
	cgt Ara	ttt	gat	tta Leu	aat	gat	gtt Val	tac	gta Val	tat	tgg Trp	caa Gln	acc Thr	agt Ser	gag Glu	tcg Ser	376
	nrd	45	nap	Dea	non	nop	50	-7-	¥u.i	-3-	***	55	****	001			
	aaa	acc	gtg	gtg	acc	tac	cac	atc	cca	cag	aac	agc	tcc	ttg	gaa	aac	424
	Lys 60	Thr	Val	Val	Thr	Tyr 65	His	Ile	Pro	Gln	Asn 70	ser	ser	Leu	GIU	75	
	gtg	gac	agc	cgc	tac	cgg	aac	cga	gcc	ctg	atg	tca	ccg	gcc	ggc	atg	472
	Val	Ásp	Ser	Arg	Tyr	Arg	Asn	Arg	Ala	Leu	Met	Ser	Pro	Ala	Gly	Met	

ctg Leu	cgg Arg	ggc Gly	gac Asp 95	ttc Phe	tcc Ser	ctg Leu	cgc Arg	ttg Leu 100	ttc Phe	aac Asn	gtc Val	acc Thr	ccc Pro 105	cag Gln	gac Asp	520
gag Glu	cag Gln	aag Lys 110	ttt Phe	cac His	tgc Cys	ctg Leu	gtg Val 115	ttg Leu	agc Ser	caa Gln	tcc Ser	ctg Leu 120	gga Gly	ttc Phe	cag Gln	568
							aca Thr									616
							cac His									664
							ggc Gly									712
							ctg Leu									760
							ggc Gly 195									808
agg	atc Ile 205	gca Ala	yrg	acc Thr	ccc Pro	agc Ser 210	gtg Val	aac Asn	att Ile	ggc Gly	tgc Cys 215	tgc Cys	ata Ile	gag Glu	aac Asn	856
							act Thr									904
atc Ile	gga Gly	gag Glu	aga Arg	gac Asp 240	aag Lys	atc Ile	aca Thr	gag Glu	aat Asn 245	cca Pro	gtc Val	agt Ser	acc Thr	ggc Gly 250	gag Glu	952
aaa Lys	aac Asn	Ala	gcc Ala 255	acg Thr	tgg Trp	agc Ser	atc Ile	ctg Leu 260	gct Ala	gtc Val	ctg Leu	tgc Cys	ctg Leu 265	Ctt Leu	gtg Val	1000
gtc Val	gtg Val	gcg Ala 270	gtg Val	gcc Ala	ata Ile	ggc Gly	tgg Trp 275	gtg Val	tgc Cys	agg Arg	gac Asp	cga Arg 280	tgc Cys	CtC Leu	caa Gln	1048
cac His	agc Ser 285	tat Tyr	gca Ala	ggt Gly	gcc Ala	tgg Trp 290	gct Ala	gtg Val	agt Ser	ccg Pro	gag Glu 295	aca Thr	gag Glu	ctc Leu	act Thr	1096
	cac His		tgac	cgga	gc t	cacc	gccc	a ga	gcgt	ggac	agg	gctt	ccg			1145
tgag	racgo	ca c	cgtg	agag	g cc	aggt	ggca	gct	tgag	cat	ggac	tccc	ag a	ctgo	agggg	1205
agca	cttg	gg g	cago	cccc	a ga	agga	ccac	tgc	tgga	tcc	cagg	gaga	ac c	tgct	ggcgt	1265
tggc	tgtg	at c	ctgg	aatg	a gg	ccct	ttc									1294

<210> 17

<211> 302

<212> PRT

<213> ser humano

<400> 17

Met Arg Leu Gly Ser Pro Gly Leu Leu Phe Leu Leu Phe Ser Ser Leu 10 Arg Ala Asp Thr Glu Glu Lys Glu Val Arg Ala Met Val Gly Ser Asp Val Glu Leu Ser Cys Ala Cys Pro Glu Gly Ser Arg Phe Asp Leu Asn Asp Val Tyr Val Tyr Trp Gln Thr Ser Glu Ser Lys Thr Val Val Thr Tyr His Ile Pro Gln Asn Ser Ser Leu Glu Asn Val Asp Ser Arg Tyr Arg Asn Arg Ala Leu Met Ser Pro Ala Gly Met Leu Arg Gly Asp Phe Ser Leu Arg Leu Phe Asn Val Thr Pro Gln Asp Glu Gln Lys Phe His 100 Cys Leu Val Leu Ser Gln Ser Leu Gly Phe Gln Glu Val Leu Ser Val 120 Glu Val Thr Leu His Val Ala Ala Asn Phe Ser Val Pro Val Val Ser 130 Ala Pro His Ser Pro Ser Gln Asp Glu Leu Thr Phe Thr Cys Thr Ser Ile Asn Gly Tyr Pro Arg Pro Asn Val Tyr Trp Ile Asn Lys Thr Asp Asn Ser Leu Leu Asp Gln Ala Leu Gln Asn Asp Thr Val Phe Leu Asn Met Arg Gly Leu Tyr Asp Val Val Ser Val Leu Arg Ile Ala Arg Thr Pro Ser Val Asn Ile Gly Cys Cys Ile Glu Asn Val Leu Leu Gln Gln Asn Leu Thr Val Gly Ser Gln Thr Gly Asn Asp Ile Gly Glu Arg Asp 225 Lys Ile Thr Glu Asn Pro Val Ser Thr Gly Glu Lys Asn Ala Ala Thr 250 Trp Ser Ile Leu Ala Val Leu Cys Leu Leu Val Val Val Ala Val Ala 260 Ile Gly Trp Val Cys Arg Asp Arg Cys Leu Gln His Ser Tyr Ala Gly Ala Trp Ala Val Ser Pro Glu Thr Glu Leu Thr Gly His Val 290 295 300

<210> 18

<211> 302

<212> PRT

<213> ser humano

Met Arg Leu Gly Ser Pro Gly Leu Leu Phe Leu Leu Phe Ser Ser Leu Arg Ala Asp Thr Gln Glu Lys Glu Val Arg Ala Met Val Gly Ser Asp Val Glu Leu Ser Cys Ala Cys Pro Glu Gly Ser Arg Phe Asp Leu Asn Asp Val Tyr Val Tyr Trp Gln Thr Ser Glu Ser Lys Thr Val Val Thr Tyr His Ile Pro Gln Asn Ser Ser Leu Glu Asn Val Asp Ser Arg Tyr 70 Arg Asn Arg Ala Leu Met Ser Pro Ala Gly Met Leu Arg Gly Asp Phe Ser Leu Arg Leu Phe Asn Val Thr Pro Gln Asp Glu Gln Lys Phe His Cys Leu Val Leu Ser Gln Ser Leu Gly Phe Gln Glu Val Leu Ser Val Glu Val Thr Leu His Val Ala Ala Asn Phe Ser Val Pro Val Val Ser 135 Ala Pro His Ser Pro Ser Gln Asp Glu Leu Thr Phe Thr Cys Thr Ser 150 Ile Asn Gly Tyr Pro Arg Pro Asn Val Tyr Trp Ile Asn Lys Thr Asp 170 Asn Ser Leu Leu Asp Gln Ala Leu Gln Asn Asp Thr Val Phe Leu Asn 185 Met Arg Gly Leu Tyr Asp Val Val Ser Val Leu Arg Ile Ala Arg Thr 200 Pro Ser Val Asn Ile Gly Cys Cys Ile Glu Asn Val Leu Leu Gln Gln 210 Asn Leu Thr Val Gly Ser Gln Thr Gly Asn Asp Ile Gly Glu Arg Asp Lys Ile Thr Glu Asn Pro Val Ser Thr Gly Glu Lys Asn Ala Ala Thr 245 Trp Ser Ile Leu Ala Val Leu Cys Leu Leu Val Val Val Ala Val Ala 265 Ile Gly Trp Val Cys Arg Asp Arg Cys Leu Gln His Ser Tyr Ala Gly Ala Trp Ala Val Ser Pro Glu Thr Glu Leu Thr Gly His Val 295 300

<210> 19

<212> PRT

<213> ratón

Met Gln Leu Lys Cys Pro Cys Phe Val Ser Leu Gly Thr Arg Gln Pro Val Trp Lys Lys Leu His Val Ser Ser Gly Phe Phe Ser Gly Leu Gly Leu Phe Leu Leu Leu Ser Ser Leu Cys Ala Ala Ser Ala Glu Thr Glu Val Gly Ala Met Val Gly Ser Asn Val Val Leu Ser Cys Ile Asp Pro His Arg Arg His Phe Asn Leu Ser Gly Leu Tyr Val Tyr Trp Gln Ile Glu Asn Pro Glu Val Ser Val Thr Tyr Tyr Leu Pro Tyr Lys Ser 85 90 95 Pro Gly Ile Asn Val Asp Ser Ser Tyr Lys Asn Arg Gly His Leu Ser Leu Asp Ser Met Lys Gln Gly Asn Phe Ser Leu Tyr Leu Lys Asn Val Thr Pro Gln Asp Thr Gln Glu Phe Thr Cys Arg Val Phe Met Asn Thr Ala Thr Glu Leu Val Lys Ile Leu Glu Glu Val Val Arg Leu Arg Val 150 Ala Ala Asn Phe Ser Thr Pro Val Ile Ser Thr Ser Asp Ser Ser Asn 170 Pro Gly Gln Glu Arg Thr Tyr Thr Cys Met Ser Lys Asn Gly Tyr Pro Glu Pro Asn Leu Tyr Trp Ile Asn Thr Thr Asp Asn Ser Leu Ile Asp 200 Thr Ala Leu Gln Asn Asn Thr Val Tyr Leu Asn Lys Leu Gly Leu Tyr 215 Asp Val Ile Ser Thr Leu Arg Leu Pro Trp Thr Ser Arg Gly Asp Val 230 235 Leu Cys Cys Val Glu Asn Val Ala Leu His Gln Asn Ile Thr Ser Ile Ser Gln Ala Glu Ser Phe Thr Gly Asn Asn Thr Lys Asn Pro Gln Glu 265 Thr His Asn Asn Glu Leu Lys Val Leu Val Pro Val Leu Ala Val Leu 275 Ala Ala Ala Ala Phe Val Ser Phe Ile Ile Tyr Arg Arg Thr Arg Pro 300 290 295

His Arg Ser Tyr Thr Gly Pro Lys Thr Val Gln Leu Glu Leu Thr Asp 305 310 315 320

His Ala

<210> 20

<211> 329

<212> PRT

5 <213> Secuencia artificial

<220>

<223> Descripción de secuencia artificial: Oligonucleótido sintético

Leu Phe Xaa Leu Leu Xaa Ser Ser Leu Xaa Ala Xaa Xaa Xaa Glu Xaa Glu Val Xaa Ala Met Val Gly Ser Xaa Val Xaa Leu Ser Cys Xaa Xaa Pro Xaa Xaa Xaa Xaa Phe Xaa Leu Xaa Xaa Xaa Tyr Val Tyr Trp Gln Xaa Xaa Xaa Xaa Xaa Xaa Val Thr Tyr Xaa Xaa Pro Xaa Xaa Ser Xaa Xaa Xaa Asn Val Asp Ser Xaa Tyr Xaa Asn Arg Xaa Xaa Xaa Ser Xaa Xaa Xaa Met Xaa Xaa Gly Xaa Phe Ser Leu Xaa Leu Xaa Asn Val Thr Pro Gln Asp Xaa Gln Xaa Phe Xaa Cys Xaa Val Xaa Leu Xaa Xaa Xaa Val Xaa Leu Xaa Val 150 155 Ala Ala Asn Phe Ser Xaa Pro Val Xaa Ser Xaa Xaa Xaa Ser Xaa Xaa 170 165 Xaa Xaa Xaa Glu Xaa Thr Xaa Thr Cys Xaa Ser Xaa Asn Gly Tyr Pro 180 Xaa Pro Asn Xaa Tyr Trp Ile Asn Xaa Thr Asp Asn Ser Leu Xaa Asp 200 Xaa Ala Leu Gln Asn Xaa Thr Val Xaa Leu Asn Xaa Xaa Gly Leu Tyr 215 210 Asp Val Xaa Ser Xaa Leu Arg Xaa Xaa Xaa Thr Xaa Xaa Xaa Xaa Xaa 235 230 Xaa Cys Cys Xaa Glu Asn Val Xaa Leu Xaa Gln Asn Xaa Thr Xaa Xaa 245 250

Ser Gln Xaa Xaa Xaa Xaa Xaa Gly Xaa Xaa Xaa Xaa Xaa Xaa Xaa Xaa 260 265 270

Xaa Xaa Xaa Xaa Xaa Xaa Lys Xaa Xaa Xaa Xaa Xaa Xaa Xaa Leu Ala 275 280 285

Val Leu Xaa Xaa Xaa Xaa Xaa Val Xaa Xaa Xaa Ile Xaa Xaa Xaa Xaa 290 295 300

Arg Xaa Arg Xaa Xaa Xaa Xaa Ser Tyr Xaa Gly Xaa Xaa Xaa Val Xaa 305 310 315 320

Xaa Glu Xaa Xaa Leu Thr Xaa His Xaa 325

<210> 21

<211> 1370

<212> ADN

5 <213> ser humano

<220>

<221> UTR en 5'

<222> (1) .. (165)

<220>

10 <221> CDS

<222> (166) .. (762)

aac	aatt	tca	caca	ggaa	ac a	gcta	tgac	c at	gatt	acgc	caa	gctc	taa	tacg	actcac	60
tat	aggg	aaa	gctg	gtac	gc c	tgca	ggta	c cg	gtcc	ggaa	ttc	ccgg	gtc	gacc	cacgcg	120
tcc	gtga	aca	ctga	acgc	ga ge	gact	gttaa	a ct	gttt	ctgg	caa				ca ggc er Gly	177
			ttc Phe													225
			ggt Gly													273
			att Ile 40		-											321
			ctg Leu													369
			gga Gly													417
tct Ser 85	cag Gln	tta Leu	tcc Ser	aac Asn	aac Asn 90	agt Ser	gtc Val	tct Ser	ttt Phe	ttt Phe 95	cta Leu	tac Tyr	aac Asn	ttg Leu	gac Asp 100	465
cat	***	ast.	~~~	220	tat	tac	ttc	tac	aac	cta	tca	att	+++	gat	cct	513

HIS	Ser	His	Ala	105	Tyr	Tyr	Phe	Cys	110	Leu	Ser	Ile	Phe	115	Pro	
	cct Pro															561
	caa Gln															609
•	ttt Phe 150	-		-	-		_		_				_	~ ~		657
	aaa Lys	_	_				-			-				_		705
atg Met	ttc Phe	atg Met	aga Arg	gca Ala 185	gtg Val	aac Asn	aca Thr	gcc Ala	aaa Lys 190	aaa Lys	tct Ser	aga Arg	ctc Leu	aca Thr 195	gat Asp	753
	acc Thr		taat	atgg	aa c	tetç	gcac	c ca	(ggca	tgaa	gca	cgtt	ggc			802
cagt	tttc	ct c	aact	tgaa	g tg	rcaag	atto	tct	tatt	tcc	g g ga	ccac	gg a	ıgagt	ctgac	862
ttaa	ctac	at a	cato	ttct	g ct	ggtg	ttt	gtt	caat	ctg	gaaç	raatg	ac t	gtat	cagtc	922
aatç	ggga	tt t	taac	agac	t go	cttg	gtac	tgc:	cgag	tcc	tctc	aaaa	ca a	acac	cctct	982
tgca	acça	igc t	ttgg	agaa	a go	ccag	ctco	tgt	gtge	tca	ctgg	gagt	gg a	atco	ctgtc	1042
tcca	cato	tg c	tcct	agca	g tg	cato	agco	agt	aaaa	caa	acac	attt	ac a	agaa	aaatg	1102
ttt	aaag	at g	ccag	gggt	a ct	gaat	ctgc	aaa	gcaa	atg	agca	gcca	ag g	acca	gcatc	1162
tgtc	cgca	tt t	cact	atca	t ac	taco	tett	ctt	tctg	tag	ggat	.gaga	at t	cctc	tttta	1222
atca	gtca	ag g	gaga	tgct	t ca	aagc	tgga	gct	attt	tat	ttct	gaga	tg t	.tgat	gtgaa	1282
ctgt	acat	ta g	taca	tact	c ag	tact	ctcc	ttc	aatt	gct	gaac	ccca	gt t	.gacc	atttt	1342
acca	agac	tt t	agat	gctt	t ct	tgtg	cc									1370

<210> 22

<211> 199

<212> PRT

5 <213> ser humano

Met Lys Ser Gly Leu Trp Tyr Phe Phe Leu Phe Cys Leu Arg Ile Lys 1 5 10 15

Val Leu Thr Gly Glu Ile Asn Gly Ser Ala Asn Tyr Glu Met Phe Ile 20 25 30

Phe His Asn Gly Gly Val Gln Ile Leu Cys Lys Tyr Pro Asp Ile Val 35 40 45

Gln Gln Phe Lys Met Gln Leu Leu Lys Gly Gln Ile Leu Cys Asp
50 55 60

Leu Thr Lys Thr Lys Gly Ser Gly Asn Thr Val Ser Ile Lys Ser Leu 65 70 75 80

Lys Phe Cys His Ser Gln Leu Ser Asn Asn Ser Val Ser Phe Phe Leu 85 90 95

Tyr Asn Leu Asp His Ser His Ala Asn Tyr Tyr Phe Cys Asn Leu Ser 100 105 110

Ile Phe Asp Pro Pro Pro Phe Lys Val Thr Leu Thr Gly Gly Tyr Leu 115 120 125

His Ile Tyr Glu Ser Gln Leu Cys Cys Gln Leu Lys Phe Trp Leu Pro 130 135 140

Ile Gly Cys Ala Ala Phe Val Val Val Cys Ile Leu Gly Cys Ile Leu 145 150 155 160

Ile Cys Trp Leu Thr Lys Lys Lys Tyr Ser Ser Ser Val His Asp Pro 165 170 175

Asn Gly Glu Tyr Met Phe Met Arg Ala Val Asn Thr Ala Lys Lys Ser 180 185 190

Arg Leu Thr Asp Val Thr Leu 195

<210> 23

<211> 199

5 <212> PRT

<213> ser humano

Met Lys Ser Gly Leu Trp Tyr Phe Phe Leu Phe Cys Leu Arg Ile Lys 10 Val Leu Thr Gly Glu Ile Asn Gly Ser Ala Asn Tyr Glu Met Phe Ile 25 Phe His Asn Gly Gly Val Gln Ile Leu Cys Lys Tyr Pro Asp Ile Val Gln Gln Phe Lys Met Gln Leu Leu Lys Gly Gly Gln Ile Leu Cys Asp Leu Thr Lys Thr Lys Gly Ser Gly Asn Thr Val Ser Ile Lys Ser Leu Lys Phe Cys His Ser Gln Leu Ser Asn Asn Ser Val Ser Phe Phe Leu Tyr Asn Leu Asp His Ser His Ala Asn Tyr Tyr Phe Cys Asn Leu Ser 105 Ile Phe Asp Pro Pro Pro Phe Lys Val Thr Leu Thr Gly Gly Tyr Leu His Ile Tyr Glu Ser Gln Leu Cys Cys Gln Leu Lys Phe Trp Leu Pro 135 Ile Gly Cys Ala Ala Phe Val Val Val Cys Ile Leu Gly Cys Ile Leu Ile Cys Trp Leu Thr Lys Lys Lys Tyr Ser Ser Ser Val His Asp Pro Asn Gly Glu Tyr Met Phe Met Arg Ala Val Asn Thr Ala Lys Lys Ser 185 Arg Leu Thr Asp Val Thr Leu 195

<210> 24

<211> 200

5 <212> PRT

<213> ratón

Met 1	Lys	Pro	Tyr	Phe 5	Cys	Arg	Va1	Phe	Val 10	Phe	Cys	Phe	Leu	Ile 15	Arg
Leu	Leu	Thr	G1y 20	Glu	Ile	Asn	Gly	Ser 25	Ala	Asp	His	Arg	Met 30	Phe	Ser
Phe	His	Asn 35	Gly	Gly	Val	Gln	Ile 40	Ser	Cys	Lys	Tyr	Pro 45	Glu	Thr	Val
Gln	Gln 50	Leu	Lys	Met	Arg	Leu 55	Phe	Arg	Glu	Arg	Glu 60	Val	Leu	Cys	Glu
Leu 65	Thr	Lys	Thr	Lys	Gly 70	Ser	Gly	Asn	Ala	Val 75	Ser	Ile	Lys	Asn	Pro 80
Met	Leu	Cys	Leu	Tyr 85	His	Leu	Ser	Asn	Asn 90	Ser	Val	Ser	Phe	Phe 95	Leu
Asn	Asn	Pro	Asp 100	Ser	Ser	Gln	Gly	Ser 105	Tyr	Tyr	Phe	Cys	Ser 110	Leu	Ser
Ile	Phe	Asp 115	Pro	Pro	Pro	Phe	Gln 120	Glu	Arg	Asn	Leu	Ser 125	Gly	Gly	Tyr
Leu	His 130	Ile	Tyr	Glu	Ser	Gln 135	Leu	Cys	Cys	Gln	Leu 140	Lys	Leu	Trp	Leu
Pro 145	Val	Gly	Cys	Ala	Ala 150	Phe	Val	Val	Val	Leu 155	Leu	Phe	Gly	Cys	Ile 160
Leu	Ile	Ile	Trp	Phe 165	Ser	Lys	Lys	Lys	Tyr 170	Glу	Ser	Ser	Val	His 175	Asp
Pro	Asn	Ser	Glu 180	Tyr	Met	Phe	Met	Ala 185	Ala	Val	Asn	Thr	Asn 190	Lys	Lys
Ser	Arg	Leu 195	Ala	Gly	Val	Thr	Ser 200								

<210> 25

<211> 24

<212> ADN

5 <213> Secuencia artificial

<220>

<223> Descripción de secuencia artificial: Oligonucleótido sintético

<400> 25

accatgcggc tgggcagtcc tgga

24

10 <210> 26

<211> 23

<212> ADN

<213> Secuencia artificial

<220>

	<223> Descripción de secuencia artificial: Oligonucleótido sintético	
	<400> 26	
	tggtgaccta ccacatecca cag	23
	<210> 27	
5	<211> 23	
	<212> ADN	
	<213> Secuencia artificial	
	<220>	
	<223> Descripción de secuencia artificial: Oligonucleótido sintético	
10	<400> 27	
	teegatgtea ttteetgtet gge	23
	<210> 28	
	<211> 24	
	<212> ADN	
15	<213> Secuencia artificial	
	<220>	
	<223> Descripción de secuencia artificial: Oligonucleótido sintético	
	<400> 28	
	gctctgtctc cggactcaca gccc	24
20	<210> 29	
	<211> 28	
	<212> ADN	
	<213> Secuencia artificial	
	<220>	
25	<223> Descripción de secuencia artificial: Oligonucleótido sintético	
	<400> 29	
	gtggcagcaa acttcagcgt gcccgtcg	28
	<210> 30	
	<211> 28	
30	<212> ADN	
	<213> Secuencia artificial	
	<220>	
	<223> Descripción de secuencia artificial: Oligonucleótido sintético	
	<400> 30	
35	cccaacgtgt actggatcaa taagacgg	28

	<210> 31	
	<211> 28	
	<212> ADN	
	<213> Secuencia artificial	
5	<220>	
	<223> Descripción de secuencia artificial: Oligonucleótido sintético	
	<400> 31	
	gcgtgctgag gatcgcacgg acccccag	28
	<210> 32	
10	<211> 21	
	<212> ADN	
	<213> Secuencia artificial	
	<220>	
	<223> Descripción de secuencia artificial: Oligonucleótido sintético	
15	<400> 32	
	gcctctagaa agagctggga c	21
	<210> 33	
	<211> 21	
	<212> ADN	
20	<213> Secuencia artificial	
	<220>	
	<223> Descripción de secuencia artificial: Oligonucleótido sintético	
	<400> 33	
	cgccgtgttc catttatgag c	21
25	<210> 34	
	<211> 18	
	<212> ADN	
	<213> Secuencia artificial	
	<220>	
30	<223> Descripción de secuencia artificial: Oligonucleótido sintético	
	<400> 34	
	gcatatttat gaatccca	18
	<210> 35	
	<211> 18	
35	<212> ADN	

5	actattaggg tcatgcac
	<400> 35
	<223> Descripción de secuencia artificial: Oligonucleótido sintético
	<220>
	<213> Secuencia artificial

REIVINDICACIONES

- 1. Molécula de ácido nucleico aislada que comprende una secuencia de nucleótidos seleccionada de:
 - a) la secuencia de nucleótidos expuesta en la figura 12A (SEQ ID NO: 16);
 - b) la secuencia de nucleótidos que codifica para el polipéptido expuesto en la figura 12A (SEQ ID NO: 17) de los residuos 1-302, o de los residuos 19-302, 20-302, 21-302, 22-302, 24-302 ó 28-302; o
 - c) una secuencia de nucleótidos complementaria a cualquiera de (a) o (b).
- 2. Molécula de ácido nucleico según la reivindicación 1, en la que la secuencia de nucleótidos está operativamente unida a una secuencia de control de la expresión.
- 3. Célula huésped que comprende la molécula de ácido nucleico según la reivindicación 2.
- 10 4. Célula huésped según la reivindicación 3, que es una célula eucariota.

5

- 5. Célula huésped según la reivindicación 3, que es una célula procariota.
- 6. Procedimiento para producir un polipéptido codificado por el ácido nucleico según la reivindicación 1 ó 2 que comprende hacer crecer un cultivo de la célula huésped según la reivindicación 3 en un medio de cultivo adecuado y aislar el polipéptido del cultivo.
- 7. Polipéptido producido mediante el procedimiento según la reivindicación 6.
 - 8. Polipéptido codificado por la molécula de ácido nucleico según la reivindicación 1.
 - 9. Polipéptido aislado que comprende la secuencia de aminoácidos seleccionada de:
 - a) la secuencia de aminoácidos expuesta en la figura 3A (SEQ ID NO: 12) o la figura 12A (SEQ ID NO: 17); o
- b) la secuencia de aminoácidos madura expuesta en la figura 3A (SEQ ID NO: 12) que comprende un extremo amino-terminal maduro en cualquiera de los residuos 19, 20, 21, 22, 24 ó 28, o la figura 12A (SEQ ID NO: 17) que comprende un extremo amino-terminal maduro en cualquiera de los residuos 19, 20, 21, 22, 24 ó 28.
 - Anticuerpo o fragmento del mismo, que se une al polipéptido según la reivindicación 7.
- 25 11. Anticuerpo o fragmento del mismo, que se une al polipéptido según la reivindicación 8.
 - 12. Anticuerpo o fragmento del mismo, que se une al polipéptido según la reivindicación 9.
 - 13. Anticuerpo o fragmento del mismo según la reivindicación 10, 11 ó 12, que es un anticuerpo monoclonal o fragmento del mismo.
- 14. Anticuerpo o fragmento del mismo según la reivindicación 10, 11 ó 12, que es un anticuerpo humano o fragmento del mismo.
 - 15. Anticuerpo o fragmento del mismo según la reivindicación 10, 11 ó 12, que es un anticuerpo humanizado o injertado con CDR o un fragmento del mismo.
 - 16. Anticuerpo o fragmento del mismo según la reivindicación 10, que inhibe la unión del polipéptido según la reivindicación 7, 8 ó 9 al polipéptido maduro expuesto en la figura 13A.
- 35 17. Composición que comprende el polipéptido según la reivindicación 7, 8 ó 9 y un portador, adyuvante, solubilizante, estabilizador o antioxidante farmacéuticamente aceptable.
 - 18. Polipéptido según la reivindicación 7, 8 ó 9, que se ha modificado químicamente.
 - 19. Polipéptido según la reivindicación 18, que se ha modificado químicamente mediante la adición de uno o más polímeros solubles en agua.
- 40 20. Polipéptido de fusión que comprende el polipéptido según la reivindicación 7, 8 ó 9 fusionado a una secuencia de aminoácidos heteróloga.
 - 21. Polipéptido de fusión según la reivindicación 20, en el que la secuencia de aminoácidos heteróloga es un dominio constante de IgG o fragmento del mismo.
 - 22. Uso de un polipéptido según la reivindicación 7, 8 ó 9 para la preparación de un medicamento para tratar,

- prevenir o mejorar un trastorno mediado por células T.
- 23. Método de diagnóstico de un trastorno mediado por células T o una susceptibilidad a un trastorno mediado por células T en un animal que comprende:
 - a) determinar la presencia o cantidad de expresión del polipéptido según la reivindicación 7, 8 ó 9; y
- b) diagnosticar un trastorno mediado por células T o una susceptibilidad a un trastorno mediado por células
 T basándose en la presencia o cantidad de expresión del polipéptido.
 - 24. Método de identificación de una molécula de prueba que se une al polipéptido según la reivindicación 7, 8 ó 9 que comprende:
 - a) poner en contacto el polipéptido según la reivindicación 7, 8 ó 9 con una molécula de prueba; y
- b) determinar el grado de unión del polipéptido a la molécula de prueba.
 - 25. Método según la reivindicación 24, que comprende además determinar la actividad del polipéptido cuando está unido a la molécula de prueba.
 - 26. Uso de una molécula de ácido nucleico según la reivindicación 1 ó 2 para la preparación de un medicamento para regular la activación o proliferación de células T en un animal.
- 15 27. Mamífero no humano transgénico que comprende la molécula de ácido nucleico según la reivindicación 2.
 - 28. Uso de un antagonista para la preparación de un medicamento para suprimir una respuesta inmunitaria en un animal, en el que el antagonista es un anticuerpo o fragmento del mismo que se une al polipéptido según la reivindicación 7, 8 ó 9.
- 29. Polipéptido según la reivindicación 7, 8 ó 9 para tratar, prevenir o mejorar un trastorno mediado por células T.
 - 30. Molécula de ácido nucleico según la reivindicación 1 ó 2 para su uso en la regulación de la activación o proliferación de células T en un animal.
 - Antagonista para suprimir una respuesta inmunitaria en un animal, en el que el antagonista es un anticuerpo o fragmento del mismo que se une al polipéptido según la reivindicación 7, 8 ó 9.
- 25 32. Uso según la reivindicación 28 para el tratamiento de trastornos autoinmunitarios.
 - Antagonista según la reivindicación 31 para su uso en el tratamiento de trastornos autoinmunitarios.
 - 34. Uso según la reivindicación 32 o antagonista según la reivindicación 33, en el que el trastorno autoinmunitario es uno cualquiera de artritis reumatoide, psoriasis, esclerosis múltiple, diabetes y lupus eritematoso sistémico.
- 35. Uso de un antagonista para la preparación de un medicamento para tratar una enfermedad inflamatoria crónica, en el que el antagonista es un anticuerpo o fragmento del mismo que se une al polipéptido según la reivindicación 7, 8 ó 9.

FIGURA 1A

ATG M	AAG K	CCG P	TAC Y	TTC F 5	TGC C	CGT R	GTC V	TTT E	GTC 7	TTC	:GC C	TTC F	CTA	J.	45
AGA R	CTT L	TTA L	ACA T	GGA	gaa •e	ATC I	aat N	GGC G		GCC A	GAT D	CAT H	AGG R	ATG M 30	90
TTT F	TCA S	TTT F	CAC H	AAT N 35	GGA G	GGT G	GTA V	CAG Q	ATT I 40	TCT S	TGT C	A AA K	TAC Y	CCT P 45	135
GAG E	ACT T	GTC V	CAG Q	CAG Q 50	TTA L	AAA K	atg M	CGA R	TTG L 55	TTC F	AGA R	GAG E	AGA R	GAA E 60	180
GTC V	CTC L	TGC C	GAA E	CTC L 65	ACC T	aag K	ACC T	aag K	GGA G 70	AGC S	GGA G	AAT N	GCG A	GTG V 75	225
TCC S	ATC I	AAG K	aat N	CCA P 80	ATG M	CTC L	TGT C	CTA L	TAT Y 85	CAT H	CTG L	TCA S	AAC N	AAC N 90	270
AGC S	GTC V	TCT S	TTT F	TTC F 95	CTA L	AAC N	AAC N	P CCA	GAC D 100	AGC S	TCC S	CAG Q	GGA G	AGC S 105	315
TAT Y	TAC Y	TTC F	TGC C	AGC S 110	CTG L	TCC S	ATT I	TTT F	GAC D 115	CCA P	CCT P	CCT P	TTT F	CAA Q 120	360
GAA E	AGG R	AAC N	CTT L	AGT S 125	GGA G	GGA G	TAT Y	TTG L	CAT H 130	att I	TAT Y	GAA E	TCC S	CAG Q 135	405
CTC L	TGC C	TGC C	CAG Q	CTG L 140	AAG K	CTC L	TGG W	CTA L	CCC p 145	GTA V	GGG G	TGT C	GCA A	GCT _A 	450
TTC E	GTT V	GTG V	GTA V	CTC L 155	CTT L	TTT F		TGC C	АТА 1 160	CTT L	ATC I	ATC I	TGG W	TTT F 165	495
TCA S	aaa K	aag K	AAA K	TAC Y 170	GGA G	TCC S		gtg V	CAT H 175	GAC D	CCT P	aat N	agt S	GAA E 180	540
TAC Y	ATG M	TTC F	atg M	GCG A 185	GCA A	GTC V	AAC N	ACA T	AAC N 190	AAA K	AAG K	TCT S	AGA R	CTT L 195	585
GCA A	GGT G	GTG V	ACC T	TCA S 200	ř										600

FIGURA 1B

mCRP1		FCFLIRLL				39
mCD28	MT	LRLLFL	ALNFFSVQVT	ENKILVKQSP	LLVVDSNEVS	38
Consenso	мт.	RLL		********		
mCRP1	ISCKYPETV-	-QQLKMRLFR	EREV-LCE	LTKTKGSGNA	VSIKNPMLCL	24
mCD28	LSCRYSYNLL	AKEFRASLYK	GVNSDVEVCV	GNGNFTYQPQ	FRSNAEFNCD	38
Consenso	. SC . Y	L	vc.	• • • • • • • • • • • •	c.	
mCRP1	YHLSNNSVSF	FLNNPDSSQG	SYYFCSLSIF	DPPPFOERNL	SGGYL-HIYE	133
mCD28		RLWNLHVNHT				138
Consenso		.L.N				
mCRP1	SOLCCOL	KL-W-LPVGC	AA-FVVVLLF	GCIL-IIWFS	KKKYGS	172
mCD28	KHLCHTOSSP	KLFWALVVVA	GVLFCYGLLV	TVALCVIWIN	SRRNRLLQVT	188
Consenso	LC	KL.W.L.V	FLL.	LIW		
mCRP1	SVH-DPNSEY	MFMAAVNTNK	KSR-LAGVTS			200
mCD28	TMNMTPRRPG	LTRKPYQPYA	PARDFAAYRP			218
Consenso	P		RA			

FIGURA 2A

atg M	CAG Q	CTA L	aag K	TGT C 5	5 CCC	TGT C	TTT	GTG V	TCC 3 10	TTG E	GGA G	ACC T	AGG R	CAG Q 15	45
CCT P	GTT V	TGG N	AAG K	AAG K 20	CTC L	CAT H	GTT V	TCT S	AGC S 25	GGG G	TTC F	TTT P	TCT S	GGT <u>G</u> 30	90
CTT	GGT G	CTG L	TTC F	TTG L 35	CTG L	CTG L	TTG L	AGC S	AGC S 40	CTC L	TGT C	GCT A	GCC A	TCT S 45	135
GCA A	GAG E	ACT T	GAA E	GTC V 50	GGT G	GCA A	ATG M	gtg V	GGC G 55	AGC S	aat N	GTG V	gtg V	CTC L 60	180
AGC S	TGC C	ATT I	GAC D	CCC P 65	CAC H				TTC F 70	AAC N	TTG L	AGT S	GGT G	CTG L 75	225
TAT Y	GTC V	TAT Y	TGG W	CAA Q 80	ATC I	gaa E	AAC N	CCA P	GAA E 85	GTT V	TCG S	gtg V	ACT T	TAC Y 90	270
TAC Y	CTG CTG	CCT P	TAC Y	AAG K 95	TCT S	CCA P		ATC I	AAT N 100	gtg V	GAC D	agt s	TCC S	TAC Y 105	315
aag K	aac N	AGG R	GGC G	CAT H 110	CTG L	TCC S	CTG L	GAC D	TCC S 115	atg H	aag K	CAG Q	ggt g	AAC N 120	360
TTC F	TCT S	CTG L	TAC Y	CTG L 125		AAT N	GTC V	ACC T	CCT P 130	CAG Q	GAT D	ACC T	CAG Q	GAG E 135	405
TTC F	ACA T	TGC C	CGG R	GTA V 140	TTT F	atg M	aat N	ACA T	GCC A 145	ACA T	gag E	TTA L	GTC V	AAG K 150	450
ATC I	TTG L	gaa e	GAG E	GTG V 155	GTC V	agg R			GTG V 160		GCA A		TTC F	AGT S 165	495
ACA T	CCT P	GTC V	ATC I	AGC S 170	ACC T	TCT S	GAT D	AGC S	TCC S 175	aac N	P CCG	GGC G	CAG Q	GAA E 180	540
CGT R	ACC T	TAC Y	ACC T	TGC C 185	M	TCC S	aag K	N	GGC G 190	Y	CCA P	GAG E	CCC P	AAC N 195	585
CTG L	TAT Y	TGG W	ATC I	AAC N 200	ACA T	ACG T	GAC D	aat N	AGC S 205	L	ATA I	GAC D	ACG T	GCT A 210	630
CTG L	CAG Q	aat N	aac N	ACT T 215	GTC V	TAC Y	TTG L	AAC N	AAG K 220	L.	GGC G	CTG L	TAT Y	GAT D 225	675
GTA V	ATC I	AGC S	ACA T	TTA L 230	AGG R	CTC L	CCT P	TGG W	ACA T 235	TCT S	CGT R	GGG G	GAT D	GTT V 240	720

FIGURA 2A (Continuación)

CTG L	TGC C	TGC C	GTA V	GAG E 245	AAT N	GTG V	GCT A	CTC L	CAC H 250	CAG Q	AAC N	ATC I	ACT T	AGC S 255	755
ATT I	AGC S	CAG Q	GCA A	GAA 2 260	AGT S	TTC F	ACT T	GGA G	AAT N 265	AAC N	ACA T	AAG K	AAC N	CCA P 270	810
CAG Q	GAA E	ACC T	CAC H	AAT N 275	AAT N	GAG E	TTA L	AAA K		CTT L	GTC V	p CCC	GTC V	CTT L 285	855
GCT A	gta V	CTG L	GCG A	GCA A 290	GCG A	gca A	TTC F	GTT V	TCC S 295	TTC F	ATC	ATA I	TAC Y	AGA R 300	900
CGC R	ACG T	CGT R	P CCC	CAC H 305	CGA R	AGC S	TAT Y	ACA T	GGA G 310	CCC P	AAG K	ACT T	GTA V	CAG Q 315	945

FIGURA 2B

mB7RP1 mCD80 Consenso	MQLKCPCFVS MACNCQ MC.C	LMQDTPL	LKFPCPRLI-	L-LFVLLIRL	SOVSSDVDEG	11
mB7RP1	VGAMVGSNVV	LSCIDPHRRH	FNLSGLYVYW	QIENPEVSVT	YYLPYKSPGI	99
mCD80	LSKSVKDKVL	LPC-RYNSPH	EDESEDRIYW	QKHDKVV	LSVIAGKL	35
Consenso	vv.	L.C H	syw	Qv	L	
mB7RP1	NVDSSYKNRG	HLSLDSMKQG	NFSLYLKNVT	PODTOEFTCR	VFMNTATELV	149
mCD80	KVWPEYKNR-	TLYDNT	TYSLIILGLV	LSDRGTYSCV	VOKKERGTYE	130
Consenso	.VYIQNR.	L	SL	DC.	V	
mB7RP1	KILEEVVRLR	VAANFSTPVI	STSDSSNPGQ	ERTYTCMSKN	GYPEPNLYWI	199
mCD80	VKHLALVKLS	IKADFSTPNI	TESGNPSADT	KRI-TCFASG	GFPKPRFSWL	179
Consenso	V.L.	A.FSTP.I	S	.RTC	G.P.PW.	
mB7RP1	-NTTDNSLID	TALQNNTVYL	NKLGLYDVIS	TLRLPWTSRG	DVLCCVENVA	248
mCD80	ENGRELPGIN	TTISQDPESE	LYTISSQLDF	NTTRNHTIKC	LIKYGDAHVS	229
Consenso	.NI.	T	******	T	V .	
mB7RP1	LHQNITSISQ					297
mCD80	EDFTWEKPPE	DPPDSKNTLV	LFGAGFGAVI	TVVVIVVIIK	CFCKHRSCFR	279
Consenso		N		.v.v.v	······································	
mB7RP1	IYRRTR-PHR	SYT-GPKTVQ	LELTDHA			322
	RNEASRETNN	SLTFGPEEAL	AEQTVFL			306
Consenso		S.T.GP.J.				

FIGURA 3A

ATG CGG	CTG GGC	AGT CC1 S P 5	G GA	СТG L	CTC L	TTC F	CTG L	CTC L	TTC F	AGC S	AGC S 15	45
CTT CGA	GCT GAT A *D	ACT CAC	GAG •E	AAG K	GAA E		AGA R		ATG 'M	GTA V	GGC G 30	90
AGC GAC	GTG GAG	CTC AGG L S 35	: TGC C	GCT A	TGC C	CCT P 40	gaa E	GGA G	AGC S	CGT R	TTT F 45	135
GAT TTA D L	AAT GAT N D	GTT TAC V Y 50		TAT Y	TGG W	CAA Q 55	ACC T	AGT S	GAG E	TCG S	AAA K 60	180
ACC GTG	GTG ACC	TAC CAC Y H 65		CCA P	CAG Q	AAC N 70	AGC S	TCC S	TTG L	GAA E	AAC N 75	225
GTG GAC	AGC CGC S R	TAC CGC Y R 80		CGA R	GCC A	CTG L 85	atg M	TCA S	CCG P	GCC A	GGC G 90	270
ATG CTG	CGG GGC R G	GAC TTO D F 95		CTG L	CGC R	TTG L 100	TTC F	AAC N	GTC V	ACC T	CCC P 105	315
CAG GAC	GAG CAG E Q	AAG TTT K F 110		TGC C	CTG L	GTG V 115	TTG L	AGC S	6 CWV	TCC S	CTG L 120	360
GGA TTC G F	CAG GAG Q E	GTT TTC V L 125	, AGC S	GTT V	GAG E	GTT V 130	ACA T		CAT H	g tg V	GCA A 135	405
GCA AAC A N	TTC AGO	GTG CCC		GTC V	AGC S	GCC A 145	CCC	CAC H	AGC S	CCC	TCC S 150	450
CAG GAT	GAG CTC	ACC TTO T F 155		TGT C	ACA T	TCC S 160	ata I	AAC N	GGC G	TAC Y	CCC P 165	495
AGG CCC R P	AAC GTO N V	TAC TGG Y W 170	i I	aat N	AAG K	ACG T 175	GAC D	AAC N	AGC S	CTG L	CTG L 180	540
GAC CAG D Q	GCT CTC	CAG AA' Q N 185	r gac D	ACC T	GTC V	TTC F 190	L	AAC N	ATG M	CGG R	GGC G 195	585
TTG TAT	GAC GTO	GTC AG V S 200	GTG V	CTG L	AGG R	ATC I 205	GCA A	CGG R	ACC T	5 CCC	AGC S 210	630
GTG AAC	ATT GG	C C 215	I ATA	GAG E	AAC N	GTG V 220	CTT L	CTG L	CAG Q	CAG Q	AAC N 225	675
CTG ACT	v G	S Q 230	G ACA T	GGA G	aat N	GλC D 235	L	GGA G	GAG E	AGA R	GAC D 240	720

FIGURA 3A (Continuación)

X X	ATC I	ACA T	GAG Ξ	AAT N 245	P P	GTC V	AGT S	ACC T		GAG E	AAA K	AAC N	GCG A	GCC A 255	765
ACG T	TGG W	AGC S	ATC I	CTG 	GCT A	GTC V	CTG L	TGC C	CTG L 265	CTT L	GTG V	GTC V	GTG V	GCG A 270	910
GTG V	GCC A	ATA I	GGC G		gtg V	TGC C	AGG R	GAC D		TGC C	ctc L	CAA Q	CAC H		855
TAT Y	GCA A	GGT G 288													864

FIGURA 3B

hB7RPl	EKEVRAMVGS	DVELSCACPE	GSRFDLNDVY	VYWOTSESKT	VVTYHIPONS	# 0
mB7RP1	ETEVGAMVGS	NVVLSCIDPH	RRHFNLSGLY	VYWOTENDEV	SVTVYLEVKS	50
Consenso	E.EV.AMVGS	.V.LSCP.	#F.LY	VYWQ	.VTYPS	
hB7RP1	SLENVDSRYR	NRALMS PAGM	LRGDFSLRLF	NVTPODEOKF	HCLVLSO-SL	99
mB7RP1	PGINVDSSYK	NRGHLSLDSM	KOGNFSLYLK	NVTPODTOEF	TCRVFMNTAT	100
Consenso		NRSM				
hB7RP1	GFQEVLSVEV	TLHVAANFSV	PVVSAPHSPS	O-DELTFTCT	SINGYPRPNV	143
mB7RP1	ELVKILEEVV					150
Consenso		.L.VAANFS.				
hB7RP1	YWINKTONSL	LDOALONDTV	FLNMRGLYDV	VSVLRIARTP	SVNIGCCIEN	198
mB7RP1	YWINTTONSL					200
Consenso		.D.ALQN.TV				
hB7RP1	VLLQQNLTVG	SOTGNDIGER	DKITENPVST	GEKNAATWSI	LAVICLLVVV	248
mB7RP1	VALHONITSI					248
Consenso	V.L.QN.T	sq	.K	ĸ7	LAVLV	
hB7RP1	AVAIGWVCRD	RCLOHSYAG				257
mB7RP1	SFIIYRRT		KTVQLELTDH	A		276
Conconco		R SY.G.				

Figura 4A

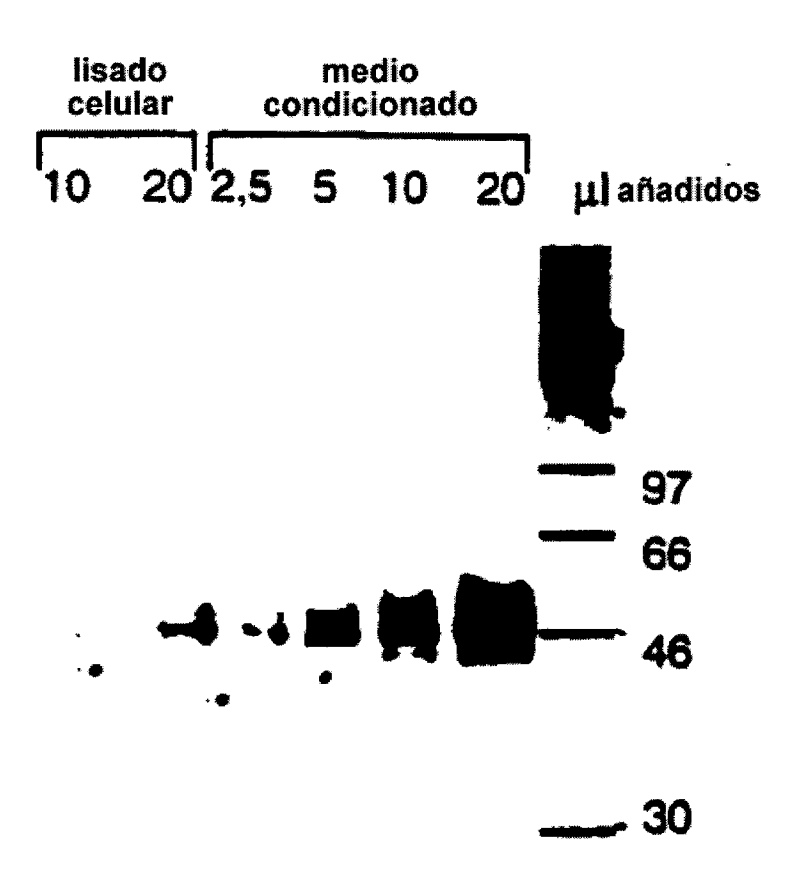
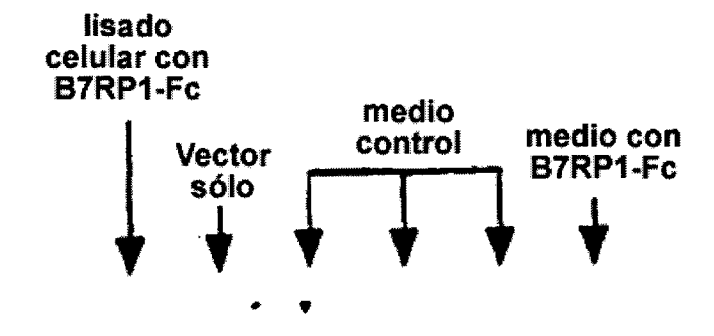


Figura 4B





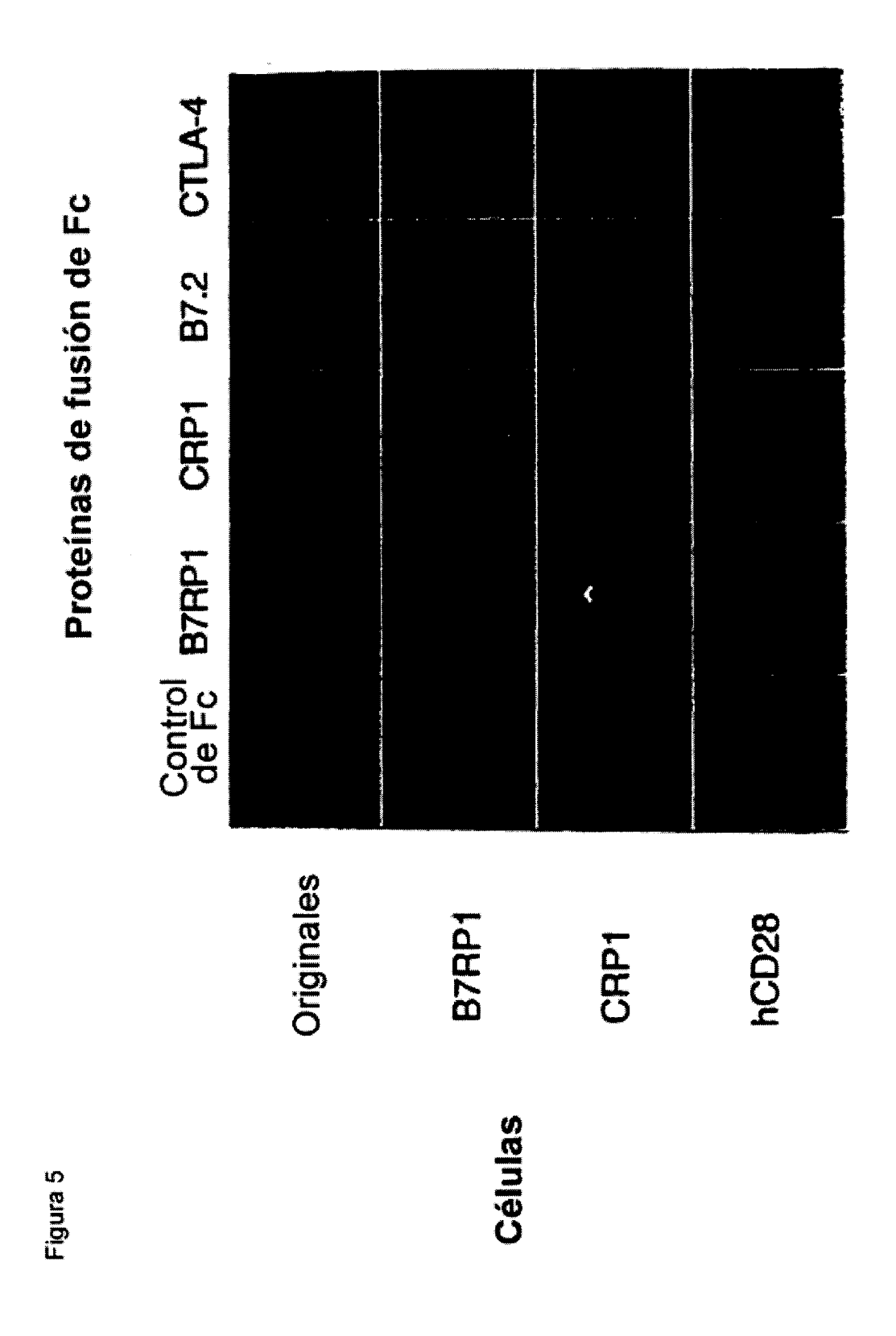


Figura 6

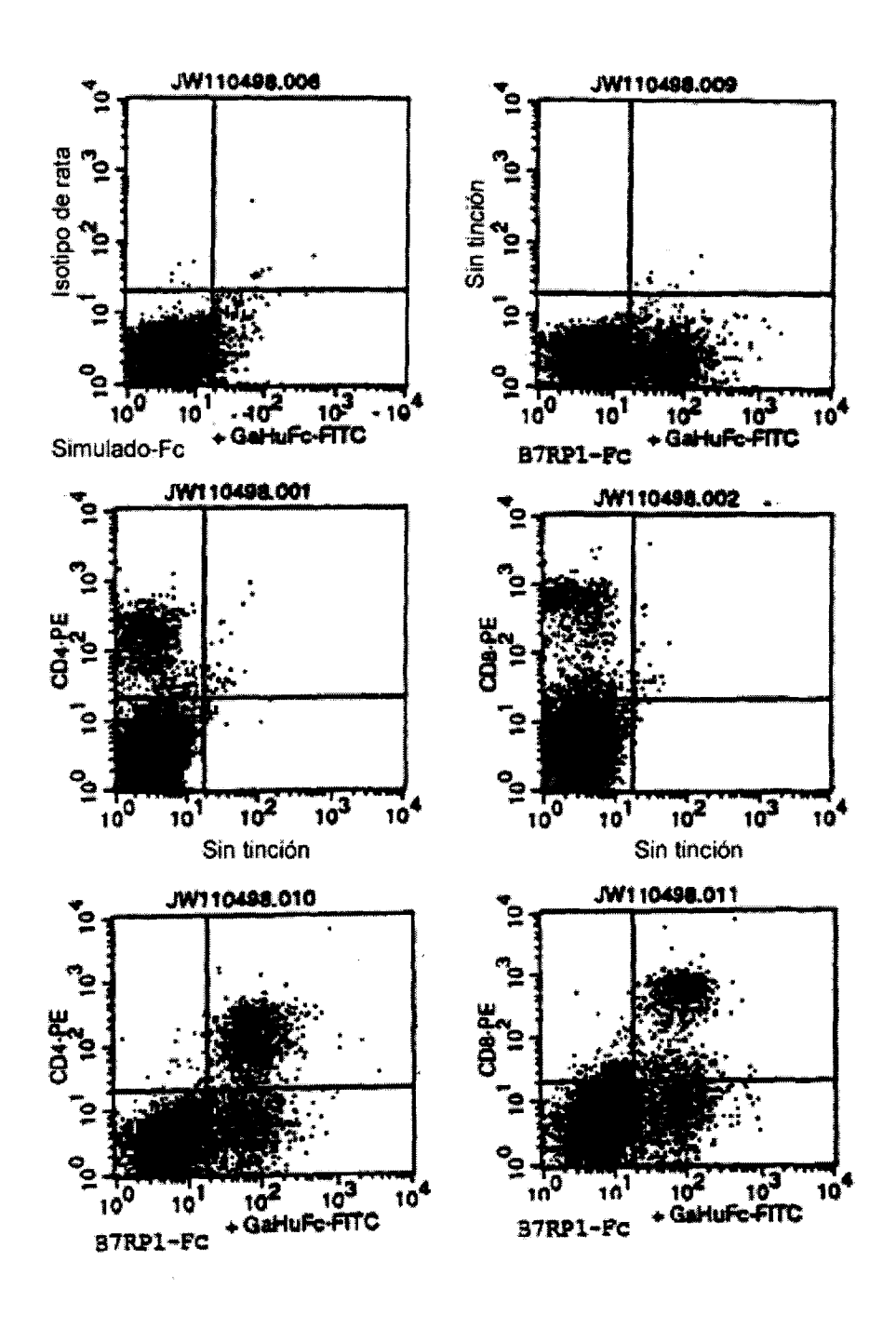
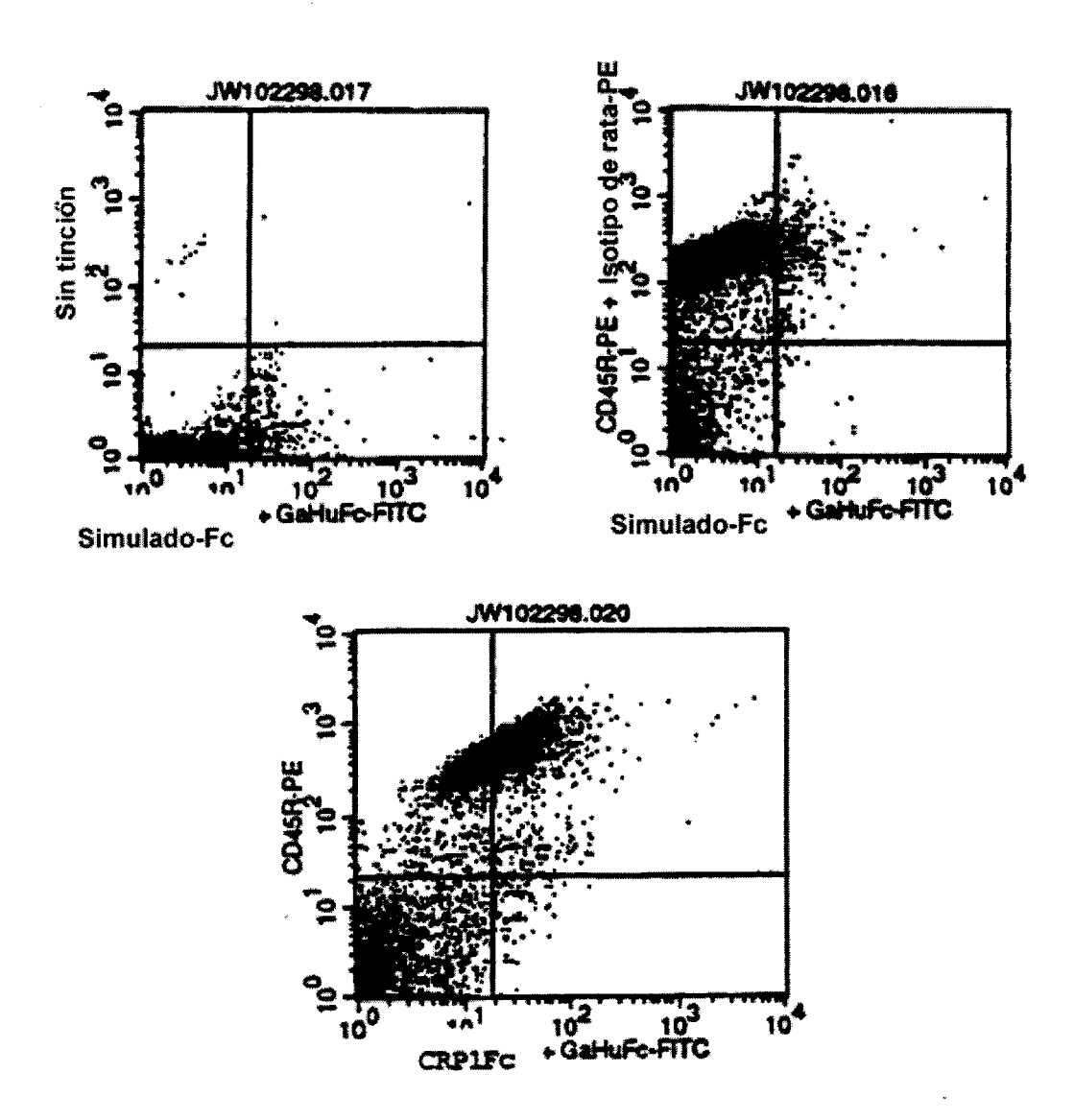


Figura 7





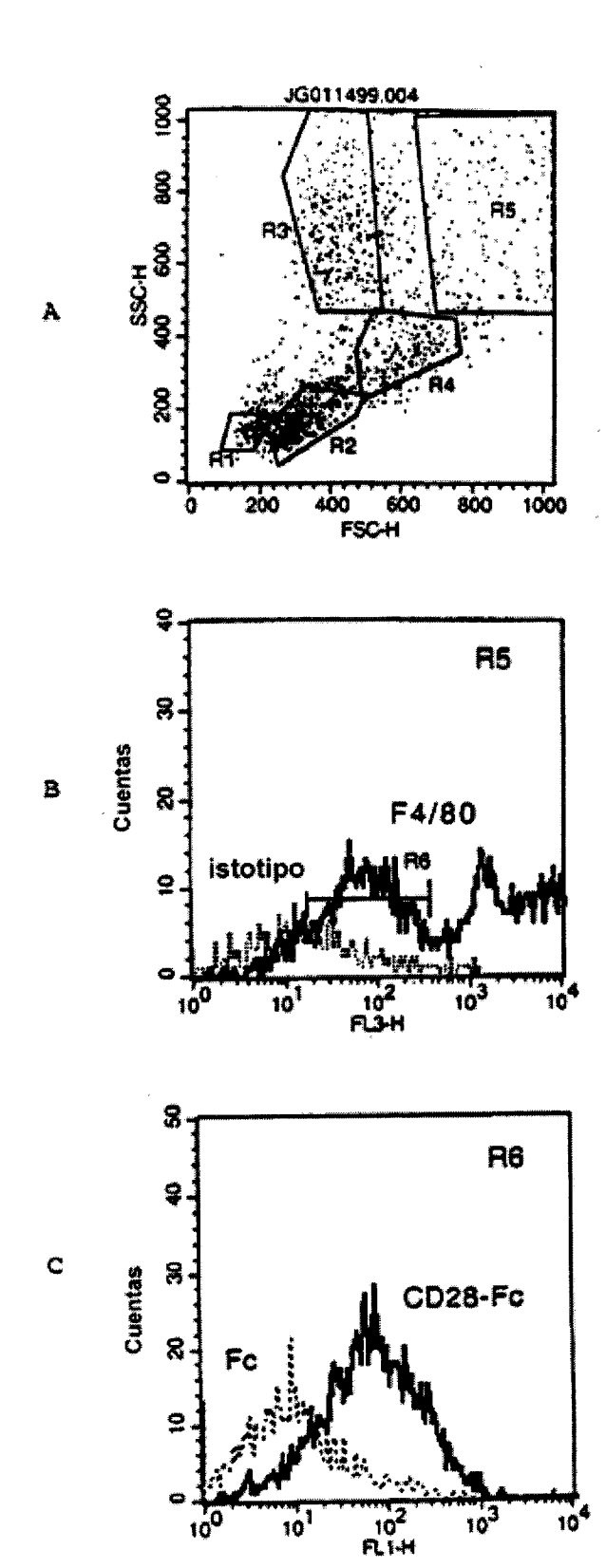
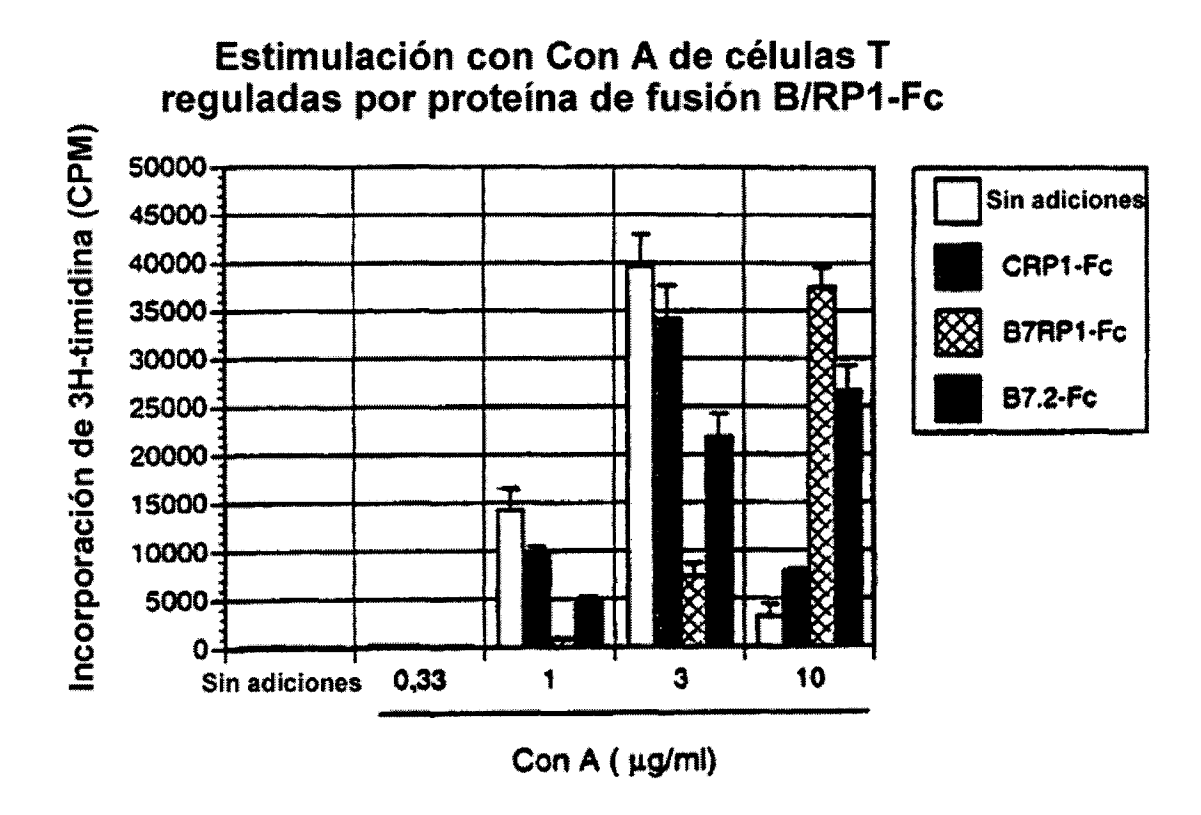


Figura 9





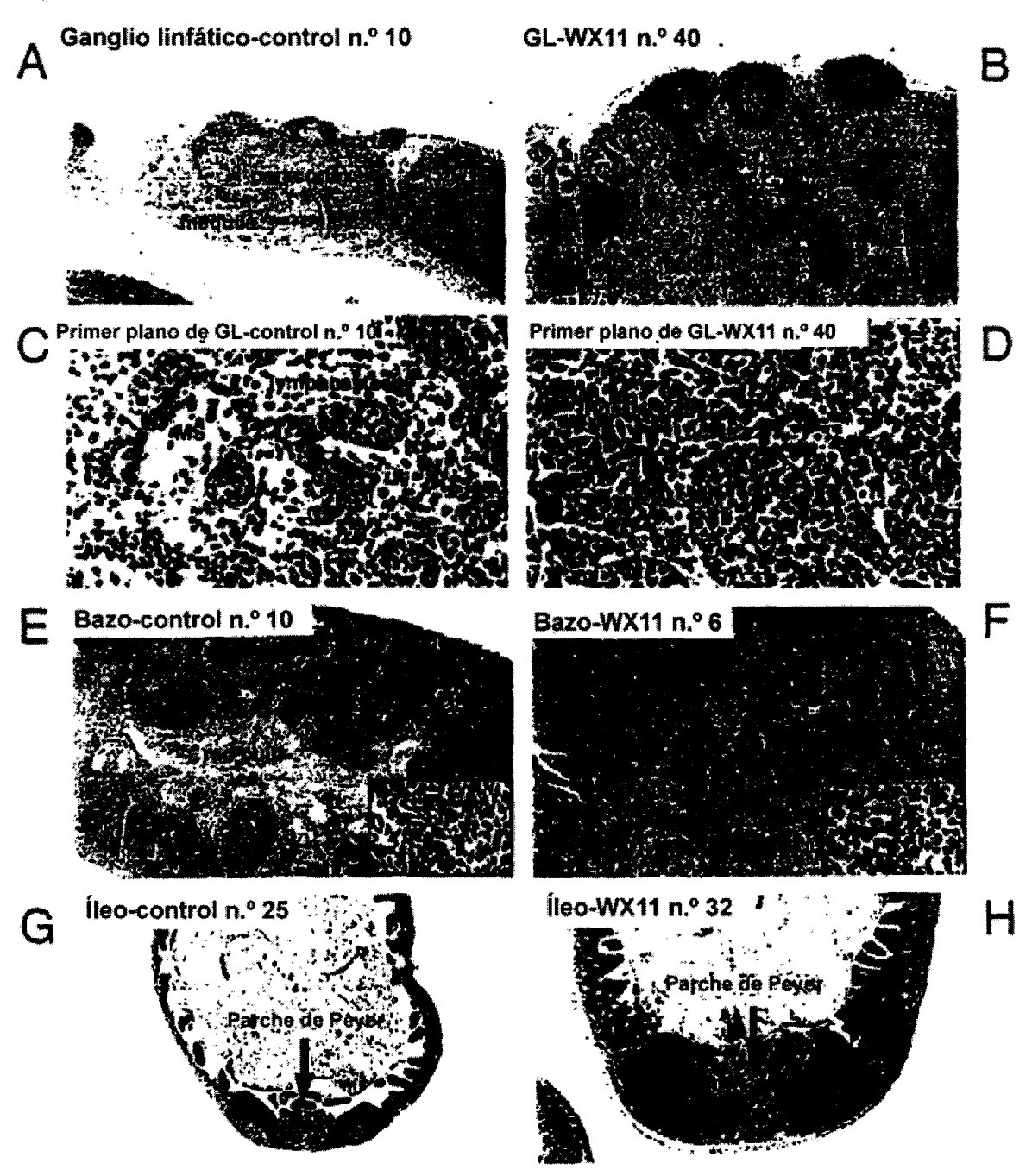


Figura 11

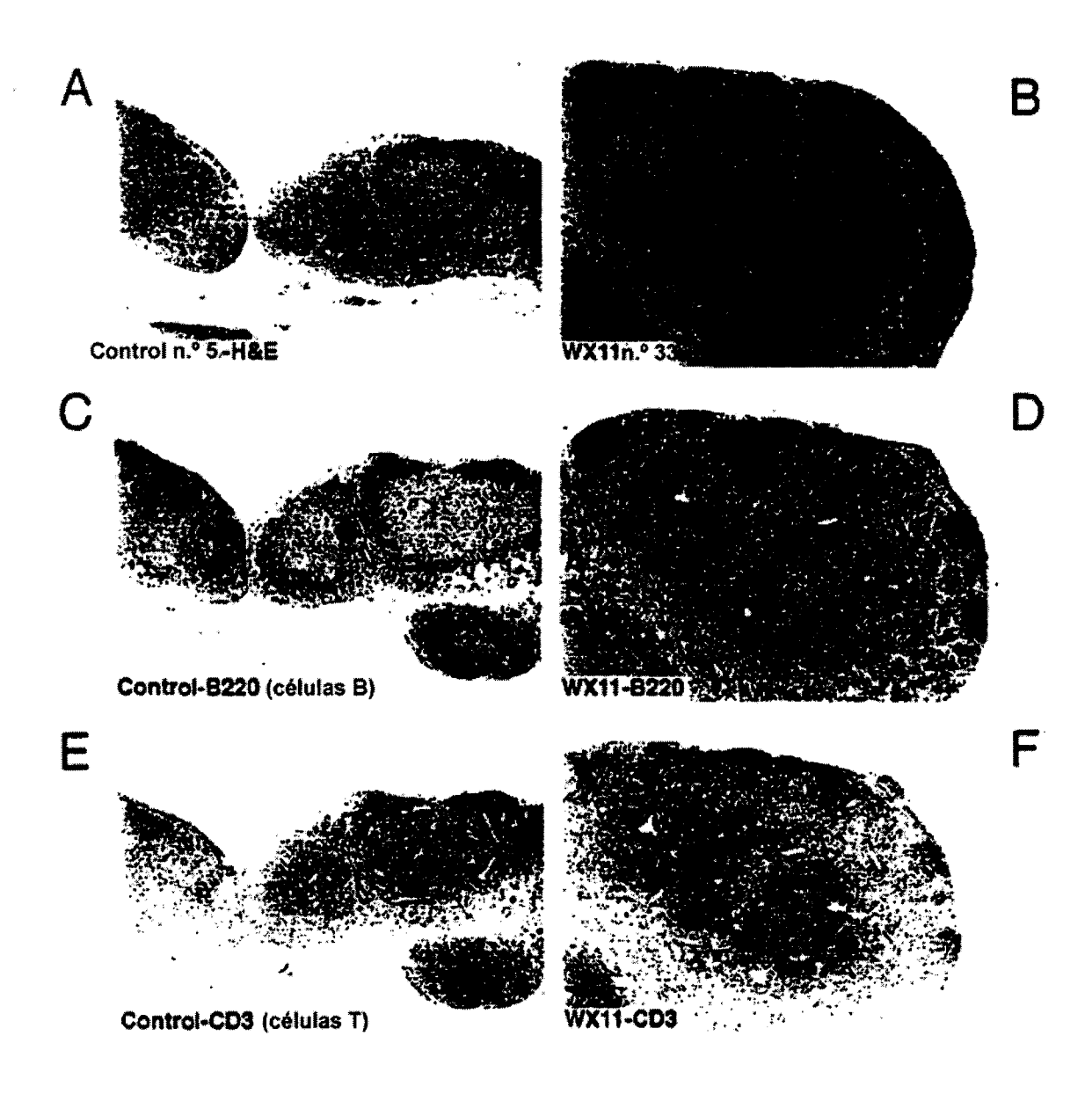


Figura 12A.

TCCC	CGGC	JAGCC	CAG'	PTAGI	AGCCC	JATC!	rccc	CGCC	CCG	LGGT1	rgery	CTC	CCG	CACGCG AGGTCTC CGAGGT	-138 -76 -14 -1
ATG M	CGG R	CTG L	GGC G	AGT S 5	CCT P	GGA G	CTG L	CTC L	TTC F 10	CTG L	CTC L	TTC F	AGC S	AGC S 15	45
CTT L	CGA R	GCT A			CAG	GAG E		GAA E	GTC V 25	AGA R		atg 'm	GTA V	GGC G 30	90
AGC S	GAC D	g t g V	GAG E	CTC L 35	AGC S	TGC C	GCT A	TGC C	CCT P 40	gaa E	GGA G	AGC S	CGT R	TTT F 45	135
GAT D	TTA L	AAT N	GAT D	GTT V 50	TAC Y	gta V	TAT Y	TGG W	CAA Q 55	ACC T	agt S	GAG E		AAA K 60	180
ACC T	GTG V	GTG V	ACC T	TAC Y 65	CAC H	ATC I	CCA P	CAG Q	AAC N 70	AGC S	TCC S	TTG L	gaa E	AAC N 75	225
GTG V	GAC D	AGC S	CGC R	TAC Y B0	CGG R	AAC N	CGA R	GCC A	CTG L 85	atg M	TCA S	CCG P	GCC A	GGC G 90	270
atg M	CTG L	CGG R	GGC G	GAC D 95	TTC F	TCC S	CTG L	CGC R	TTG L 100	TIC F	AAC N	GTC V	ACC T	CCC P 105	315
CAG Q	GAC D	GAG E	CAG Q	AAG K 110	TTT F	CAC H	TGC C	CTG L	GTG V 115	TTG L	AGC S	CAA Q	TCC S	CTG L 120	360
GGA G	TTC F	CAG Q	GAG E	GTT V 125	TIG L	AGC S	GTT V	GAG E	GTT V 130	ACA T	CTG L	CAT H	gtg V	GCA A 135	405
GCA A	AAC N	TTC F	AGC S	GTG V 140	b CCC	GTC V	GTC V	AGC S	GCC A 145	å CCC	CAC	AGC S	S CCC	TCC S 150	450
CAG Q	GAT D	GAG E	CTC L	ACC T 155	TTC F	ACG T	TGT C	ACA T	TCC S 160	ata I	AAC N	GGC G	TAC Y	CCC P 165	495
AGG R	P CCC	AAC N		TAC Y 170	W	ATC I	aat N	AAG K	ACG T 175	D	AAC N	AGC S	CTG L	CTG L 180	540
GAC D		GCT A	CTG L	CAG Q 185	aat N	GAC D	ACC T	GTC V	TTC F 190	TTG L	aac N	atg M	CGG R	GGC G 195	585
		GAC D	GTG V	GTC V 200	AGC S	gtg V	CTG L	AGG R	ATC I 205	A	CGG R	ACC T	CCC P	AGC S 210	630
GTG V	AAC N	ATT	GGC G	TGC C 215	TGC C	ATA I	GAG E	AAC N	GTG V 220	L	CTG	CAG Q	CAG Q	AAC N 225	675

CTG L	ACT T	GTC V	GGC G	AGC S 230	CAG Q	ACA T	GGA G	AAT N	GAC D 235	ATC I	GGA G	GAG E	AGA R	GAC D 240	720
aag K	ATC I	ACA T	GAG E	AAT N 245	CCA P	GTC V	AGT S	ACC T	GGC G 250	GAG E	AAA K	AAC N	GCG A	GCC A 255	765
ACG T	TGG W	AGC S	ATC I	CTG L 260	GCT A	GTC V	CTG L	TGC C	CTG L 265	CTT L	GTG V	GTC V	GTG V	GCG _A _270	810
GTG V	GCC A	ATA I	GGC G	TGG W 275	GTG V	TGC C	AGG R	GAC D	CGA R 280	TGC C	CTC L	CAA Q	CAC H	AGC S 285	855
TAT Y	GCA A	GGT G	GCC A	TGG W	GCT A	gtg V	AGT S	CCG P	GAG E	ACA T	GAG E	CTC L	ACT T	GGC G 300	900
CAC H	GTT V 302	TGA TERM	IINACI	ÓN											909
TGG	CAGC'	PTGA	CAT	GGAC'	rccci	AGAC'	rgca(3GGG/	AGCAG	CTTG	3GGC	AGCC	CCCAC	GCCAGG GAAGGAC CCTTTC	971 1033 1095

Figura 12B.						
ser humano ratón Consenso	MQLKCPCFVS	LGTRQPVWKK	LHVSSGFFSG	LGLFLLLLSS	LCAASAETEV	25 50 50
ser humano ratón Consenso	GAMVGSNVVL	SCACPEGSRF SCIDPHRRHF SCPF	NLSGLYVYWQ	IENPEVSVTY	YLPYKSPGIN	75 100 100
ser humano ratón Consenso	VDSSYKNRGH	MSPAGMLRGD LSLDSMKQGN .SMG.	FSLYLKNVTP	QDTQEFTCRV	FMNTATELVK	124 150 150
ser humano ratón Consenso	ILEEVVRLRV	AANFSVPVVS AANFSTPVIS AANFS.PV.S	TSDSSNPGQE	RTYTCMSKNG	YPEPNLYWIN	173 200 200
ser humano ratón Consenso	TTDNSLIDTA	LONDTVFLNM LONDTVYLNK LON.TV.LN.	LGLYDVISTL	RLPWTSRGDV	LCCVENVALH	223 250 250
ser humano ratón Consenso	QNITSISQAE	NDIGERDKIT SFTGNNTKNP GK	QETHNNELKV	LVPVLAVL	AAAAFVSFII	273 298 300
ser humano ratón Consenso	YRRTR-PH	HSYAGAWAVS RSYTGPKTVQ	LELTDHA			302 322

Figura 13A

GAC	CCAC	GCGT	CCGT	GAAC	ACTG	AACG	CGAG	GACT	GTTA	ACTG	TTTC	CCCG TGGC	AAAC			·56 -1
atg M	AAG K	TCA S	GGC G	CTC L 5	TGG W	TAT Y	TTC F	TTT F	CTC L 10	TTC F	TGC C	TTG L		ATT 	45	
aaa K	GTT V	TTA L	ACA T	GGA *G 20	gaa •e	ATC I	aat N	GGT G	TCT 5 25	GCC A	AAT N	TAT Y	GAG E	ATG M 30		90
TTT F	ATA I	TTT F	CAC H	AAC N 35	GGA G	GGT G	GTA V	CAA Q	ATT I 40	TTA L	TGC C	XAX K	TAT Y	CCT P 45		135
gac D	ATT I	GTC V	CAG Q	CAA Q 50	TTT F	AAA K	ATG M	CAG Q	TTG L 55	CTG L	XXX K	GGG G	GGG G	CAA Q 60		180
ATA I	CTC L	TGC C	GAT D	CTC L 65	ACT T	AAG K	ACA T	AAA K	GGA G 70	AGT S	GGA G	AAC N	ACA T	GTG V 75		225
TCC S	ATT I	AAG K	agt s	CTG L 80	k K	TTC F	TGC C	CAT H	TCT S 85	CAG Q	TTA L	TCC S	AAC N	AAC N 90		270
agt S	GTC V	TCT S	TTT F	ТТТ F 95	CTA L	TAC Y	AAC N	TTG L	GAC D 100	CAT H	TCT S	CAT H	GCC A	AAC N 105		315
TAT Y	TAC Y	TTC F	TGC C	AAC N 110	CTA L	TCA S		TTT F	GAT D 115	CCT P	CCT P	CCT P	TIT F	AAA K 120		360
GTA V	act T	CTT L	ACA T	GGA G 125	GGA G	TAT Y	TTG L	CAT H	ATT I 130	TAT Y	gaa e	TCA S	CYY O	CTT L 135		405
TGT C	TGC C	CAG Q	ctg L	AAG K 140			TTA L		ATA I 145	GGA G	TGT C	GCA A	<u>у</u> ССС	TTT E 150		450
	GTA Y	GTC V	TGC C	ATT I 155	TTG L	GGA G	TGC C	ATA I	CTT L 160	att I	TGT C	TGG W	CTT L	ACA T 165		495
AAA K	AAG X	AAG K	Y	TCA S 170	TCC S	AGT S	GTG V	CAC H	GAC D 175	CCT P	AAC N	ggt g	gaa e	TAC Y 180		540
		atg M	AGA R	GCA A 185	gtg V	AAC N	ACA T	GCC A		AAA K	TCT S	AGA R	CTC L	ACA T 195		585
	gtg V				INACI	ÓN										600
TATO	GAAC	TCT	GCAC	CCAC	GCAT	GAAG	CACC	TTGC	CCAC	TTT?	CCT	AACI	TGA			655

TCTTCTGCTGGTGTTTTGTTCAATCTGGAAGAATGACTGTATCAGTCAATGGGGA	765
TTTTAACAGACTGCCTTGGTACTGCCGAGTCCTCTCAAAACAACACCCTCTTGC	820
AACCAGCTTTGGAGAAAGCCCAGCTCCTGTGTGCTCACTGGGAGTGGAATCCCTG	875
TCTCCACATCTGCTCCTAGCAGTGCATCAGCCAGTAAAACAAAC	930
AAAATGTTTTAAAGATGCCAGGGGTACTGAATCTGCAAAGCAAATGAGCAGCCA	985
AGGACCAGCATCTGTCCGCATTTCACTATCATACTACCTCTTCTTTCT	1040
TGAGAATTCCTCTTTTAATCAGTCAAGGGAGATGCTTCAAAGCTGGAGCTATTTT	1095
ATTTCTGAGATGTTGATGTGAACTGTACATTAGTACATACTCAGTACTCTCCTTC	1150
AATTGCTGAACCCCAGTTGACCATTTTACCAAGACTTTAGATGCTTTCTTGTGCC	1205

Figura 13B		
hCRP1	MKSGLWYFFLFCLRIKVLTGEINGSANYEMFIFHNGGVQILCKYPDIVQQ	50
mCRP1		50
hCRP1	FKMQLLKGGQILCDLTKTKGSGNTVSIKSLKFCHSQLSNNSVSFFLYNLD	100
mCRP1	LKMRLFREREVLCELTKTKGSGNAVSIKNPMLCLYHLSNNSVSFFLNNPD	100
hCRP1	HSHANYYFCNLSIFDPPPFKV.TLTGGYLHIYESQLCCQLKFWLPIGCAA	149
mCRP1	SSQGSYYFCSLSIFDPPPFQERNLSGGYLHIYESQLCCQLKLWLPVGCAA	150
hCRP1	FVVVCILGCILICWLTKKKYSSSVHDPNGEYMFMRAVNTAKKSRLTDVTL	199
mCRP1	fvvvllfgciliiwfskkkygssvhdpnseymfmaavntnkksrlagvts	200

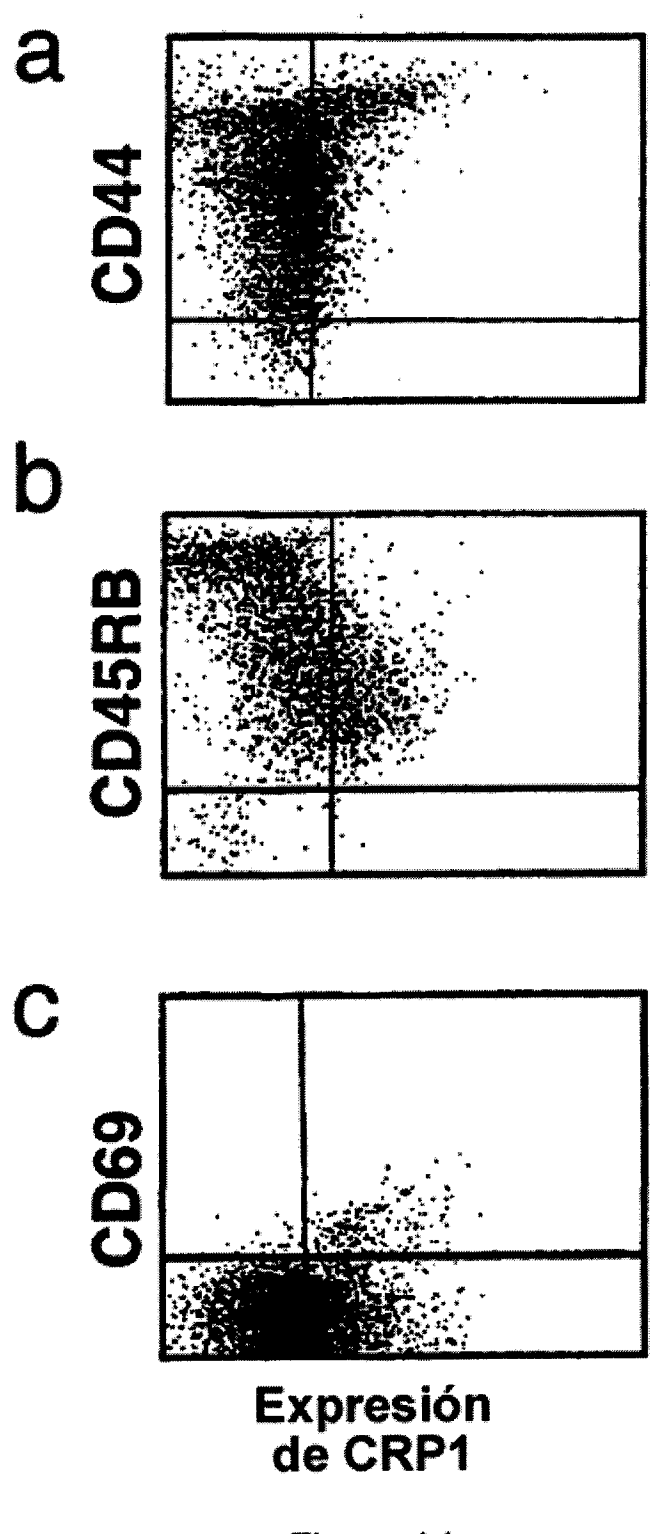


Figura 14

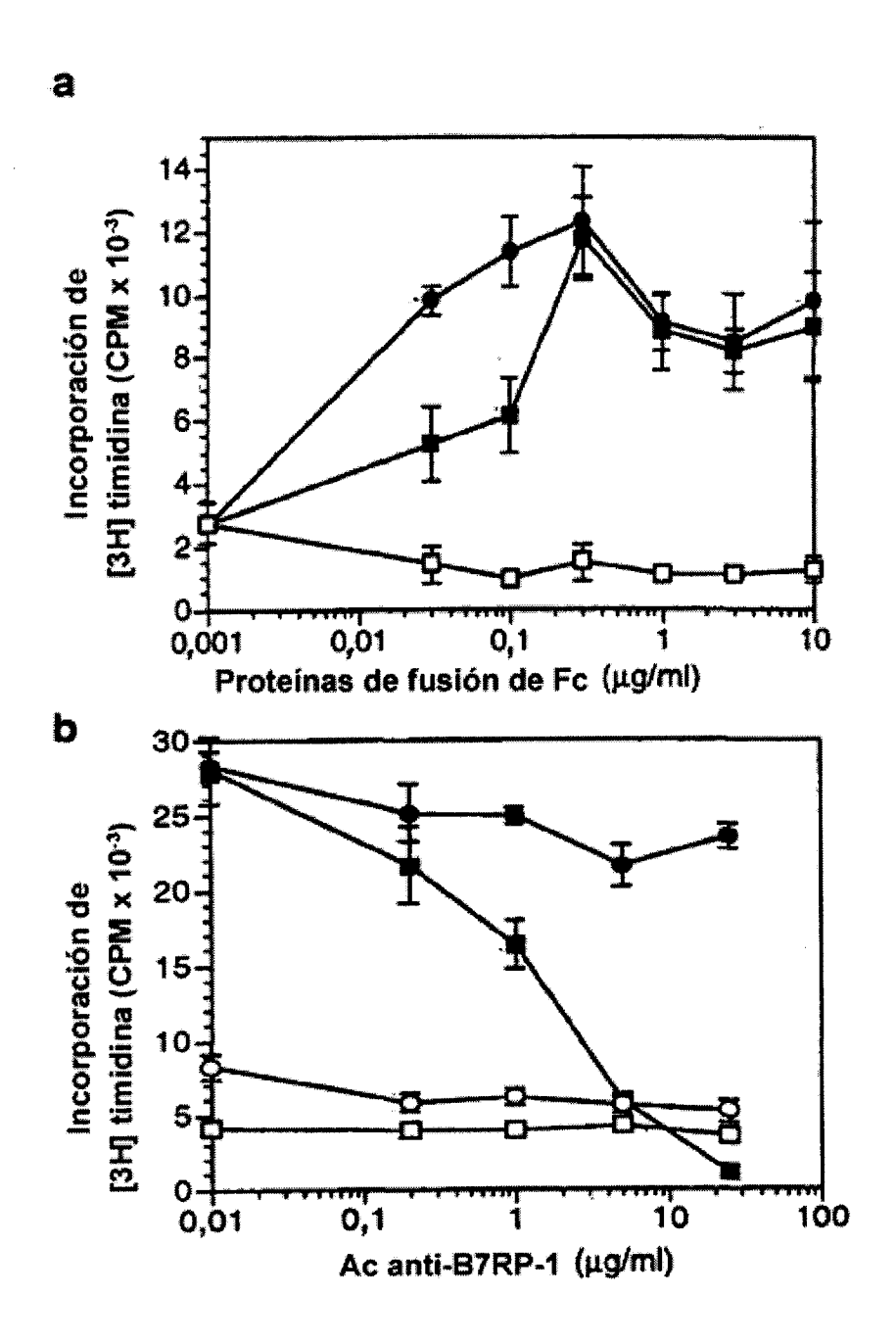
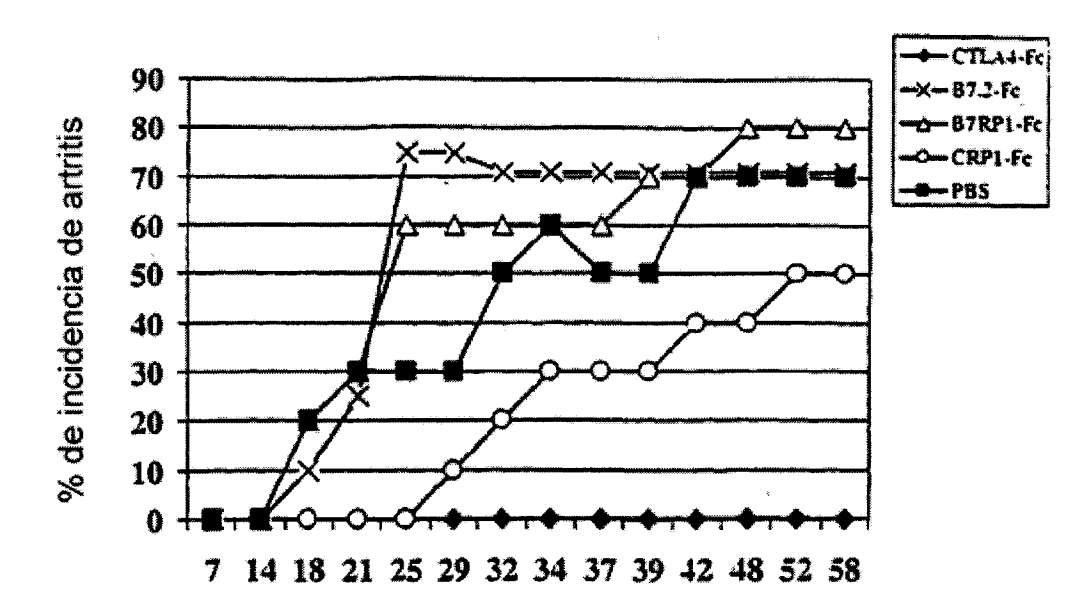


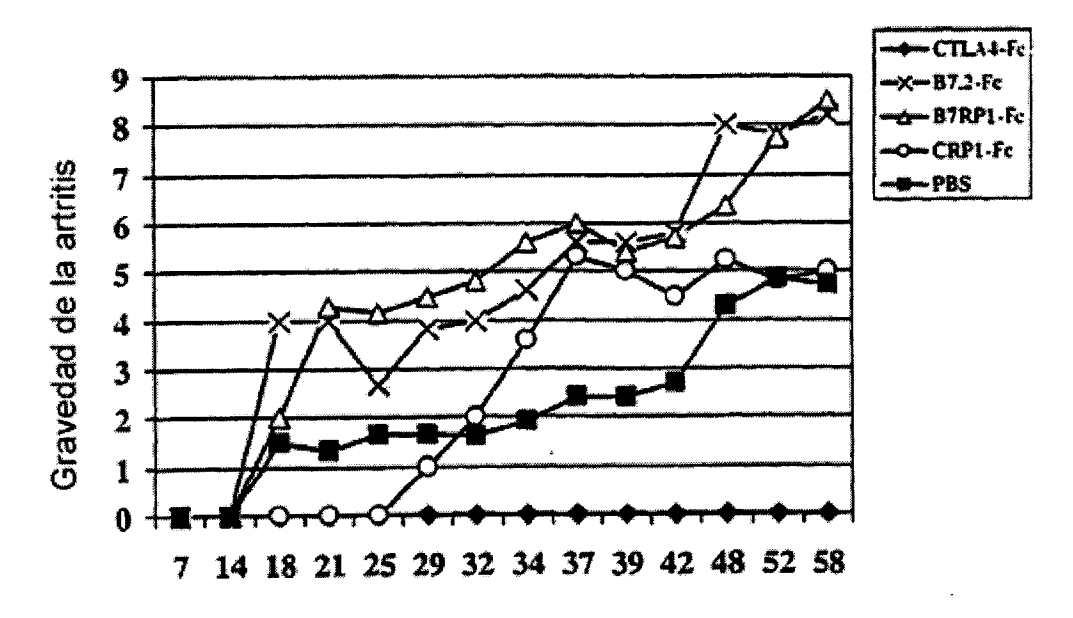
Figura 15

A.



Días tras la inmunización

В.



Días tras la inmunización

Figura 16

Figura 20

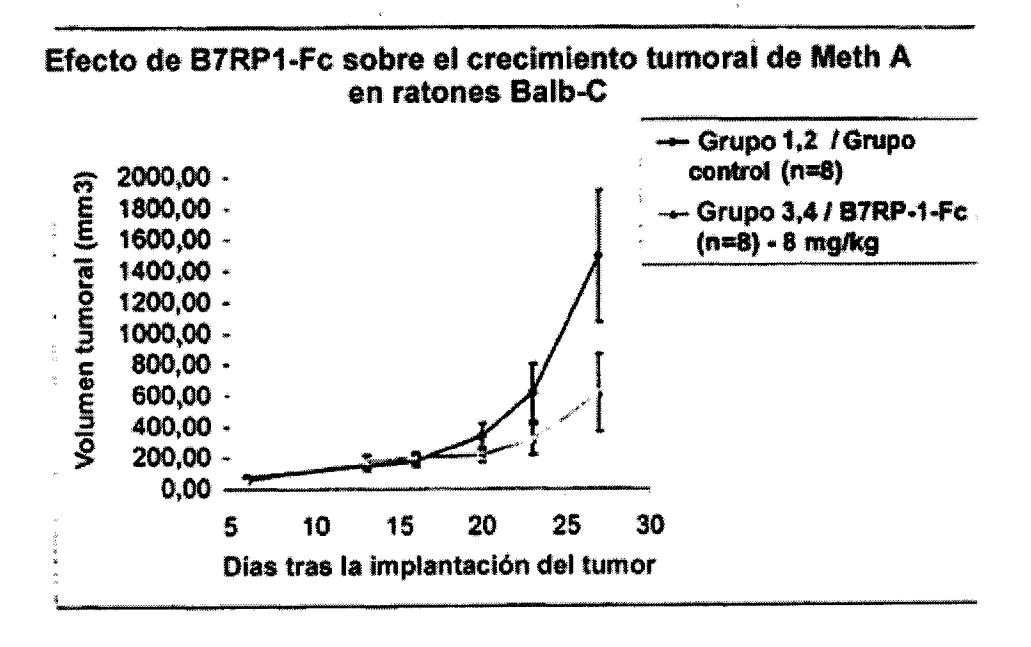
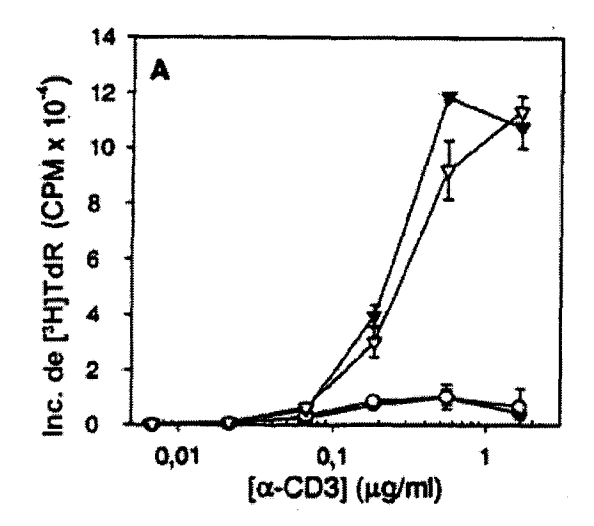


Figura 21A/B.



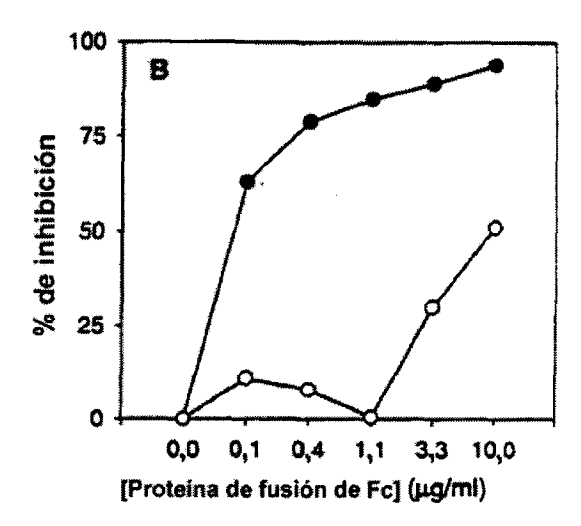


Figura 21C.

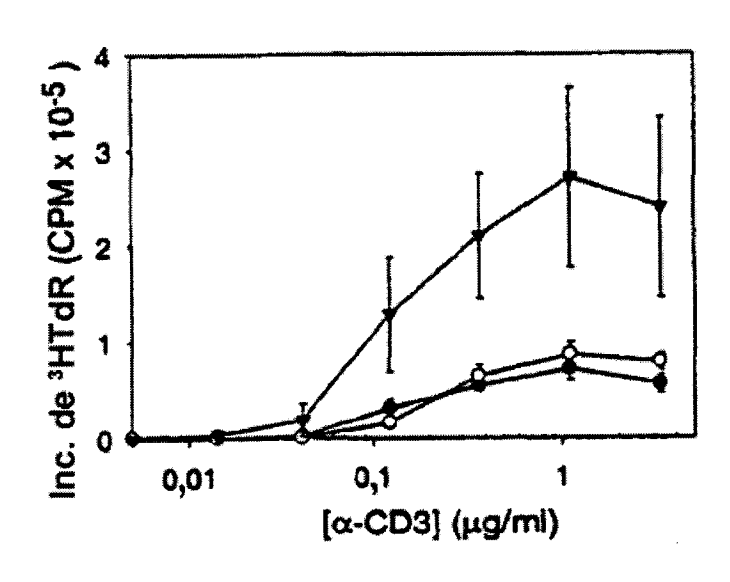
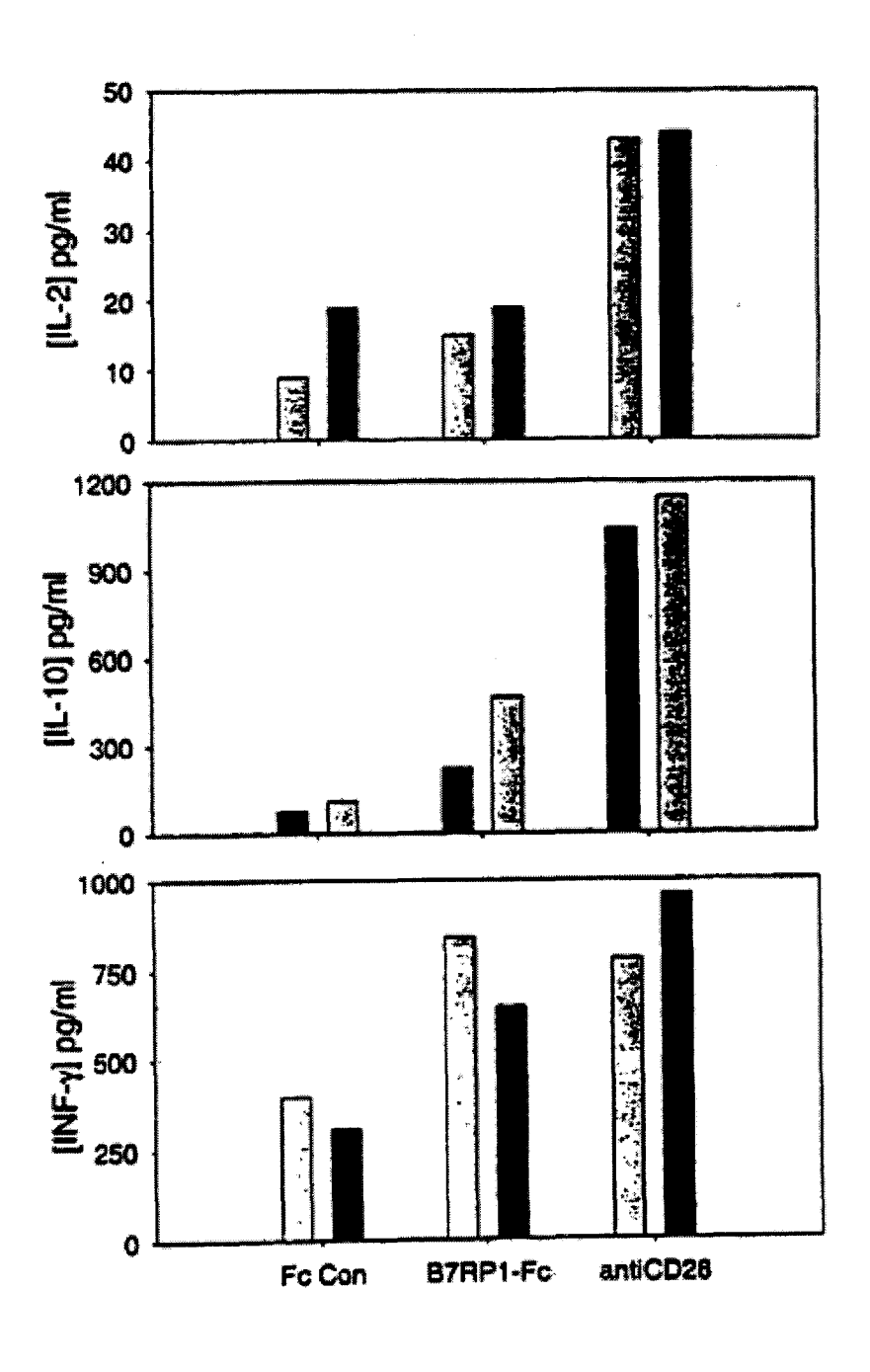


Figura 21D



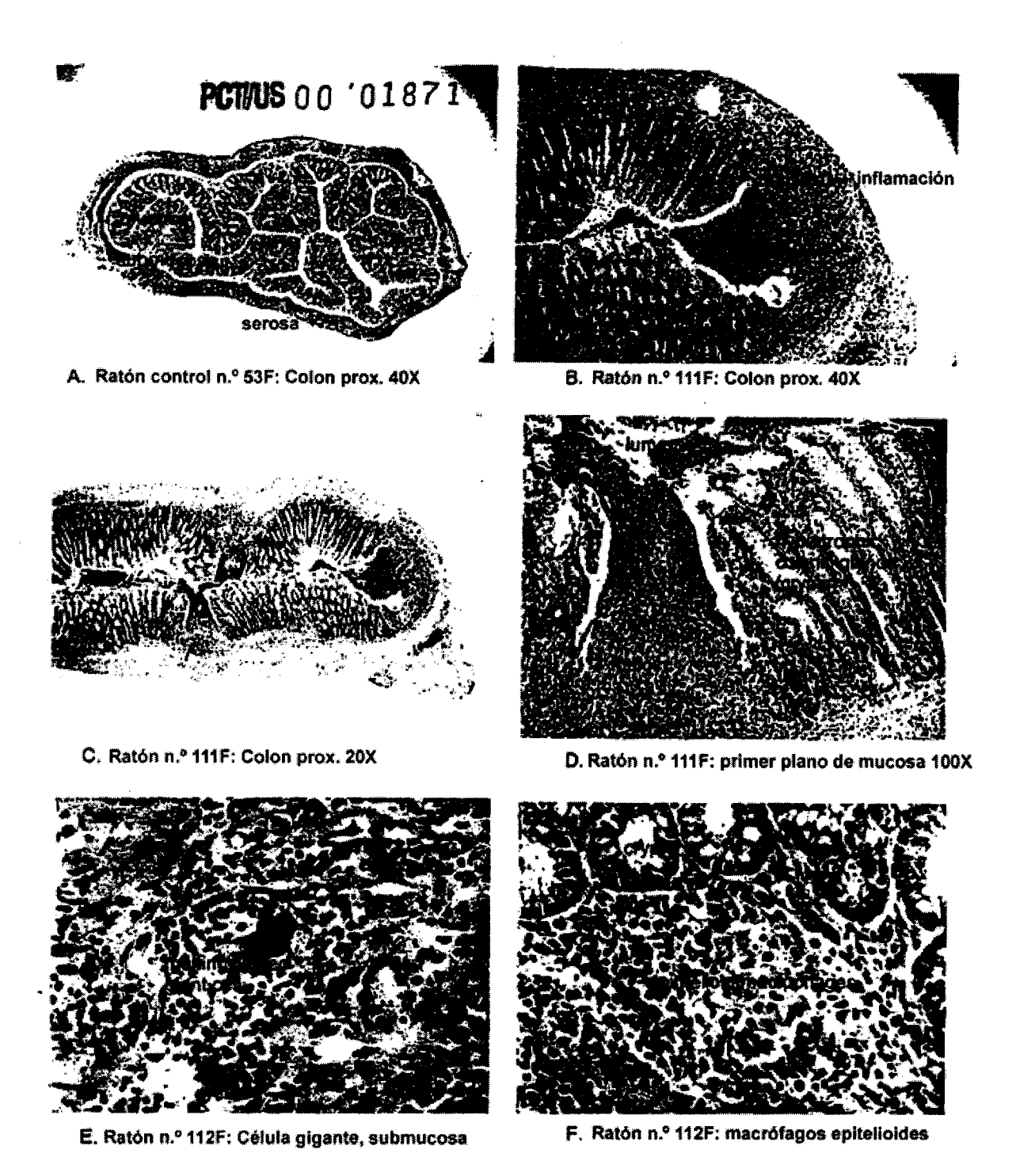


Figura 17

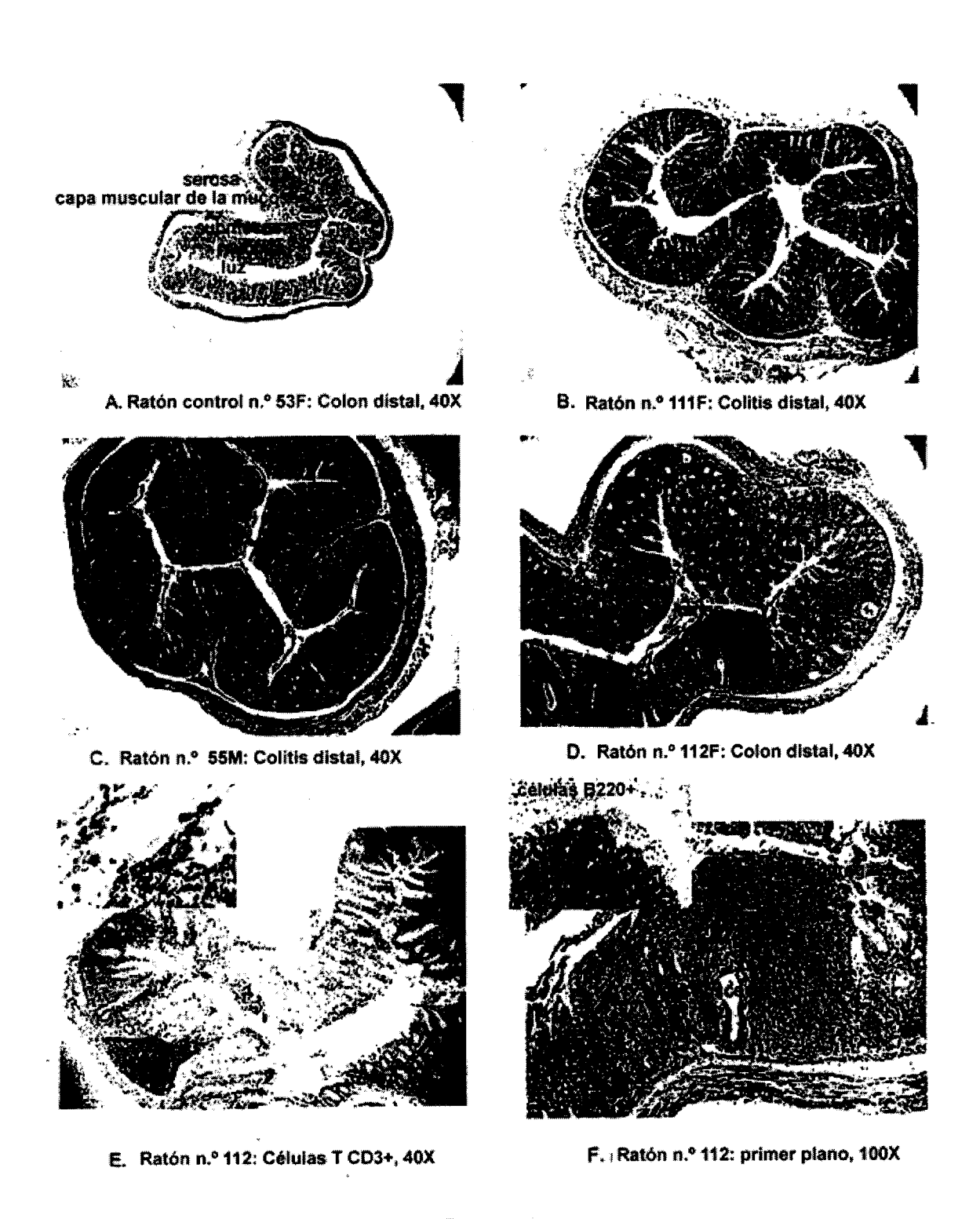


Figura 18

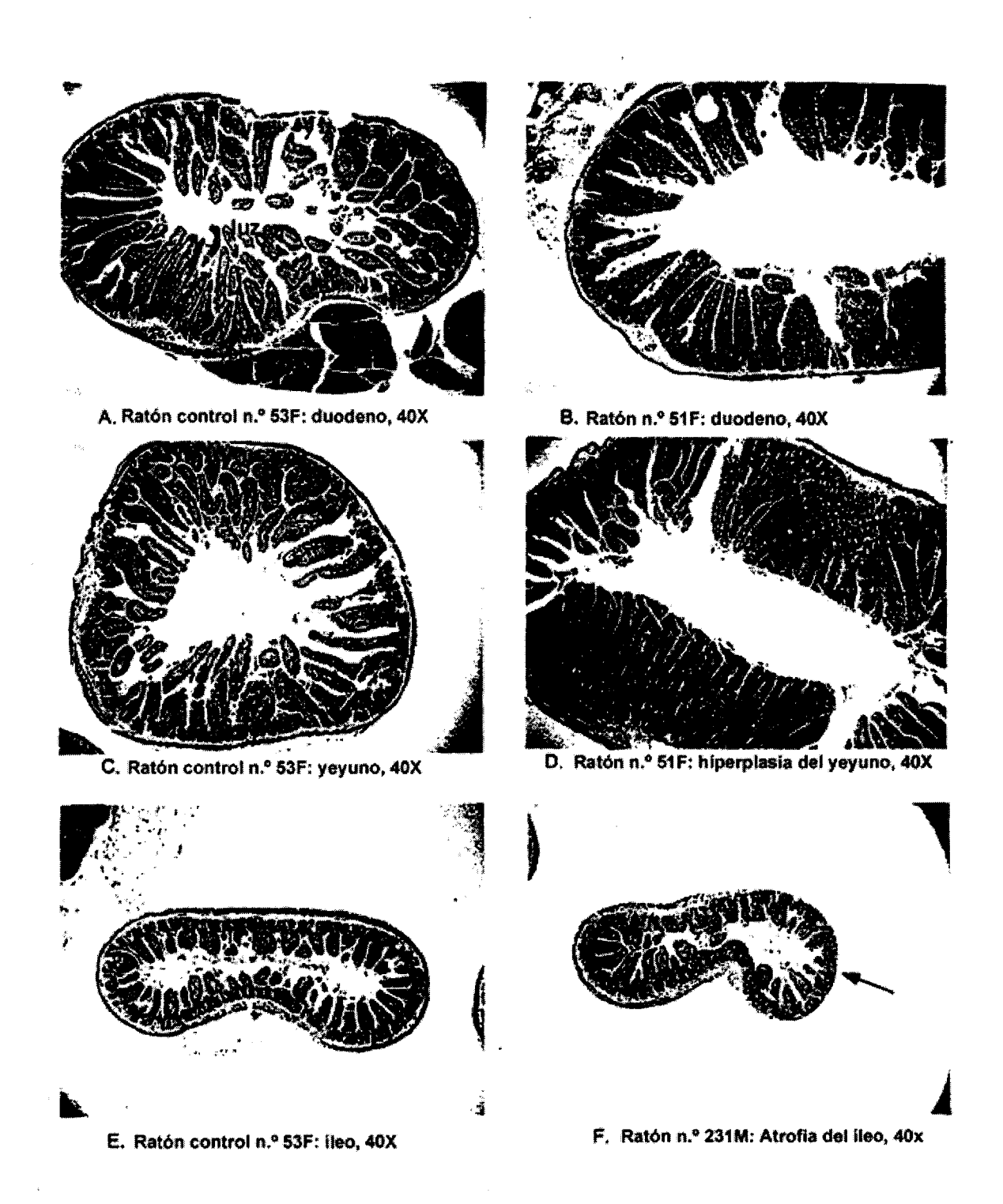


Figura 19